

UNIVERSIDADE FEDERAL DO PARÁ INSTITUTO DE CIÊNCIAS DA SAÚDE PROGRAMA DE PÓS-GRADUAÇÃO EM CIÊNCIAS FARMACÊUTICAS

PAULO VINICIUS LIMA SANTOS

VARIAÇÃO SAZONAL DA COMPOSIÇÃO QUÍMICA DO ÓLEO ESSENCIAL DE Aloysia oblanceolata Moldenke E SUAS ATIVIDADES ANTINOCICEPTIVA E ANTI-INFLAMATÓRIA

PAULO VINICIUS LIMA SANTOS

VARIAÇÃO SAZONAL DA COMPOSIÇÃO QUÍMICA DO ÓLEO ESSENCIAL DE Aloysia oblanceolata Moldenke E SUAS ATIVIDADES ANTINOCICEPTIVA E ANTI-INFLAMATÓRIA

Documento de Defesa apresentado ao Programa de Pós-Graduação em Ciências Farmacêuticas da Universidade Federal do Pará como requisito final para obtenção do título de Mestre.

Orientador: Prof. Dr. Pablo Luis Baia Figueiredo.

Dados Internacionais de Catalogação na Publicação (CIP) de acordo com ISBD Sistema de Bibliotecas da Universidade Federal do Pará Gerada automaticamente pelo módulo Ficat, mediante os dados fornecidos pelo(a) autor(a)

S237v Santos, Paulo Vinicius Lima.

Variação sazonal da composição química do óleo essencial de Aloysia oblanceolata Moldenke e suas atividades antinociceptiva e anti-inflamatória / Paulo Vinicius Lima Santos, . — 2025. 70 f.: il. color.

Orientador(a): Prof. Dr. Pablo Luis Baia Figueiredo Dissertação (Mestrado) - Universidade Federal do Pará, Instituto de Ciências da Saúde, Programa de Pós-Graduação em Ciências Farmacêuticas, Belém, 2025.

1. Verbenaceae. 2. Potencial farmacológico. 3. Monoterpenos e Sesquiterpenos. I. Título.

CDD 615.1900724

PAULO VINICIUS LIMA SANTOS

VARIAÇÃO SAZONAL DA COMPOSIÇÃO QUÍMICA DO ÓLEO ESSENCIAL DE Aloysia oblanceolata Moldenke E SUAS ATIVIDADES ANTINOCICEPTIVA E ANTI-INFLAMATÓRIA

Documento de Defesa apresentado ao Programa de Pós-Graduação em Ciências Farmacêuticas da Universidade Federal do Pará como requisito final para obtenção do título de Mestre.

Orientador: Prof. Dr. Pablo Luis Baia Figueiredo.

BANCA EXAMINADORA

Prof. Dr. Pablo Luis Baia Figueiredo
Programa de Pós-Graduação em Ciências Farmacêuticas – UFPA - Orientador
Profa. Dra. Joyce Kelly do Rosário da Silva
Programa de Pós-Graduação em Farmacologia e Bioquímica - UFPA - Membro extern
Prof. Dr. Bruno Gonçalves Pinheiro

Programa de Pós-Graduação em Ciências Farmacêuticas - UFPA-Membro externo

AGRADECIMENTOS

À Deus, por todas as realizações pessoais e profissionais que vem proporcionado em minha vida e por guiar meus caminhos através do seu amor e bondade. À Comunidade Católica Shalom a Fraternidade São João Paulo II, pelos direcionamentos espirituais através do acompanhamento pessoal e por ter dado a experiência com o amor de Deus e me dado um grupo de oração (São Pedro) que hoje chamo de família pois me acolheu, me ensinou que viver o tempo e o sonho de Deus em nossas vidas vale muito.

À Universidade Federal do Pará e a Universidade do Estado do Pará pela estrutura física. Ao Museu Paraense Emílio Goeldi, ao Herbário Dra. Marlene Freitas da Silva e a Embrapa Amazônia Oriental pela identificação botânica. À Universidade Federal do Oeste do Pará pelo suporte nas análises químicas.

Ao Conselho Nacional de Desenvolvimento Científico e Tecnológico (CNPq) por financiar esta pesquisa através do Pró-Amazônia. À CAPES, à FAPESPA e à UFPA pelo apoio por meio do Programa de Parcerias Estratégicas nos Estados III (PDPG), tanto pelo financiamento deste trabalho quanto pelo suporte concedido ao longo do período de realização do mestrado.

Aos meus pais, Paulo Ivan da Costa Santos e Claene do Socorro Carvalho Lima, por sempre acreditarem nos meus sonhos e objetivos, pelo incentivo, apoio e forças dadas a todo momento. Ao meu irmão Paulo Gabriel Lima Santos e minha namorada e Deriane Pereira da Silva, pelo apoio e por sempre está comigo em todos os momentos da minha vida. Aos demais familiares e amigos que servem de suporte para mim.

Ao meu orientador Dr. Pablo Figueiredo por ter me aceitado como seu aluno, pelos seus ensinamentos, desde o período da graduação, foram e são pilares para minha formação acadêmica e profissional e por toda motivação para o desenvolvimento deste trabalho.

Ao Laboratório de Química dos Produtos Naturais e aos meus colegas de laboratório, por sua colaboração no desenvolvimento do trabalho e companhia na rotina diária de laboratório em especial a Lucas Botelho, Nancy Norat, Jamile Costa e Gabrielly Baia que foram grandes amigos e parceiros de laboratório que de suas maneiras me ajudaram no desenvolvimento desde trabalho e aguentaram minhas crises de ansiedade no momento mais difícil da minha vida.

Ao Laboratório de Morfologia pela colaboração no desenvolvimento do trabalho e por grandes amigos que ganhei que foram comigo até o final desde trabalho em especial ao Prof. Pedro Iuri, ao Edgar Chaves, a Verônica Reis, além de colegas de laboratório foram grandes amigos que ganhei no mestrado.

Ao Laboratório de Farmacologia da Inflamação e do Comportamento, pela ajuda no desenvolvimento do projeto de inflamação em especial ao Prof. Dr. Éneas Fontes, a Prof^a. Dra. Cristiane Maia pelos ensinamentos repassados, e pelas amizades adquiridas que foram importantes para o desenvolvimento desde trabalho a Natália Harumi Kobayashi, a Larrisa Reis, Maria Carolina Raiol, e Eloise Cardoso.

Enfim, agradeço a todos que participaram da minha caminhada e tornaram possível minha formação e realização de um sonho, que em vários momentos difíceis sempre tive suporte de amigos para não deixarem que eu desistisse. Muito obrigado esse sonho não foi sonhado sozinho!

Shalom!





LISTA DE ILUSTRAÇÕES

Figura 1. Esquema experimental para avaliação dos efeitos do óleo essencial de <i>Aloysia oblanceolata</i> (OEAo) em camundongos
Figura 2. Esquema do protocolo experimental utilizado para avaliar a atividade anti- inflamatória do óleo essencial de <i>Aloysia oblanceolata</i> (OEAo) no modelo de peritonite
induzida por carragenina
Figura 3. Relação entre parâmetros climáticos e produção de óleo de <i>Aloysia oblanceolata</i> durante o estudo sazonal
Figura 4. Variação do rendimento (%) do óleo essencial de <i>Aloysia oblanceolata</i> Moldenke entre os períodos seco e chuvoso
Figura 5. Correlação entre rendimento, principais componentes e classes de compostos do óleo de <i>Aloysia oblanceolata</i> e fatores climáticos
Figura 6. Estruturas químicas e variação sazonal dos principais constituintes do óleo essencial de <i>Aloysia oblanceolata</i> Moldenke
Figura 7. Análise hierárquica de cluster dos principais constituintes do óleo essencial de <i>Aloysia</i> oblanceolata
Figura 8. Análise hierárquica de cluster dos principais constituintes do óleo essencial de <i>Aloysia</i> oblanceolata
Figura 9. Análise dos desvios-padrão dos três grupos de <i>Aloysia oblanceolata</i> no estudo sazonal. Média ± desvio-padrão
Figura 10. Mapa de calor de agrupamento com os constituintes dos óleos essenciais de amostras de <i>Aloysia oblanceolata</i>
Figura 11. Efeitos do tratamento com o óleo essencial de <i>Aloysia oblonceolata</i> sobre o estresse oxidativo
Figura 12. Efeitos antinociceptivos de OEAo no teste de contorções abdominais induzidas por
ácido acético

Figura 13. Efeitos antinociceptivos de OEAo no teste de imersão de cauda4	3
Figura 14. Efeito analgésico central e periférico do OEAo no teste da formalina en camundongos	
Figura 15. Efeito do OEAo na atividade locomotora de camundongos na distância tota percorrida	
Figura 16. Avaliação dos mecanismos de ação envolvidas no efeito antinociceptivo do óle essencial de <i>Aloysia obloceolata</i>	
Figura 17. Efeito do OEAo no teste de peritonite induzida por carragenina5	9
Figura 18. Efeitos do tratamento com o óleo essencial de <i>Aloysia oblonceolata</i> sobre concentração de nitrito no líquido peritoneal de ratos	

LISTA DE TABELAS

Tabela 1. Registro de espécime incorporada no herbário
Tabela 2. Rendimentos e composição química dos óleos essenciais das folhas de Aloysia
oblanceolata relativos ao estudo sazonal
Tabela 3. Peso relativo dos principais órgãos de camundongos tratados com óleo e controle grupo
Tabela 4. Parâmetros bioquímicos de camundongos tratados com óleo de <i>Aloysia oblanceolata</i>
e grupo controle39

LISTA DE ABREVIATURA E SIGLAS

ALT Alanina aminotransferase

AST Aspartato transaminase

ALP Fosfatase alcalina

GC-FID Cromatografia gasosa-detector de ionização em chamas do inglês (Gas chromatography-flame ionization detector)

GC-MS Cromatografia gasosa-espectrometria de massas do inglês (Gas chromatography-mass spectrometry)

EIMS Espectrometria de massa de ionização eletrônica do ingês (Electron ionization mass spectrometry)

HCA Análise Hierárquica de Agrupamento

HM Hidrocarbonetos monoterpênicos

HS Hidrocarbonetos sesquiterpênicos

IEC Instituto Evandro Chagas

IR_(C) Índice de retenção calculado

 $IR_{(L)}$ Índice de retenção da literatura

INMET Instituto Nacional de Meteorologia

MO Monoterpenos oxigenados

OEAo Óleo essencial de *Aloysia oblanceolata*

OEs Óleos essenciais

PCA Análise dos Componentes principais

RPM Rotação por minuto

Sisgen Sistema Nacional de Gestão do Patrimônio Genético e do Conhecimento

Tradicional Associado

SO Sesquiterpenos oxigenados

SAIDs Anti-inflamatórios esteroides

TGO Transaminase Oxalacética

TGP Transaminase Pirúvica

SUMÁRIO

1	OBJETIVOS	15
1.1	GERAL	15
1.2	ESPECÍFICOS	15
RES	SUMO	16
ABS	STRACT	17
2 IN	NTRODUÇÃO	18
3 M	MATERIAL E METODOS	20
3.1.	Material Vegetal e Dados Climáticos	20
3.2.	Extração de óleo essencial	20
3.3.	Análise da composição do óleo essencial	21
3.4.	Declaração ética e Doses do óleo essencial	22
3.5.	Toxicidade oral aguda	22
3.6.	Marcadores de estresse oxidativo	23
3.6.	1. Preparação das amostras	23
3.6.2	2. Mensuração da peroxidação lipídica	23
3.6.	3. Indicador da Formação de Oxido Nítrico (NO)	24
3.6.	4. Análise enzimática - Catalase (CAT)	24
3.7.	Análise da atividade atinociceptiva	25
3.7.	1. Efeito analgésico periférico no teste de contorção abdominal	25
3.7.2	2. Teste de imersão da cauda	25
3.7	3. Teste de formalina	25
4.1.	Efeito da sazonalidade na produção de óleo	28
4.2.	Efeito sazonal na composição do óleo de Aloysia oblanceolata	30
4.3.	Analise multivariada do óleo essencial de Aloysia oblanceolata	34
4.4.	Efeitos da toxicidade oral aguda	38
Tab	pela 4. Parâmetros bioquímicos de camundongos tratados com óleo de Aloysia obla	nceolata
e gr	upo controle	39
4.5.	Efeitos analgésico periférico do OEAo no teste de contorções abdominais induz	zidas por
ácid	do acético	41
5	CONCLUSÃO	52
6	REFRENCIAS	53
Λ NΠ	EVOS I	66

ANEXOS II	67
ANEXOS III	68
ANEXOS IV	69

1 OBJETIVOS

1.1 GERAL

Avaliar a influência dos fatores climáticos sobre o rendimento e a composição química do óleo essencial de *Aloysia oblanceolata Moldenke*, e avaliar as propriedades antinociceptivas e anti-inflamatórias.

1.2 ESPECÍFICOS

- Determinar o rendimento do óleo essencial de *Aloysia oblanceolata* em diferentes períodos seco e chuvoso, correlacionando com variáveis climáticas (temperatura, precipitação, umidade relativa do ar).
- Avaliar a atividade antinociceptiva e anti-inflamatória do óleo essencial em modelos experimentais *in* vivo.
- Avaliar o efeito do estresse oxidativo sobre o óleo essencial.

VARIAÇÃO SAZONAL DA COMPOSIÇÃO QUÍMICA DO ÓLEO ESSENCIAL DE Aloysia oblanceolata Moldenke E SUAS ATIVIDADES ANTINOCICEPTIVA E ANTI-INFLAMATÓRIA

RESUMO

Aloysia oblanceolata Moldenke (Verbenaceae) é uma planta nativa da América do Sul, utilizada na medicina tradicional por suas propriedades antibacterianas, fungicidas, larvicidas e anti-inflamatórias. Este estudo avaliou a variação sazonal da composição química do óleo essencial (OE) extraído das folhas de A. oblanceolata na região amazônica, bem como suas atividades antinociceptiva e anti-inflamatória. As coletas foram realizadas mensalmente, entre novembro de 2022 e outubro de 2023, no município de Garrafão do Norte (PA). Os óleos foram extraídos por hidrodestilação e analisados por cromatografia gasosa acoplada à espectrometria de massas (GC-MS). Foram identificados 38 constituintes, com predominância de transpinocanfona, β-pineno, E-cariofileno e trans-acetato de pinocarveila. Observou-se influência direta de fatores climáticos sobre o rendimento (média de 4,35%) e sobre a composição química do óleo, especialmente nas classes de monoterpenos e sesquiterpenos. A análise multivariada revelou a formação de três grupos distintos: o grupo I, com 52,65% de similaridade; o grupo II, com 36,82%; e o grupo III, com 34,68%. O teste de toxicidade oral aguda demonstrou que o OE possui baixa toxicidade, sem alterações comportamentais ou bioquímicas relevantes em camundongos. A atividade antinociceptiva foi confirmada nos testes de contorções abdominais e de formalina. No teste de formalina, o óleo não apresentou efeito significativo na primeira fase (neurogênica), mas demonstrou eficácia na segunda fase (inflamatória), nas doses de 50 e 100 mg/kg. A ação anti-inflamatória foi evidenciada no modelo de peritonite induzida por carragenina, com redução significativa na migração de neutrófilos. Os resultados indicam que o óleo essencial de A. oblanceolata possui perfil químico com uma fácil padronização, é seguro e apresenta potencial farmacológico promissor, especialmente como agente anti-inflamatório e antinociceptivo. Além disso, a espécie demonstra viabilidade para padronização em escala industrial, destacando-se como alternativa sustentável para o desenvolvimento de fitoterápicos e valorização da biodiversidade amazônica.

Palavras-chave: Verbenaceae; Potencial farmacológico; Monoterpenos e Sesquiterpenos.

ABSTRACT

Aloysia oblanceolata Moldenke (Verbenaceae) is a plant native to South America, traditionally used for its antibacterial, fungicidal, larvicidal, and anti-inflammatory properties. This study evaluated the seasonal variation in the chemical composition of the essential oil (EO) extracted from A. oblanceolata leaves in the Amazon region, as well as its antinociceptive and antiinflammatory activities. Leaves were collected monthly between November 2022 and October 2023 in the municipality of Garrafão do Norte (PA, Brazil). The oils were extracted by hydrodistillation and analyzed by gas chromatography coupled with mass spectrometry (GC-MS). A total of 38 constituents were identified, with predominance of trans-pinocamphone, βpinene, E-caryophyllene, and trans-pinocarvyl acetate. Climatic factors directly influenced the yield (average of 4.35%) and chemical composition of the oil, especially in the monoterpene and sesquiterpene classes. Multivariate analysis revealed the formation of three distinct groups: Group I with 52.65% similarity, Group II with 36.82%, and Group III with 34.68%. The acute oral toxicity test showed that the EO is of low toxicity, with no relevant behavioral or biochemical changes in mice. The antinociceptive activity was confirmed in the abdominal writing and formalin tests. In the formalin test, the EO showed no significant effect in the first (neurogenic) phase but was effective in the second (inflammatory) phase at doses of 50 and 100 mg/kg. The anti-inflammatory activity was demonstrated in the carrageenan-induced peritonitis model, with a significant reduction in neutrophil migration. The results indicate that A. oblanceolata essential oil has a chemically modulable profile, is safe, and exhibits promising pharmacological potential, especially as an anti-inflammatory and antinociceptive agent. Furthermore, the species demonstrates feasibility for industrial-scale standardization, standing out as a sustainable alternative for the development of herbal medicines and the valorization of Amazonian biodiversity.

Keywords: Verbenaceae; Pharmacological potential; Monoterpenes and Sesquiterpenes.

2 INTRODUÇÃO

Verbenaceae J.St.-Hil. é constituída por espécies arbóreas, arbustivas e herbáceas, abrangendo aproximadamente 35 gêneros e cerca de 1.200 espécies, com ampla distribuição na América do Sul. Essas plantas são predominantemente floríferas e são encontradas principalmente em regiões tropicais em todo o mundo (PÉREZ ZAMORA; TORRES; NUÑEZ, 2018; RAHMATULLAH et al., 2011). Determinadas espécies pertencentes a essa família são usadas na medicina tradicional devido à presença de compostos bioativos e suas propriedades medicinais, incluindo ação antioxidante e anti-inflamatória (MOHAMMADHOSSEINI; FREZZA; VENDITTI, 2022).

Espécies de plantas aromáticas são utilizadas na medicina tradicional devido à presença de compostos bioativos e às suas propriedades medicinais (MOHAMMADHOSSEINI; FREZZA; VENDITTI, 2022; ZENI et al., 2011). O *gênero Aloysia* (Verbenaceae) é encontrado no Brasil. Este gênero é originário da América do Sul, especialmente da Argentina, Bolívia, Brasil e Chile. Essas regiões são conhecidas por abrigar a maior diversidade de espécies de Aloysia, com 28 espécies e 6 variedades, das quais 12 são encontradas no Brasil (BENOVIT et al., 2015; MOHAMMADHOSSEINI; FREZZA; VENDITTI, 2022).

Aloysia oblanceolata Moldenke possui sinônimos heterotípicos conhecidos na literatura que são Aloysia gratissima var. oblanceolata Moldenke e Aloysia beckii Moldenke (MORONI; O'LEARY; FILLOY, 2016). Popularmente conhecida como Alfazema e Vassourinha Doce, é uma espécie de planta arbustiva com folhas fasciculadas dispostas opostamente ao longo dos ramos, produzindo inflorescências brancas compostas por flores agrupadas na mesma estrutura (O'LEARY et al., 2016). Esta espécie é nativa da América do Sul, ocorrendo no Paraguai, Bolívia e Brasil. No Brasil, A. oblanceolata ocorre principalmente nos estados do Rio Grande do Sul e Paraná (MARX et al., 2010). E seus óleos essenciais e extratos são conhecidos por possui atividade nematicida, fungicida, efeito antidepressivo, atividades neuroprotetoras, efeitos antinociceptivos e anti-inflamatório (SANTOS et al., 2013; SOUZA et al., 2021).

Na medicina tradicional, a *A. oblanceolata* é utilizada por suas propriedades sedativas, com atividade no sistema nervoso central (BENOVIT et al., 2015; GRESSLER et al., 2014). Seu óleo essencial tem recebido grande atenção devido às suas propriedades antibacterianas, antifúngicas e antimicóticas (SOUZA; WIEST, 2007). Há um interesse científico significativo na pesquisa de compostos derivados de plantas associados ao conhecimento da medicina popular.

A descoberta de novos medicamentos anti-inflamatórios e antinociceptivos, mais seguros é constantemente necessária, a busca por medicamentos alternativos capazes de

interromper o processo inflamatório e antinociceptivo tornou-se uma questão importante na pesquisa científica, especialmente na referência ao uso de substâncias naturais e à redução de efeitos colaterais indesejáveis (ALMEIDA, 2001). Nesse contexto, os óleos essenciais representam uma importante fonte de substâncias naturais, visto que seus constituintes ativos frequentemente apresentam diversas propriedades farmacológicas (DE CÁSSIA DA SILVEIRA E SÁ et al., 2014). Além disso, os produtos naturais são ativos contra microrganismos, como fungos, vírus e bactérias, responsáveis por diversas doenças infecciosas (ALIJAR SOUZA et al., 2022; UD-DAULA et al., 2016).

A composição química do óleo essencial extraídos de plantas possui um papel biológico evidenciado por seus efeitos terapêuticos, como atividade antioxidante, antiparasitária, antimicrobiana, citotóxica e atividade anti-inflamatória, devido que seus constituintes, são geralmente formados por monoterpenos, sesquiterpenos e fenilpropanoides e apresentam um caráter lipofílico e baixo peso molecular, com propriedades que possibilitam atravessar membranas celulares com uma maior facilidade (SHARIFI-RAD et al., 2017).

Diversos fatores ambientais podem impactar significativamente o perfil químico dos óleos essenciais produzidos pelas plantas, visto que essas substâncias são influenciadas principalmente por condições externas ao organismo vegetal. Entre os aspectos mais relevantes que contribuem para essa variabilidade estão a incidência de radiação solar, que afeta diretamente os processos fotossintéticos e, consequentemente, a síntese de metabólitos secundários; os níveis de precipitação, que regulam a disponibilidade hídrica e o equilíbrio osmótico; e as variações de temperatura e pressão, que podem interferir nos processos responsáveis pela biossíntese de compostos voláteis (GOBBO-NETO; LOPES, 2007; JERÔNIMO et al., 2024a).

Essas complexas interações entre fatores bióticos e abióticos ressaltam a importância da compreensão da dinâmica ambiental e regional no estudo da produção e da qualidade de óleos essenciais. Diante dessa perspectiva, este estudo teve como objetivo analisar a variação sazonal na composição química do óleo essencial de *Aloysia oblanceolata*.

3 MATERIAL E METODOS

3.1. Material Vegetal e Dados Climáticos

As folhas (60g) de *Aloysia oblanceolata* foram coletados na cidade de Garrafão do Norte, estado do Pará, Brasil (coordenadas: 1°56′22,7382″S/47°3′3,17772W). As folhas maduras para o estudo sazonal foram coletadas no dia 03, às 9h, de novembro de 2022 a outubro de 2023. A identificação foi realizada por comparação com um espécime autêntico de *Aloysia oblanceolata*. As exsicatas (MG246092) foi incorporada ao Herbário "João Murça Pires", do Museu Paraense Emílio Goeldi, Belém, Pará, Brasil, outra amostra do espécime (MFS10607) foi incorporada ao Herbário "Dra. Marlene Freitas da Silva, Universidade do Estado do Pará, Belém, Pará, Brasil e uma amostra foi (IAN202959) foi incorporado ao Herbário da Embrapa Amazônia Oriental, da Empresa Brasileira de Pesquisa Agropecuária, Belém, Pará, Brasil. O espécime foi coletado de acordo com as leis brasileiras relativas à proteção de biodiversidade (Sisgen ACA3523).

Tabela 1. Registro de espécime incorporada no herbário.

Nome científico	Herbário	Instituição	Código
Aloysia	João Murça Pires	Museu Paraense Emílio	MG246092
oblanceolata		Goeldi	
Aloysia	Dra. Marlene Freitas da	Universidade do Estado	MFS10607
oblanceolata	Silva	do Pará	
Aloysia	Embrapa Amazônia	Embrapa Amazônia	IAN202959
oblanceolata	Oriental	Oriental	

Os parâmetros climáticos (insolação, umidade relativa do ar e precipitação pluviométrica) foram obtidos mensalmente no site do Instituto Nacional de Meteorologia (INMET, http://www.inmet.gov.br/portal), do Governo Brasileiro (INMET, 2023). Os dados meteorológicos foram registrados através da estação meteorológica localizada em Belém - PA, que fica a 169,99 km de distância em linha reta do município de coleta, a estação é equipada com um sistema Vaisala, modelo MAWS 301 (Vaisala Corporation, Helsinque, Finlândia).

3.2. Extração de óleo essencial

As folhas foram submetidas à secagem em ambiente climatizado a 16 °C por um período de sete dias. Posteriormente, o material foi triturado com o auxílio de um homogeneizador tipo mixer. As folhas (60 g) foram submetidas à hidrodestilação (em duplicata) utilizando um aparelho tipo Clevenger aparelho (3 h), o sistema de condensação a temperatura era de 10–15 °C. Os óleos essenciais obtidos foram centrifugados durante 5 min a 3000 rpm e desidratado em sulfato de sódio anidro (Na₂SO₄) nas mesmas condições em uma centrífuga (MAIA;

ANDRADE, 2009). Os pesos secos foram usados para calcular os rendimentos de óleo (em triplicada). Os rendimentos de óleos essenciais foram expressos em porcentagem e calculados a partir da biomassa livre de umidade (HFB) através da relação entre volume de óleo, massa amostral da planta e umidade. Os óleos foram armazenados em frascos escuros para posterior análise cromatográfica (JERÔNIMO et al., 2024b). A umidade residual das amostras foi determinada usando um medidor de umidade testador (Gehaka®), modelo IV 2000, por secagem infravermelha em paralelo a extração.

3.3. Análise da composição do óleo essencial

Cromatografia gasosa acoplada à espectrometria de massas (CG-EM) associada a cromatografia gasosa acoplada a detector de ionização de chama (CG/DIC) foram utilizadas para analisar a composição dos óleos essenciais de *A. oblanceolata*. Foi utilizado um instrumento ultra Shimadzu Modelo QP 2010 (Shimadzu, Tóquio, Japão) equipado com coluna capilar de sílica fundida Rtx-5MS (30 m, 0,25 mm; espessura de filme de 0,25 μm) como fase estacionária (Restek, Bellefonte, PA, EUA). O gás hélio foi ajustado a 1,0 mL/min a 57,5 kPa como gás de arraste. A injeção das amostras de óleo no instrumento foi do tipo split (proporção 1:20) de 1 μL de solução de n-hexano (5 μL de óleo: 500 μL de n-hexano); as temperaturas do injetor e da interface foram de 250 °C; A temperatura programada do forno foi de 60 a 240 °C (3 °C/min), seguida de isoterma de 10 min. Espectrometria de massa de ionização eletrônica (EIMS) a 70 eV, a temperatura da fonte de íons foi de 200 °C.

Os espectros de massa foram obtidos por varredura automática, com massa de fragmentos na faixa de 35–400 m/z. A comparação dos espectros de massa e índices de retenção apresentados pelas amostras utilizando as semelhanças entre os espectros de massa e índices de retenção apresentados nas bibliotecas comerciais FFNSC-2 (MONDELLO, 2011) e Adams (ADAMS, 2007). Os índices de retenção dos constituintes voláteis foram calculados utilizando a equação linear de Van Den Dool e Kratz (1963), utilizando uma série homóloga de hidrocarbonetos (C8–C40, Sigma-Aldrich, St. Louis, MO, EUA) sob as mesmas condições cromatográficas. A análise CG/DIC foi realizada em um instrumento Shimadzu QP-2010 (Shimadzu, Tóquio, Japão) equipado com um detector DIC sob as mesmas condições descritas acima, exceto que o hidrogênio foi usado como gás de arraste. A composição percentual da amostra de óleo foi calculada a partir das áreas dos picos do CG/DIC. As análises foram realizadas em triplicata.

3.4. Declaração ética e Doses do óleo essencial

O projeto de pesquisa foi submetido à aprovação do Comitê de Ética no Uso de Animais (CEUA) da Universidade do Estado do Pará (UEPA) sob o número 03–2023 e 07/2023. Nesta pesquisa, foram utilizados 194 camundongos heterogênicos, *Mus musculus* da linhagem *Swiss*, machos, adultos (aproximadamente 30 dias de idade), pesando entre 30 e 40 g e 100 ratos heterogênicos, *Rattus norvegicus* da linhagem Wistar, provenientes do Biotério do Instituto Evandro Chagas (IEC). As doses selecionadas de Óleo Essencial de *Aloysia oblanceolata* (OEAo) foram baseadas no trabalho de Costa et al. (2022). Assim, doses de 25, 50 e 100 mg/kg por via oral foram adotadas.

3.5. Toxicidade oral aguda

A toxicidade oral aguda foi avaliada de acordo com as diretrizes 423 da Organização para Cooperação e Desenvolvimento Econômico (OECD, 2002). Os animais foram distribuídos aleatoriamente em dois grupos. O primeiro grupo foi tratado com água destilada e o segundo grupo foi tratado com óleo essencial de *Aloysia oblanceolata* (OEAo) na dose de 300 e 2000 mg/kg com o veículo Tween 80 a 1%. Os tratamentos foram realizados por gavagem (10 mL/kg). Após os tratamentos, os animais foram observados durante 2 horas e depois uma vez ao dia durante 14 dias consecutivos. Nesse período foram observadas alterações comportamentais e fisiológicas (estado de alerta, atividade motora espontânea, locomoção, apatia, resposta ao toque, estereotipia, agressividade, ataxia, sudorese, micção, diarreia, convulsões e morte). No 15º dia, os animais foram submetidos à eutanásia (cetamina 300 mg/kg e xilazina 30 mg/kg) (DOS SANTOS SOUZA et al., 2021) (Figura 1a).

As análises foram realizadas no equipamento Autoanalyzer Olympus AU 400 (Hamburgo, Alemanha) (COSTA-SILVA et al., 2008). O sangue foi coletado por via intracardíaca para avaliação da atividade renal (creatina e ureia) e hepática utilizando as enzimas alanina aminotransferase (ALT-PGP), aspartato transaminase (AST-TGO) e fosfatase alcalina (ALP) (Figura 1b).

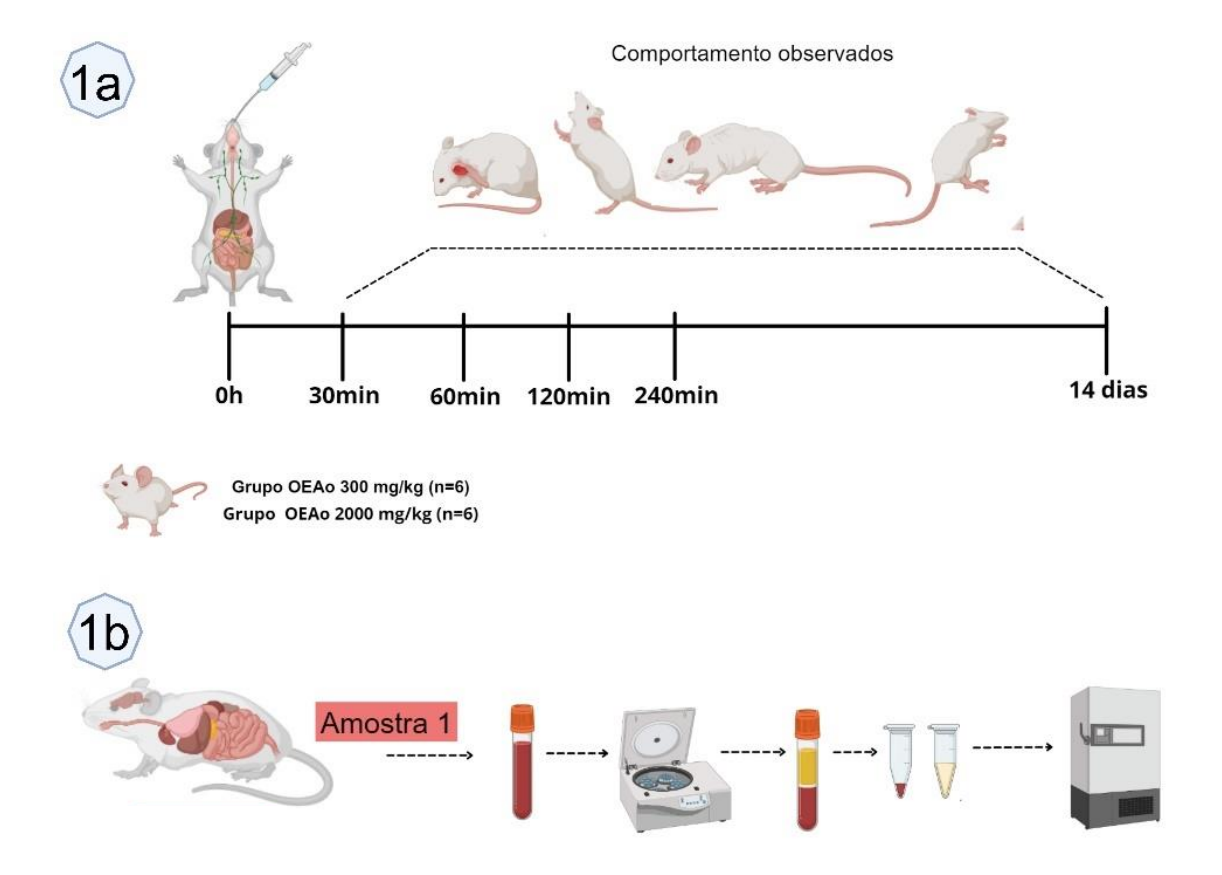


Figura 1. Esquema experimental para avaliação dos efeitos do óleo essencial de *Aloysia oblanceolata* (OEAo) em camundongos. (1a) Administração oral de OEAo nas doses de 300 mg/kg e 2000 mg/kg (n = 6 por grupo) seguida de observação comportamental em diferentes tempos (30, 60, 120, 240 minutos e até 14 dias) para avaliação de toxicidade aguda e possíveis alterações comportamentais. (1b) Coleta de amostras após o período experimental: Amostra 1 corresponde ao sangue para análises bioquímicas

3.6. Marcadores de estresse oxidativo

3.6.1. Preparação das amostras

Os órgãos (Fígado e Rim) do tratamento nas doses de 300 e 2000 mg/kg, foram pesados em balança analítica e homogeneizados (p/v) na proporção de 1:10 em salina a 0,9%. O homogeneizado foi centrifugado a 3500 rpm por 10 minutos. O sobrenadante foi aliquotado em microtubos de polipropileno do tipo Eppendorfs® e mantido em freezer -80 °C até o dia das análises bioquímica para estresse oxidativo: concentração das substâncias reativas ao ácido tiobarbitúrico (TBARS); Catalase (CAT).

3.6.2. Mensuração da peroxidação lipídica

Para se determinar a concentração de substâncias reativas ao ácido tiobarbitúrico (TBARS), os produtos resultantes da peroxidação lipídica, foram utilizados o método de Winterbourn, modificados para análise em espectrofotometria (VIANA BARBOSA et al., 2023; WINTERBOURN; GUTTERIDGE; HALLIWELL, 1985). O método baseia-se na

alteração da coloração da amostra (plasma) quando ela é colocada para reagir com o ácido tiobarbitúrico a 1 % na temperatura de 90 a 100 °C e em meio ácido. Em tubos de propileno (PP) de 1,5 ml, serão colocados 10 μL de butil-hidroxi-tolueno (BHT) (solução etanólica a 2 %), 200 μL de ácido clorídrico (HCl) 25%, 200 μL de solução de ácido tiobarbitúrico (1%) dissolvido em solução aquosa de NaOH a 0,05N e 200 µL de amostra. O branco será feito com todas as soluções colocando-se, no lugar da amostra, solução salina 0,9%. Posteriormente, os tubos contendo a mistura foram incubados em banho fervente (100 °C) durante 15 minutos e resfriados em banho de gelo. Em seguida, adiciona-se 618 µL de butanol em cada tubo e agitados em vórtex até que houvesse a transferência total da coloração rósea da camada inferior para a superior. A mistura foi centrifugada por 5 minutos a 12000 rpm até que a fase do butanol (sobrenadante) torne-se límpida. Foram retirados 600 µl de sobrenadante, e as amostras distribuídas em duplicata em cubetas. A placa foi introduzida em um espectrofotômetro, para medir a absorbância ao comprimento de onda de 532 nm. A amplificação da peroxidação durante o ensaio foi prevenida pela adição de um antioxidante (BHT). A concentração de TBARs foi determinada utilizando-se o coeficiente de extinção molar do MDA (e = 1,56 x 10-5. M1. mL⁻¹) (VIANA BARBOSA et al., 2023).

3.6.3. Indicador da Formação de Oxido Nítrico (NO)

A produção de A produção de NO foi avaliada espectrofotometricamente por meio do metabólito estável nitrito. Para mensurar o conteúdo de nitrito, as amostras foram incubadas com o reagente de Griess (1% de sulfanilamida e 0,1% de N-1 (naftil) etilenodiamina) à temperatura ambiente por 10 minutos, e a absorbância foi medida a 540 nm. O conteúdo de nitrito foi calculado com base em uma curva padrão, variando de 0 a 100 nM, construída com nitrito de sódio (NaNO₂). Os resultados foram expressos em μmol de nitrito por mg de proteína (GREEN et al., 1982).

3.6.4. Análise enzimática - Catalase (CAT)

A atividade da enzima catalase, quantifica a velocidade de decomposição do peróxido de hidrogênio, em 240 nm durante 20s, pela enzima presente na amostra. Utiliza-se a solução de peróxido de hidrogênio (H₂O₂) 10 mM em tampão fosfato mM pH 7,0 preparada e titulada no dia da análise (AEBI, 1984; VIANA BARBOSA et al., 2023). Para isso, foi adicionado 2 mL desta solução na cubeta, com acréscimo de 20μL da amostra, em seguida, foi feita a leitura da queda da absorbância. Os valores foram expressos em mmol.min ⁻¹.mL.

3.7. Análise da atividade atinociceptiva

3.7.1. Efeito analgésico periférico no teste de contorção abdominal

O ensaio de contorção abdominal induzida por ácido acético foi utilizado para avaliar o potencial analgésico periférico (CONEGUNDES et al., 2021; KOSTER, R., ANDERSON, M. DE BEER, 1959). Os camundongos foram divididos aleatoriamente em cinco grupos de seis camundongos: grupo controle (tratado com tween a 1,0%, v.o.), três grupos de tratamento (doses de OEAo de 25, 50 e 100 mg/kg, v.o.) e um grupo de controle positivo (5 mg/kg de indometacina, p.o.). Sessenta minutos após o tratamento, os camundongos foram submetidos a (0,6%, v/v em tween, 10 mL/kg) de ácido acético (CH₃COOH) a 0,6% i.p. Após a administração do ácido acético, os animais foram confinados por 30 min e os números de contorções foram registradas. O efeito analgésico foi avaliado com base na redução do número de contorções abdominais (DE LIMA et al., 2023).

3.7.2. Teste de imersão da cauda

O teste de imersão da cauda avalia a atividade analgésica central submergindo a cauda dos animais em altas temperaturas. Este teste avalia o(s) tempo(s) de latência, definido como o período para o animal retirar cauda. No teste, os animais foram submetidos a um pré-teste, sendo excluídos aqueles com valores de latência superiores a 5 segundos. Os animais selecionados foram separados em grupos (n=6) que foram tratados com veículo (Tween 80 a 1% diluído em solução salina estéril, v.o.), morfina administrada na dose de 5 mg/kg (i.p.) ou EOAo nas doses de 25, 50 e 100 mg. /kg (p.o.). Posteriormente, 1/3 (aproximadamente 2 cm) da cauda dos animais foi submersa no líquido com temperatura fixa de 55±0,5 °C, e a resposta completa de retirada da cauda foi avaliada nos tempos 0, 30, 60, 90 e 120 minutos (GAMMOH et al., 2023; HAMURA et al., 2000).

3.7.3. Teste de formalina

O teste de contorção abdominais foi conduzido de acordo com método de Zapata-Morales et al., (2017). Para avaliar o envolvimento do sistema opioide no mecanismo de ação antinociceptiva do óleo essencial de *Aloysia oblanceolata*, grupos de camundongos (n=5) foram pré-tratados com naloxona (5 mg/kg) que é antagonista de receptores do sistema opioide; glibenclamida (5 mg/kg, um bloqueador do canal de potássio modulado por ATP; Ondansetrona, antagonista 5-HT3 (0,5 mg/kg, i.p.); haloperidol (0,2 mg/kg, i.p.), um antagonista não-seletivo dos receptores dopaminérgicos; ioimbina (1 mg/kg; i.p.), um antagonista α-adrenérgico; teofilina (5 mg/kg, i.p.), um antagonista de adenosina. 15 minutos

após os administrações, os animais foram tratados com o óleo essencial (100 mg/kg), agonista morfina (4 mg/kg) e veículo (solução de NaCl 0,9%) (SCAPINELLO et al., 2019). Sessenta minutos (óleo essencial e veículo) ou trinta minutos (morfina) após os tratamentos, os animais receberam injeção de ácido acético 0,6% (i.p.) As contorções abdominais foram registradas por 30 minutos (HESS et al., 2010; OBESE et al., 2021; WOODE et al., 2012).

3.8. Campo Aberto

Para descartar quaisquer efeitos sedativos ou relaxantes musculares inespecíficos do OEAo, atividade exploratória espontânea foi avaliada no teste de campo aberto conforme descrito anteriormente (ARCHER, 1973; KARL; PABST; VON HÖRSTEN, 2003). Os camundongos (n = 6) foram tratados com veículo (10 mL/kg) e OEAo (100 mg/kg) 1 h antes tratamento (DE JESUS et al., 2023). Foram colocados individualmente no centro da arena de campo aberto (100 x 100 x 40 cm) e foram autorizados a explorar o aparelho por 5 min. A atividade dos camundongos foi monitorada por vídeo por uma câmera posicionada acima da arena para ser analisada off-line com o software ANY-mazeTM (Stoelting, EUA) por dois observadores cegos aos tratamentos a locomoção foi avaliada como a distância total percorrida (FERNANDES et al., 2018; KASTER et al., 2015).

3.9. Atividade anti-inflmatorio

3.9.1. Peritonite induzida por carragenina

A inflamação e consequente o estresse oxidativo foi induzido na cavidade peritoneal pela administração de carragenina (0,3 mg/kg) (SOUZA; FERREIRA, 1985). Para isso, os animais foram distribuídos aleatoriamente em cinco grupos (n = 6/grupo), que foram previamente tratados por cinco dias com solução salina (Grupos Branco e Carragenina), OEAo (25, 50 e 100 mg/kg) ou Indometacina (10 mg/kg). A carragenina foi administrada 1 hora após a última dose de pré-tratamento. Quatro horas depois, os animais foram eutanasiados sob anestesia (cetamina + xilazina; 91 + 9,1 mg/kg; ip.), após isso, foram injetados 5 mL de solução salina na cavidade peritoneal e o lavado foi coletado para avaliação do equilíbrio oxidativo e migração leucocitária. O sangue foram coletadas por punção cardíaca e depois centrifugadas (3500 RPM para 10 min) para separação do plasma, para avaliação do balanço oxidativo (CARDOSO et al., 2022). (Figura 2).

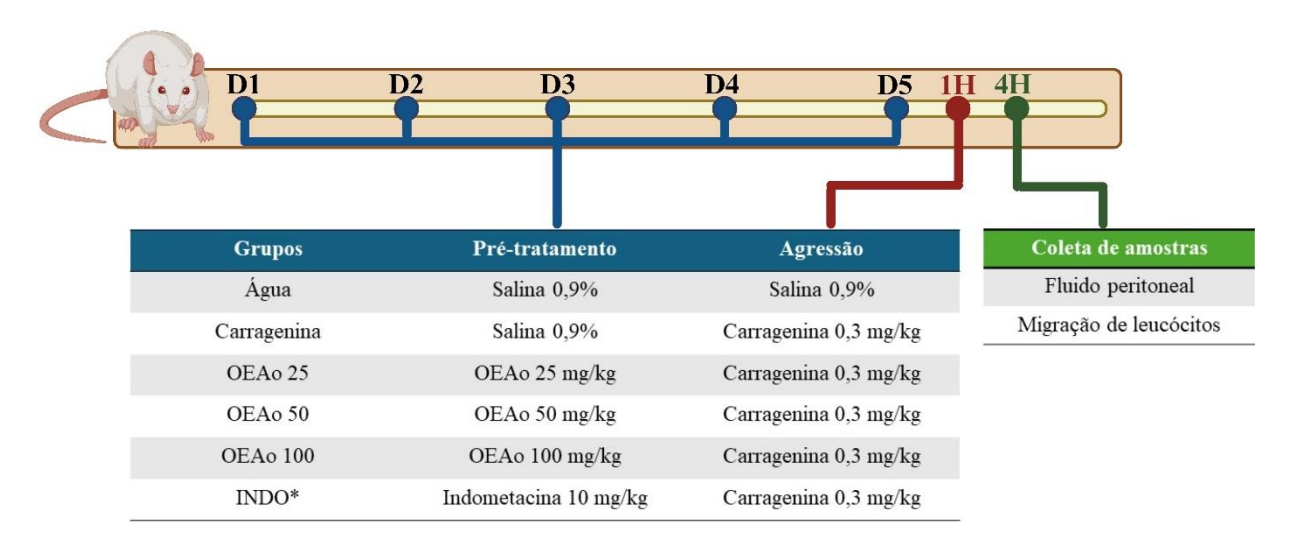


Figura 2. Esquema do protocolo experimental utilizado para avaliar a atividade anti-inflamatória do óleo essencial de *Aloysia oblanceolata* (OEAo) no modelo de peritonite induzida por carragenina em camundongos. Os animais foram divididos em grupos experimentais e tratados por via oral durante cinco dias consecutivos (D1 a D5) com OEAo nas doses de 25, 50 ou 100 mg/kg, indometacina (10 mg/kg, grupo controle positivo) ou solução salina 0,9% (controle negativo). No quinto dia (D5), foi realizada a indução da inflamação por via intraperitoneal com carragenina a 0,3 mg/kg. Após 4 horas da administração da carragenina, foi realizada a coleta do fluido peritoneal para quantificação da migração de leucócitos, como parâmetro de resposta inflamatória.

3.10. Análise estatística da composição química e teste in vivo

A análise de componentes principais (PCA) foi aplicada aos componentes do óleo essencial das folhas de *Aloysia oblanceolata* (> 3,0%) (OriginPro/OriginLab 2024 Learning Edition Corporation, Northampton, MA, EUA e o Minitab Statistical Software 18). A análise de agrupamentos hierárquicos (HCA) foi realizada considerando a distância euclidiana e a ligação de Ward (SANTOS et al., 2024). A significância estatística foi avaliada pelo teste de Tukey (p < 0,05), e os coeficientes de correlação de Pearson (r) foram calculados para determinar a relação entre os parâmetros climáticos analisados (insolação, umidade relativa, temperatura e precipitação) utilizando o software GraphPad Prism versão 8.0 (GALVÃO et al., 2023).

As avaliações estatísticas dos dados experimentais in vivo foram realizadas utilizando o GraphPad Prism versão 8.0. Os dados são expressos como médias ± erros padrão. Foi realizado o teste de Shapiro-Wilk para a verificação da normalidade. As diferenças estatisticamente relevantes foram determinadas usando o teste ANOVA, seguido pelo teste post hoc de Tukey. As diferenças foram consideradas estatisticamente significativas entre os grupos de tratamento quando p < 0,05 (DE JESUS et al., 2023).

4. RESULTADOS E DISCUSÃO

4.1. Efeito da sazonalidade na produção de óleo

Fatores climáticos, como insolação, precipitação, temperatura e umidade relativa, foram monitorados no período de novembro de 2022 a outubro de 2023 para avaliar sua influência na produção e composição do óleo essencial de *Aloysia oblanceolata*. Os valores de insolação variaram entre 88,2 (abril) e 289,5 h (setembro), a precipitação mensal de 32,7 (outubro) a 465,4 mm (abril), a temperatura de 26,7 °C (maço) a 35,8 °C (outubro), e o umidade relativa do ar de 75,4% (outubro) para 93,2% (março). O período seco na região onde a planta ocorre compreendeu os meses de novembro de 2022, julho a outubro de 2023 representado na figura 3 na cor vermelho, com média precipitação de 149,3 ± 104,3 mm, e o período chuvoso de dezembro de 2022 a junho de 2023 representado na figura 3 na cor azul, com média precipitação de 361,9 ± 79,2 mm.

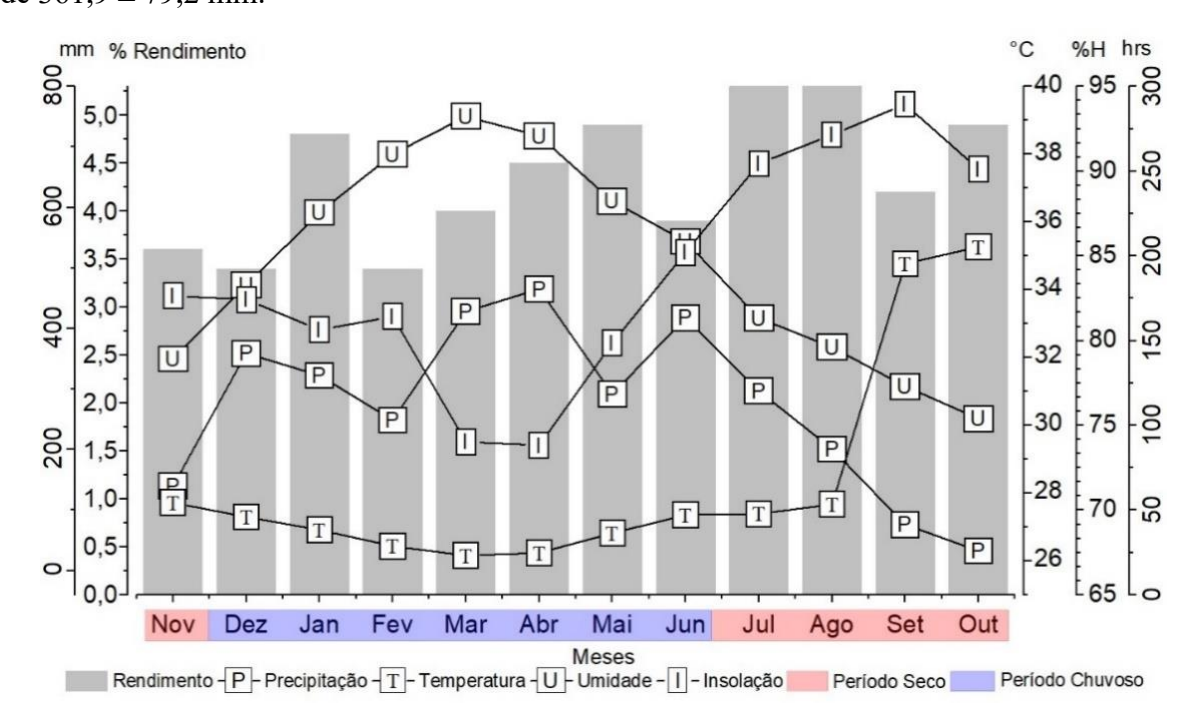


Figura 3. Relação entre parâmetros climáticos e produção de óleo de *Aloysia oblanceolata* durante o estudo sazonal.

A Bacia Amazônica contém cerca de metade da floresta tropical da Terra e possui chuvas torrenciais e secas severas, variam tanto em escalas espaciais e temporais devido isso, a região amazônica é caracterizada por apenas duas estações: seca e chuvosa (DA SILVA et al., 2019; LEAN; WARRILOW, 1989; LOUREIRO et al., 2014). Com o clima úmido e quente, a Amazônia apresenta os maiores índices pluviométricos de dezembro a abril, período chuvoso, com os menores índices pluviométricos de junho a novembro no período seco, sendo os demais

meses considerados períodos de transição entre as estações, contudo, de um ano para outro, estas duas estações podem mudar dependendo dos fenômenos atmosféricos que afetam as regiões tropicais (DA COSTA et al., 2020; HALL et al., 1998). Em estudos que avaliaram o efeito da sazonalidade e do óleo essencial, os parâmetros climáticos obtidos em 2022 mostraram um clima atípico no ano estudado (BARROS et al., 2022a; SANTOS et al., 2023).

No estudo sazonal, os rendimentos de óleo essencial de *Aloysia oblanceolata* variaram de 3,4% (dezembro de 2022 e fevereiro 2023) a 5,3% (agosto e setembro de 2023), com média de $4,3\pm0,7\%$ no período estudado (Figura 1). O rendimento do óleo essencial não apresentou diferença significativa (p < 0,05) no período seco (4,7 \pm 0,7%) e no período chuvoso (4,1 \pm 0,6%) no teste T (Figura 4).

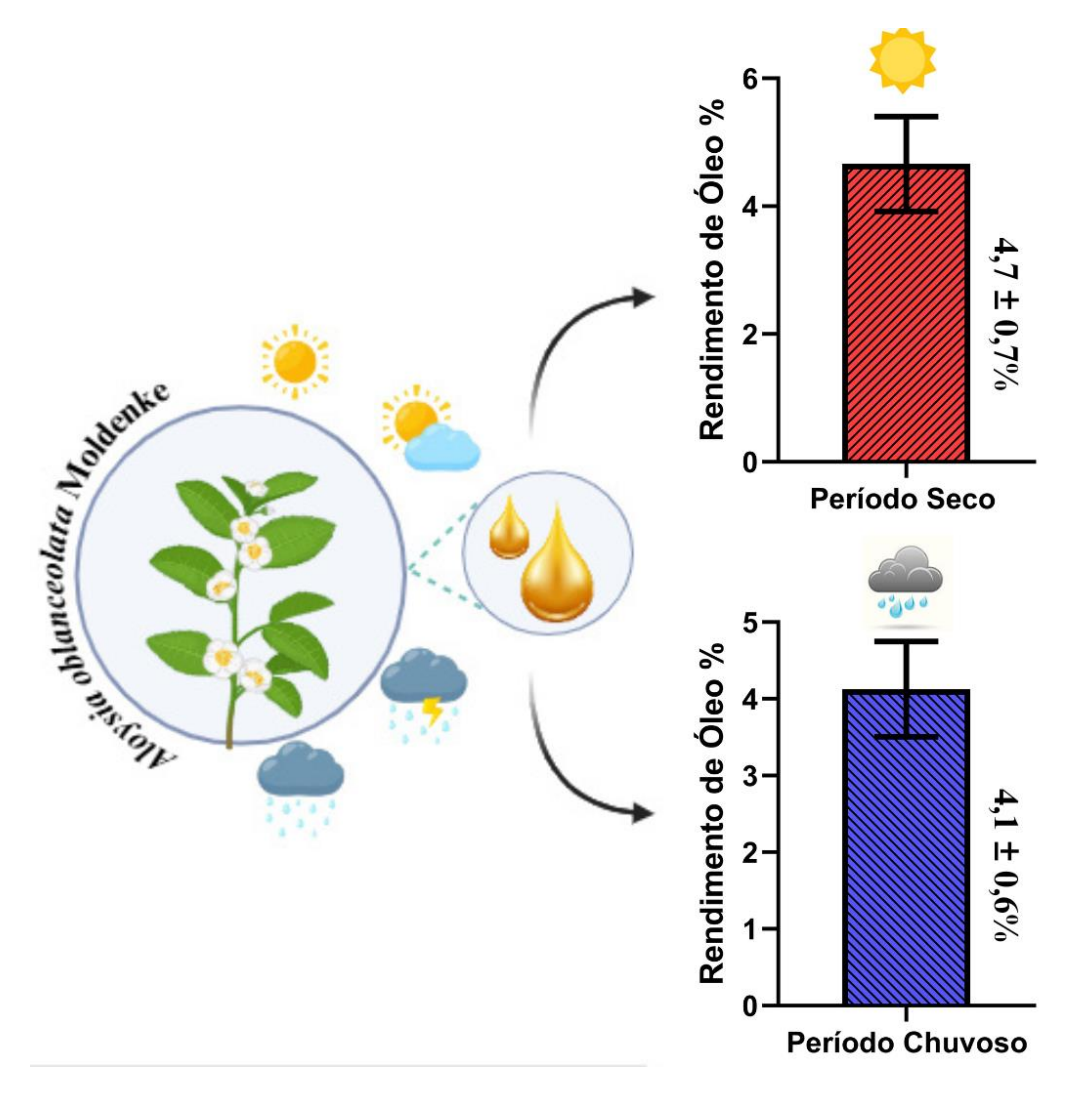


Figura 4. Variação do rendimento (%) do óleo essencial de *Aloysia oblanceolata* Moldenke entre os períodos seco e chuvoso. Observa-se maior rendimento durante o período seco (\$\infty\$) em comparação ao período chuvoso (\$\infty\$), com os valores expressos como média \(\pm\) desvio padrão.

Em relação aos parâmetros climáticos com teor de óleo essencial, não foi observada correlação significativa com a temperatura, umidade, precipitação e com a insolação apresentou correlação positiva (r = 0.36)com o rendimento do óleo de *Aloysia oblanceolata* menor que (p > 0.05) (figura. 5).

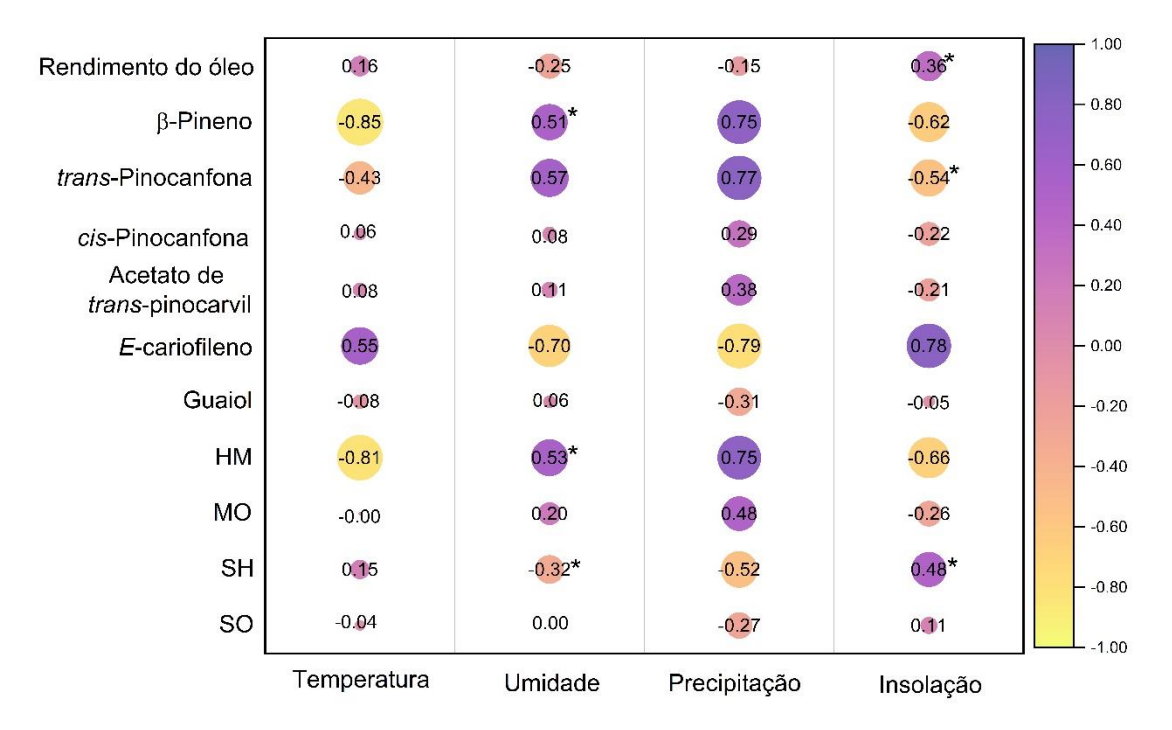


Figura 5. Correlação entre rendimento, principais componentes e classes de compostos do óleo de *Aloysia* oblanceolata e fatores climáticos.

HM: Hidrocarbonetos monoterpênicos, MO: Monoterpenos oxigenados, HS: Hidrocarbonetos sesquiterpênicos, SO: Sesquiterpenos oxigenados. *Correlação significativa (p < 0,05).

O estudo que avaliou o efeito da sazonalidade no óleo essencial das folhas de *Lippia alba*, coletado no distrito de Outeiro, em Belém, Pará, Brasil, não apresentou diferença significativa no rendimento de óleos entre o período seco $(1,1\pm0,3\%)$ e o chuvoso período $(1,7\pm0,5\%)$ (BARROS et al., 2022b). Por outro lado, durante a avaliação da sazonalidade do óleo *de Aloysia triphylla*, cultivado e coletado no município Frederico Westphalen, Rio Grande do Sul, Brasil, apresentou o rendimento do óleo, diferentes percentuais durante as estações verão (0,42%), outono (0,31%), inverno (0,19%) e primavera (0,30%), onde a estação com menor precipitação apresentou o melhor rendimento durante o período estudado (PARODI et al., 2020).

4.2. Efeito sazonal na composição do óleo de Aloysia oblanceolata

O óleo essencial de *A. oblanceolata* apresentou trinta e oito (38) constituintes químicos, (Tabela 2). Esses constituintes compreendem 94,6-97,1% dos óleos analisados no estudo sazonal ao longo do período de doze meses. As classes de compostos predominantes nas

amostras de óleo foliar foram monoterpenos oxigenados (33,2 a 48,1%), sesquiterpenos oxigenados (18,5 a 27,8%), hidrocarbonetos sesquiterpênicos (19,0 a 27,3%) e hidrocarbonetos monoterpênicos (2,4 a 10,7%). Os principais constituintes identificados no óleo essencial das folhas durante o estudo sazonal foram *trans*-Pinocanfona (11,1 a 16,4%), Guaiol (10,8 a 14,2%), *trans*-Acetato de Pinocarvila (6,1 a 9,5%), *cis*-Pinocanfona (5,7 a 8,4%) e β-Pineno (0,9 a 5,8%). As estruturas dos constituintes são mostradas na Figura 6.

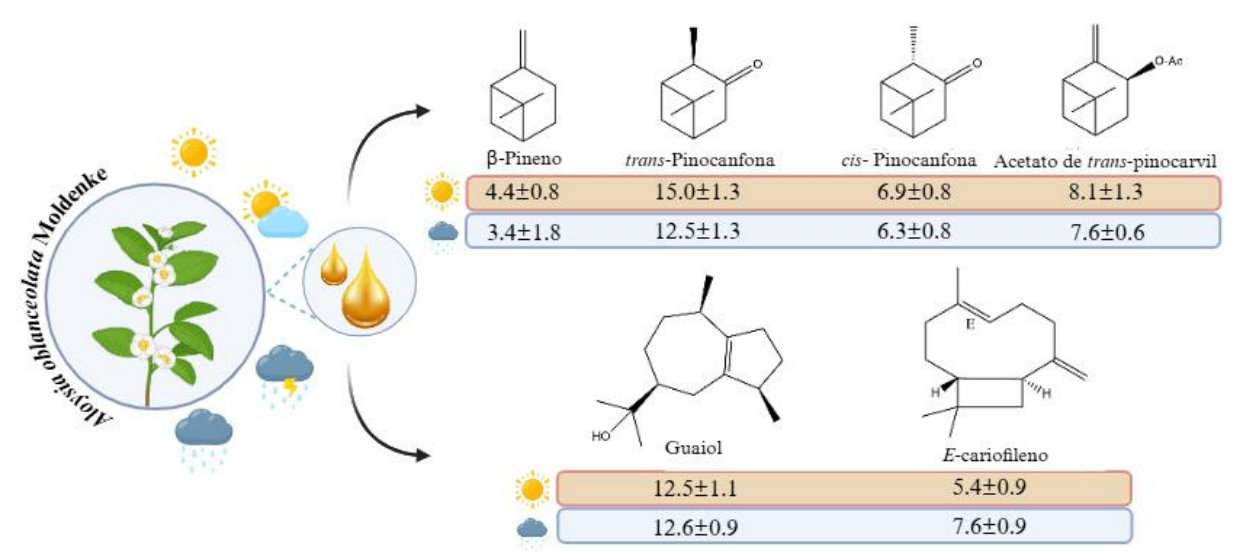


Figura 6. Estruturas químicas e variação sazonal dos principais constituintes do óleo essencial de *Aloysia oblanceolata* Moldenke. As análises revelaram diferenças quantitativas na composição dos compostos β-pineno, trans-pinocanfona, cis-pinocanfona, acetato de trans-pinocarvil, guaiol e E-cariofileno entre os períodos seco ($\mbox{\colored}$) e chuvoso ($\mbox{\colored}$). Os dados estão expressos como média da porcentagem relativa \pm desvio padrão.

Tabela 2. Rendimentos e composição química dos óleos essenciais das folhas de *Aloysia oblanceolata* relativos ao estudo sazonal.

			Período	Seco				Chuvo	oso			Seco				
N^o	IR _(C)	$IR_{(L)}$ –	Meses da Coleta	Nov	Dez	Jan	Fev	Mar	Abr	Mai	Jun	Jul	Ago	Set	Out	
1	TIX(C)	III(L) —	Rendimento do Óleo	3,6	3,4	4,8	3,4	4,0	4,5	4,9	3,9	5,3	5,3	4,2	4,9	
		_	Constituintes						('	%)					_	
1	934	932ª	α-Pineno	0,6	0,6	0,3	0,4	0,5	0,6	0,4	0,5	0,5	0,4	0,6	1,1	
2	974	969 ^a	Sabineno	0,2	0,3	0,2	0,2	0,2	0,2	0,2	0,3	0,2	0,2			
3	980	974^{a}	β-Pineno	5,3	5,8	3,9	4,0	5,2	5,1	4,1	5,5	4,3	4,1	0,9	2,2	
4	992	988^{a}	Mirceno	1,0	1,2	0,8	0,8	1,0	0,9	0,8	1,1	0,8	0,7	0,2	0,4	
5	1029	1024 ^a	Limoneno	1,6	1,8	1,4	1,3	1,7	1,6	1,3	1,7	1,3	1,3	0,4	0,8	
6	1047	1044 ^a	E - β -ocimeno	0,6	0,8	0,6	0,7	0,8	0,6	0,6	0,8	0,4	0,3	0,1	0,4	
7	1089	1086 ^a	Terpinoleno	0,2	0,2	0,1	0,2	0,2	0,2	0,1	0,2	0,1	0,1	0,2		
8	1101	1095 ^a	Linalool	1,7	2,5	1,7	1,7	2,3	2,3	1,8	2,3	1,7	1,8	1,7	2,2	
9	1126	1122ª	α -canfolenal	0,2	0,3		0,2	0,2	0,2	0,2	0,2	0,2	0,1	0,2	0,3	
10	1140	1135 ^a	trans-Pinocarveol	2,5	3,5	4,6	2,8	3,2	3,3	2,9	3,2	2,8	3,6	3,3	3,4	
11	1163	1158 ^a	trans-Pinocanfona	11,1	16,4	14,9	13,5	16,0	15,4	12,9	15,9	13,1	13,2	11,0	13,9	
12	1165	1160 ^a	Pinocarvona	1,7	2,3	1,9	1,9	2,2	2,2	2,1	2,4	2,1	2,1	2,0	2,3	
13	1176	1172a	cis-Pinocanfona	5,7	8,4	7,0	6,2	7,1	6,9	5,9	7,1	6,0	6,2	5,8	7,8	
14	1178	1174ª	Terpinen-4-ol	0,3	0,4	0,4	0,3	0,3	0,3	0,3	0,3	0,4	0,3	0,4	0,6	
15	1191	1186ª	α-Terpineol	0,2	0,3	0,3	0,2	0,2	0,3	0,2	0,2	0,2	0,2	0,2	0,3	
16	1198	1195ª	Mirtenol	2,0	3,1	1,9	1,8	2,4	1,8	2,2	2,4	2,5	2,5	3,6	3,2	
17	1204	1199ª	γ-Terpineol	0,2	0,3	0,3	0,2		0,2			0,1		0,2	0,2	
18	1219	1215 ^a	trans-Carveol	0,2	0,4	0,2	0,2	0,3	0,3	0,2	0,2	0,3		0,3	0,3	
19	1286	1287ª	Acetato de bornila	0,5	0,7	0,5	0,5	0,6	0,6	0,5	0,6	0,5	0,5	0,6	0,6	
20	1302	1311 ^a	Acetato de trans-pinocarvil	6,9	9,5	6,1	6,9	8,9	9,1	7,4	8,9	7,6	7,2	7,8	8,6	
21	1430	1430 ^a	β-Copaeno		0,1			0,2					0,1		0,3	
22	1338	1335 ^a	δ-Elemeno	0,2	0,1	0,2	0,2		0,1	0,2		0,2	0,1	0,2		

	1387ª	β-Bourboneno	0,1		0,3	0,2		0,1	0,2		0,3	0,3	0,3	
1393	1389 ^a	β-Elemeno	1,1	0,9	1,2	1,1	0,9	0,9		0,9	1,2	1,1	1,2	0,9
1422	1417 ^a	\pmb{E} -cariofileno	7,1	4,8	6,3	6,0	4,8	4,6	6,6	4,7	7,5	7.7	9.0	6.7
1435	1434 ^a	γ-Elemeno	2,1	1,5	2,3	2,1	1,7	1,5	2,2	1,6	2,1	1.8	2.3	1.5
1455	1452 ^a	α-Humuleno	1,9	1,3	1,7	1,6	1,3	1,3	1,9	1,3	2,0	2.0	2.2	1.6
1462	1464 ^a	9-epi- <i>E</i> -cariofileno	0,2	0,1	0,3	0,2	0,1	0,2	0,3	0,1	0,3	0.2	0.2	
1483	1478 ^a	γ-Muuroleno	5,3	4,2	6,4	6,1	5,2	4,6	6,9	5,2	6,0	5.2	3.8	3.9
1498	1500^{a}	Biciclogermacreno	2,5	1,8	2,4	2,4	1,8	1,6	2,4	1,8	2,2	2.0	2.8	2.3
1516	1522 ^a	δ-Cadineno	0,3	0,3	0,3	0,3	0,3	0,4	0,3	0,3	0,3	0.4	0.3	0.2
1551	1548 ^a	Elemol	2,2	1,6	1,6	2,3	2,3	1,9	1,9	2,2	1,6	1.7	1.6	2.1
1559	1559 ^a	Germacreno B	3,2	2,3	3,5	3,2	2,6	2,4	3,3	2,6	3,3	2.9	3.4	2.4
1580	1577 ^a	Espatulenol	1,4	0,8	0,9	1,0	0,8	1,7	1,2	0,9	1,6	2.1	3.2	2.4
1585	1582ª	Óxido de cariofileno	3,5	2,6	2,9	3,1	2,2	3,0	2,9	2,2	3,4	3.9	5.4	4.6
1603	1600a	Guaiol	14,2	10,8	13,4	14,0	12,3	11,4	13,1	12,4	12,4	11.8	12.6	12.1
1611	1609 ^a	Rosifoliol	1,5		1,4	1,4	1,3	1,4	1,4	1,1	1,5	1.6	1.8	1.59
1671	1670^{a}	Bulnesol	6,6	4,3	4,9	6,3	6,0	5,4	6,2	6,0	5,0	5.0	4.8	4.87
Н	idrocarbo	netos Monoterpênicos	9,5	10,7	7,3	7,6	9,6	9,2	7,5	10,1	7,6	7,1	2,4	4,9
	Monoter	penos Oxigenados	33,2	48,1	39,8	36,4	43,7	42,9	36,6	43,7	37,5	37,7	37,1	43,7
H	idrocarbon	netos Sesquiterpênicos	26,2	19,0	26,5	25,7	21,2	19,6	26,2	20,7	27,0	25,5	27,3	21,6
	Sesquiter	rpenos Oxigenados	27,2	18,5	23,5	25,8	25,8	22,9	24,8	22,6	23,9	24,4	27,8	25,6
	r	Total (%)	96,1	96,5	97,1	95,5	97,1	94,6	95,1	97,1	96,0	94,7	94,6	95,8
	1422 1435 1455 1462 1483 1498 1516 1551 1559 1580 1585 1603 1611 1671 H	1422 1417a 1435 1434a 1455 1452a 1462 1464a 1483 1478a 1498 1500a 1516 1522a 1551 1548a 1559 1559a 1580 1577a 1585 1582a 1603 1600a 1611 1609a 1671 1670a Hidrocarbon Monoter Hidrocarbon Sesquiter	1422 1417a E-cariofileno 1435 1434a γ-Elemeno 1455 1452a α-Humuleno 1462 1464a 9-epi-E-cariofileno 1483 1478a γ-Muuroleno 1498 1500a Biciclogermacreno 1516 1522a δ-Cadineno 1551 1548a Elemol 1559 1559a Germacreno B 1580 1577a Espatulenol 1585 1582a Óxido de cariofileno 1603 1600a Guaiol 1611 1609a Rosifoliol 1671 1670a Bulnesol Hidrocarbonetos Monoterpênicos Monoterpenos Oxigenados Hidrocarbonetos Sesquiterpênicos Sesquiterpenos Oxigenados Total (%)	1422 1417a E-cariofileno 7,1 1435 1434a γ-Elemeno 2,1 1455 1452a α-Humuleno 1,9 1462 1464a 9-epi-E-cariofileno 0,2 1483 1478a γ-Muuroleno 5,3 1498 1500a Biciclogermacreno 2,5 1516 1522a δ-Cadineno 0,3 1551 1548a Elemol 2,2 1559 1559a Germacreno B 3,2 1580 1577a Espatulenol 1,4 1585 1582a Óxido de cariofileno 3,5 1603 160a Guaiol 14,2 1611 1609a Rosifoliol 1,5 1671 1670a Bulnesol 6,6 Hidrocarbonetos Monoterpênicos 9,5 Monoterpenos Oxigenados 33,2 Hidrocarbonetos Sesquiterpênicos 26,2 Sesquiterpenos Oxigenados 27,2 Total (%) 96,1	1422 1417a E-cariofileno 7,1 4,8 1435 1434a γ-Elemeno 2,1 1,5 1455 1452a α-Humuleno 1,9 1,3 1462 1464a 9-epi-E-cariofileno 0,2 0,1 1483 1478a γ-Muuroleno 5,3 4,2 1498 1500a Biciclogermacreno 2,5 1,8 1516 1522a δ-Cadineno 0,3 0,3 1551 1548a Elemol 2,2 1,6 1559 1559a Germacreno B 3,2 2,3 1580 1577a Espatulenol 1,4 0,8 1585 1582a Óxido de cariofileno 3,5 2,6 1603 1600a Guaiol 14,2 10,8 1611 1609a Rosifoliol 1,5 1671 1670a Bulnesol 6,6 4,3 Hidrocarbonetos Monoterpênicos 9,5 10,7 Monoterpenos Oxigenados 33,2 48,1 Hidrocarbonetos Sesquiterpênicos 26,2 19,	1422 1417a E-cariofileno 7,1 4,8 6,3 1435 1434a γ-Elemeno 2,1 1,5 2,3 1455 1452a α-Humuleno 1,9 1,3 1,7 1462 1464a 9-epi-E-cariofileno 0,2 0,1 0,3 1483 1478a γ-Muuroleno 5,3 4,2 6,4 1498 1500a Biciclogermacreno 2,5 1,8 2,4 1516 1522a δ-Cadineno 0,3 0,3 0,3 1551 1548a Elemol 2,2 1,6 1,6 1559 1559a Germacreno B 3,2 2,3 3,5 1580 1577a Espatulenol 1,4 0,8 0,9 1585 1582a Óxido de cariofileno 3,5 2,6 2,9 1603 1600a Guaiol 14,2 10,8 13,4 1611 1609a Rosifoliol 1,5 1,4 1671 1670a Bulnesol 6,6 4,3 4,9 Hidroc	1422 1417a E-cariofileno 7,1 4,8 6,3 6,0 1435 1434a γ-Elemeno 2,1 1,5 2,3 2,1 1455 1452a α-Humuleno 1,9 1,3 1,7 1,6 1462 1464a 9-epi-E-cariofileno 0,2 0,1 0,3 0,2 1483 1478a γ-Muuroleno 5,3 4,2 6,4 6,1 1498 1500a Biciclogermacreno 2,5 1,8 2,4 2,4 1516 1522a δ-Cadineno 0,3 0,3 0,3 0,3 1551 1548a Elemol 2,2 1,6 1,6 2,3 1559 1559a Germacreno B 3,2 2,3 3,5 3,2 1580 1577a Espatulenol 1,4 0,8 0,9 1,0 1585 1582a Óxido de cariofileno 3,5 2,6 2,9 3,1 1603 1600a Rosifoliol 1,5 1,4 1,4 1671 1670a Bulnesol	1422 1417a E-cariofileno 7,1 4,8 6,3 6,0 4,8 1435 1434a γ-Elemeno 2,1 1,5 2,3 2,1 1,7 1455 1452a α-Humuleno 1,9 1,3 1,7 1,6 1,3 1462 1464a 9-epi-E-cariofileno 0,2 0,1 0,3 0,2 0,1 1483 1478a γ-Muuroleno 5,3 4,2 6,4 6,1 5,2 1498 1500a Biciclogermacreno 2,5 1,8 2,4 2,4 1,8 1516 1522a δ-Cadineno 0,3 0,3 0,3 0,3 0,3 0,3 1551 1548a Elemol 2,2 1,6 1,6 2,3 2,3 1559 1559a Germacreno B 3,2 2,3 3,5 3,2 2,6 1580 1577a Espatulenol 1,4 0,8 0,9 1,0 0,8 1585 1582a Óxido de cariofíleno 3,5 2,6 2,9 3,1 2,2 <	1422 1417a E-cariofileno 7,1 4,8 6,3 6,0 4,8 4,6 1435 1434a γ-Elemeno 2,1 1,5 2,3 2,1 1,7 1,5 1455 1452a α-Humuleno 1,9 1,3 1,7 1,6 1,3 1,3 1462 1464a 9-epi-E-cariofileno 0,2 0,1 0,3 0,2 0,1 0,2 1483 1478a γ-Muuroleno 5,3 4,2 6,4 6,1 5,2 4,6 1498 1500a Biciclogermacreno 2,5 1,8 2,4 2,4 1,8 1,6 1516 1522a δ-Cadineno 0,3 0,3 0,3 0,3 0,3 0,3 0,3 0,4 1551 1548a Elemol 2,2 1,6 1,6 2,3 2,3 1,9 1559 Germacreno B 3,2 2,3 3,5 3,2 2,6 2,4 1580 1577a Espatulenol 1,4 0,8 0,9 1,0 0,8 1,7 <td>1422 1417a E-cariofileno 7,1 4,8 6,3 6,0 4,8 4,6 6,6 1435 1434a γ-Elemeno 2,1 1,5 2,3 2,1 1,7 1,5 2,2 1455 1452a α-Humuleno 1,9 1,3 1,7 1,6 1,3 1,3 1,9 1462 1464a 9-epi-E-cariofileno 0,2 0,1 0,3 0,2 0,1 0,2 0,3 1483 1478a γ-Muuroleno 5,3 4,2 6,4 6,1 5,2 4,6 6,9 1498 1500a Biciclogermacreno 2,5 1,8 2,4 2,4 1,8 1,6 2,4 1516 1522a δ-Cadineno 0,3 0,3 0,3 0,3 0,3 0,3 0,4 0,3 1551 1548a Elemol 2,2 1,6 1,6 2,3 2,3 1,9 1,9 1559 1559a Germacreno B <td< td=""><td>1422 1417a E-cariofileno 7,1 4,8 6,3 6,0 4,8 4,6 6,6 4,7 1435 1434a γ-Elemeno 2,1 1,5 2,3 2,1 1,7 1,5 2,2 1,6 1455 1452a α-Humuleno 1,9 1,3 1,7 1,6 1,3 1,3 1,9 1,3 1462 1464a 9-epi-E-cariofileno 0,2 0,1 0,3 0,2 0,1 0,2 0,3 0,1 1483 1478a γ-Muuroleno 5,3 4,2 6,4 6,1 5,2 4,6 6,9 5,2 1498 1500a Biciclogermacreno 2,5 1,8 2,4 2,4 1,8 1,6 2,4 1,8 1516 1522a δ-Cadineno 0,3 0,3 0,3 0,3 0,3 0,3 0,3 0,3 0,3 0,3 0,3 0,3 0,3 0,3 0,3 0,3 0,3 0,3</td><td>1422 1417a E-cariofileno 7,1 4,8 6,3 6,0 4,8 4,6 6,6 4,7 7,5 1435 1434a γ-Elemeno 2,1 1,5 2,3 2,1 1,7 1,5 2,2 1,6 2,1 1455 1452a α-Humuleno 1,9 1,3 1,7 1,6 1,3 1,9 1,3 2,0 1462 1464a 9-epi-E-cariofileno 0,2 0,1 0,3 0,2 0,1 0,2 0,3 0,1 0,3 1483 1478a γ-Muuroleno 5,3 4,2 6,4 6,1 5,2 4,6 6,9 5,2 6,0 1498 1500a Biciclogermacreno 2,5 1,8 2,4 2,4 1,8 1,6 2,4 1,8 2,2 1,6 1516 1522a δ-Cadineno 0,3 0,3 0,3 0,3 0,3 0,4 0,3 0,3 0,3 1559 159a</td><td>1422 1417a E-cariofileno 7,1 4,8 6,3 6,0 4,8 4,6 6,6 4,7 7,5 7,7 1435 1434a γ-Elemeno 2,1 1,5 2,3 2,1 1,7 1,5 2,2 1,6 2,1 1.8 1455 1452a α-Humuleno 1,9 1,3 1,7 1,6 1,3 1,9 1,3 2,0 2.0 1462 1464a 9-epi-E-cariofileno 0,2 0,1 0,3 0,2 0,1 0,2 0,3 0,1 0,3 0,2 1483 1478a γ-Muuroleno 5,3 4,2 6,4 6,1 5,2 4,6 6,9 5,2 6,0 5,2 1498 1500a Biciclogermacreno 2,5 1,8 2,4 2,4 1,8 1,6 6,9 5,2 6,0 5,2 1,0 1,1 1,1 1,1 1,1 1,1 1,1 1,1 1,1 1,1 1,1</td><td>1422 1417a E-cariofileno 7,1 4,8 6,3 6,0 4,8 4,6 6,6 4,7 7,5 7,7 9,0 1435 1434a γ-Elemeno 2,1 1,5 2,3 2,1 1,7 1,5 2,2 1,6 2,1 1.8 2.3 1455 1452a α-Humuleno 1,9 1,3 1,7 1,6 1,3 1,9 1,3 2,0 2.2 1462 1464a 9-epi-E-cariofileno 0,2 0,1 0,3 0,2 0,1 0,2 0,3 0,1 0,3 0,2 0,2 1483 1478a γ-Muuroleno 5,3 4,2 6,4 6,1 5,2 4,6 6,9 5,2 6,0 5,2 3.8 1498 1500a Biciclogermacreno 2,5 1,8 2,4 2,4 1,8 1,6 2,4 1,8 2,2 2,0 2.8 15151 1548a Elemol 2,2 1,6</td></td<></td>	1422 1417a E-cariofileno 7,1 4,8 6,3 6,0 4,8 4,6 6,6 1435 1434a γ-Elemeno 2,1 1,5 2,3 2,1 1,7 1,5 2,2 1455 1452a α-Humuleno 1,9 1,3 1,7 1,6 1,3 1,3 1,9 1462 1464a 9-epi-E-cariofileno 0,2 0,1 0,3 0,2 0,1 0,2 0,3 1483 1478a γ-Muuroleno 5,3 4,2 6,4 6,1 5,2 4,6 6,9 1498 1500a Biciclogermacreno 2,5 1,8 2,4 2,4 1,8 1,6 2,4 1516 1522a δ-Cadineno 0,3 0,3 0,3 0,3 0,3 0,3 0,4 0,3 1551 1548a Elemol 2,2 1,6 1,6 2,3 2,3 1,9 1,9 1559 1559a Germacreno B <td< td=""><td>1422 1417a E-cariofileno 7,1 4,8 6,3 6,0 4,8 4,6 6,6 4,7 1435 1434a γ-Elemeno 2,1 1,5 2,3 2,1 1,7 1,5 2,2 1,6 1455 1452a α-Humuleno 1,9 1,3 1,7 1,6 1,3 1,3 1,9 1,3 1462 1464a 9-epi-E-cariofileno 0,2 0,1 0,3 0,2 0,1 0,2 0,3 0,1 1483 1478a γ-Muuroleno 5,3 4,2 6,4 6,1 5,2 4,6 6,9 5,2 1498 1500a Biciclogermacreno 2,5 1,8 2,4 2,4 1,8 1,6 2,4 1,8 1516 1522a δ-Cadineno 0,3 0,3 0,3 0,3 0,3 0,3 0,3 0,3 0,3 0,3 0,3 0,3 0,3 0,3 0,3 0,3 0,3 0,3</td><td>1422 1417a E-cariofileno 7,1 4,8 6,3 6,0 4,8 4,6 6,6 4,7 7,5 1435 1434a γ-Elemeno 2,1 1,5 2,3 2,1 1,7 1,5 2,2 1,6 2,1 1455 1452a α-Humuleno 1,9 1,3 1,7 1,6 1,3 1,9 1,3 2,0 1462 1464a 9-epi-E-cariofileno 0,2 0,1 0,3 0,2 0,1 0,2 0,3 0,1 0,3 1483 1478a γ-Muuroleno 5,3 4,2 6,4 6,1 5,2 4,6 6,9 5,2 6,0 1498 1500a Biciclogermacreno 2,5 1,8 2,4 2,4 1,8 1,6 2,4 1,8 2,2 1,6 1516 1522a δ-Cadineno 0,3 0,3 0,3 0,3 0,3 0,4 0,3 0,3 0,3 1559 159a</td><td>1422 1417a E-cariofileno 7,1 4,8 6,3 6,0 4,8 4,6 6,6 4,7 7,5 7,7 1435 1434a γ-Elemeno 2,1 1,5 2,3 2,1 1,7 1,5 2,2 1,6 2,1 1.8 1455 1452a α-Humuleno 1,9 1,3 1,7 1,6 1,3 1,9 1,3 2,0 2.0 1462 1464a 9-epi-E-cariofileno 0,2 0,1 0,3 0,2 0,1 0,2 0,3 0,1 0,3 0,2 1483 1478a γ-Muuroleno 5,3 4,2 6,4 6,1 5,2 4,6 6,9 5,2 6,0 5,2 1498 1500a Biciclogermacreno 2,5 1,8 2,4 2,4 1,8 1,6 6,9 5,2 6,0 5,2 1,0 1,1 1,1 1,1 1,1 1,1 1,1 1,1 1,1 1,1 1,1</td><td>1422 1417a E-cariofileno 7,1 4,8 6,3 6,0 4,8 4,6 6,6 4,7 7,5 7,7 9,0 1435 1434a γ-Elemeno 2,1 1,5 2,3 2,1 1,7 1,5 2,2 1,6 2,1 1.8 2.3 1455 1452a α-Humuleno 1,9 1,3 1,7 1,6 1,3 1,9 1,3 2,0 2.2 1462 1464a 9-epi-E-cariofileno 0,2 0,1 0,3 0,2 0,1 0,2 0,3 0,1 0,3 0,2 0,2 1483 1478a γ-Muuroleno 5,3 4,2 6,4 6,1 5,2 4,6 6,9 5,2 6,0 5,2 3.8 1498 1500a Biciclogermacreno 2,5 1,8 2,4 2,4 1,8 1,6 2,4 1,8 2,2 2,0 2.8 15151 1548a Elemol 2,2 1,6</td></td<>	1422 1417a E-cariofileno 7,1 4,8 6,3 6,0 4,8 4,6 6,6 4,7 1435 1434a γ-Elemeno 2,1 1,5 2,3 2,1 1,7 1,5 2,2 1,6 1455 1452a α-Humuleno 1,9 1,3 1,7 1,6 1,3 1,3 1,9 1,3 1462 1464a 9-epi-E-cariofileno 0,2 0,1 0,3 0,2 0,1 0,2 0,3 0,1 1483 1478a γ-Muuroleno 5,3 4,2 6,4 6,1 5,2 4,6 6,9 5,2 1498 1500a Biciclogermacreno 2,5 1,8 2,4 2,4 1,8 1,6 2,4 1,8 1516 1522a δ-Cadineno 0,3 0,3 0,3 0,3 0,3 0,3 0,3 0,3 0,3 0,3 0,3 0,3 0,3 0,3 0,3 0,3 0,3 0,3	1422 1417a E-cariofileno 7,1 4,8 6,3 6,0 4,8 4,6 6,6 4,7 7,5 1435 1434a γ-Elemeno 2,1 1,5 2,3 2,1 1,7 1,5 2,2 1,6 2,1 1455 1452a α-Humuleno 1,9 1,3 1,7 1,6 1,3 1,9 1,3 2,0 1462 1464a 9-epi-E-cariofileno 0,2 0,1 0,3 0,2 0,1 0,2 0,3 0,1 0,3 1483 1478a γ-Muuroleno 5,3 4,2 6,4 6,1 5,2 4,6 6,9 5,2 6,0 1498 1500a Biciclogermacreno 2,5 1,8 2,4 2,4 1,8 1,6 2,4 1,8 2,2 1,6 1516 1522a δ-Cadineno 0,3 0,3 0,3 0,3 0,3 0,4 0,3 0,3 0,3 1559 159a	1422 1417a E-cariofileno 7,1 4,8 6,3 6,0 4,8 4,6 6,6 4,7 7,5 7,7 1435 1434a γ-Elemeno 2,1 1,5 2,3 2,1 1,7 1,5 2,2 1,6 2,1 1.8 1455 1452a α-Humuleno 1,9 1,3 1,7 1,6 1,3 1,9 1,3 2,0 2.0 1462 1464a 9-epi-E-cariofileno 0,2 0,1 0,3 0,2 0,1 0,2 0,3 0,1 0,3 0,2 1483 1478a γ-Muuroleno 5,3 4,2 6,4 6,1 5,2 4,6 6,9 5,2 6,0 5,2 1498 1500a Biciclogermacreno 2,5 1,8 2,4 2,4 1,8 1,6 6,9 5,2 6,0 5,2 1,0 1,1 1,1 1,1 1,1 1,1 1,1 1,1 1,1 1,1 1,1	1422 1417a E-cariofileno 7,1 4,8 6,3 6,0 4,8 4,6 6,6 4,7 7,5 7,7 9,0 1435 1434a γ-Elemeno 2,1 1,5 2,3 2,1 1,7 1,5 2,2 1,6 2,1 1.8 2.3 1455 1452a α-Humuleno 1,9 1,3 1,7 1,6 1,3 1,9 1,3 2,0 2.2 1462 1464a 9-epi-E-cariofileno 0,2 0,1 0,3 0,2 0,1 0,2 0,3 0,1 0,3 0,2 0,2 1483 1478a γ-Muuroleno 5,3 4,2 6,4 6,1 5,2 4,6 6,9 5,2 6,0 5,2 3.8 1498 1500a Biciclogermacreno 2,5 1,8 2,4 2,4 1,8 1,6 2,4 1,8 2,2 2,0 2.8 15151 1548a Elemol 2,2 1,6

RI_(C) = Índice de retenção calculado; RI_(L)= índice de retenção de literatura; a = Adams (2007); Principais constituintes em negrito; O desvio padrão foi inferior a 2,0 (n = 2).

Os constituintes químicos que se correlacionaram significativamente com os fatores climáticos foram a *trans*-Pinocanfona, que apresentou correlação negativa com a insolação (r = -0.54) e o β -Pineno, que apresentou correlação positiva com a temperatura (0.51). Entretanto, alguns constituintes se correlacionaram com os parâmetros climáticos sem significância (p < 0.05). Além disso, a classe de hidrocarbonetos monoterpênicos apresentou correlação positiva com a umidade (r = 0.53), e a classe de hidrocarbonetos sesquiterpênicos apresentou correlação negativa com a umidade (r = -0.32) e correlação positiva com a insolação (r = 0.48) (Figura 5).

Durante o estudo sazonal, foram observadas variações nas quantidades dos principais constituintes ao longo das estações. Na estação chuvosa, a *trans*-Pinocanfona apresentou os maiores teores de 15,0%, enquanto na estação seca esse valor foi reduzido para 12,5%. Por outro lado, o Guaiol apresentou uma concentração de 10,8% na estação chuvosa e aumentou para 12,4% na estação seca. O acetato de trans-Pinocarvila apresentou teores de 8,1% na estação chuvosa e 7,6% na estação seca. A *cis*-Pinocanfona variou de 6,9% na estação chuvosa para 6,3% na estação seca. O *E*-Cariofileno aumentou os teores de 5,4% na estação chuvosa para 7,6% na estação seca. Em contraste, o β-pineno registrou as maiores quantidades na estação chuvosa (4,8%), enquanto na estação seca, um nível menor foi observado (3,4%).

Ainda há informações limitadas disponíveis sobre os mecanismos por trás da influência de fatores ambientais nas emissões de terpenos. Estudos mostram que a temperatura, a pressão de vapor dos terpenos, a umidade do ar ao redor da folha e a área de exposição aos óleos essenciais estão envolvidas na liberação passiva de terpenos constitutivos, de maneira frequentemente independente da abertura estomática. Além disso, a emissão de monoterpenos também pode ser influenciada por estresse térmico/estresse por calor, quando as plantas são expostas a altas temperaturas que afetam alguns processos fisiológicos. Devido ao estresse por calor, os estômatos se abrem e os monoterpenos provavelmente são liberados na atmosfera imediatamente após sua síntese a partir de tecidos não estocáveis (MALIK et al., 2023)

4.3. Analise multivariada do óleo essencial de Aloysia oblanceolata

Análise hierárquica de cluster (HCA) e análise de componentes principais (PCA) foram plotados com os principais constituintes do óleo essencial acima de 3%. Aplicando análise hierárquica de cluster (HCA) (figura 7), forneceu o dendrograma mostrado na Figura 6, que apresenta a formação de três grupos e sem similaridade dos constituintes voláteis do óleo essencial de *Aloysia oblanceolata*. O Grupo I foi composto pelos óleos de abril, junho, março e dezembro com uma similaridade de 52,65%. O Grupo II apresentou uma similaridade de 36,82% e as amostras para formação dos grupos foram as de outubro e setembro. Enquanto o

grupo III apresentou uma similaridade de 34,68% que foram representadas pelas amostras de janeiro, agosto, julho, maio, fevereiro e novembro.

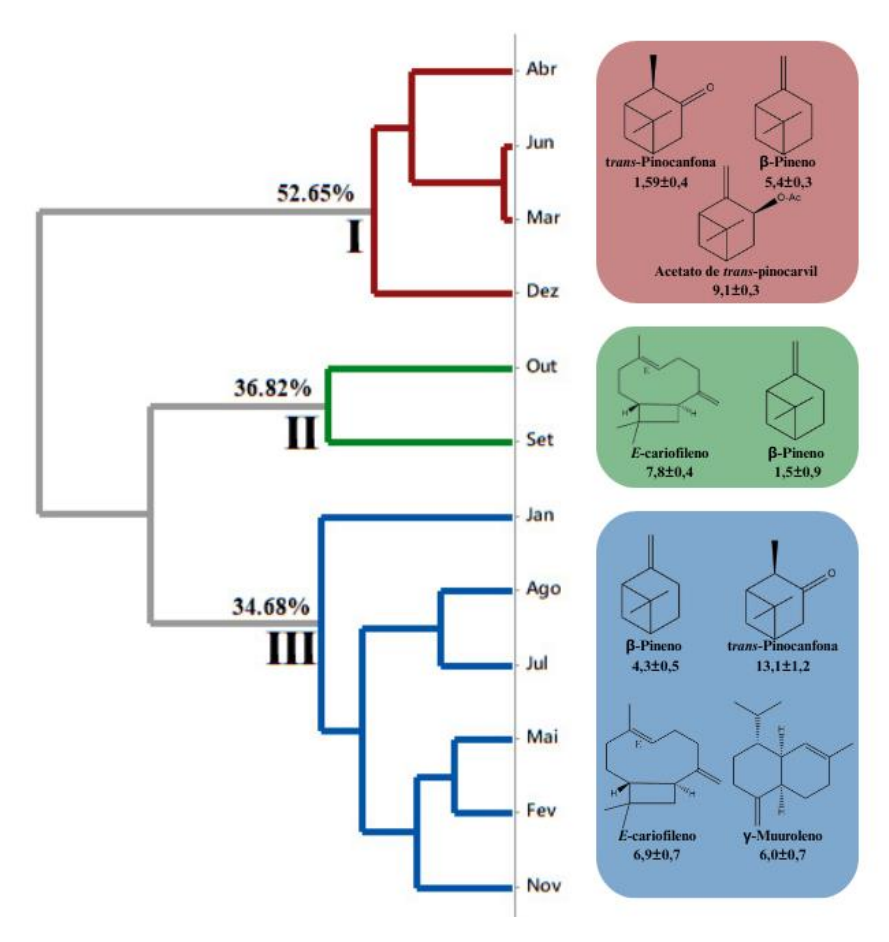


Figura 7. Análise hierárquica de cluster dos principais constituintes do óleo essencial de *Aloysia oblanceolata*

Na análise sazonal da composição química do óleo essencial, observou-se variação na concentração dos principais constituintes ao longo dos períodos seco e chuvoso. O *trans* acetato de pinocarvila foi o componente predominante do grupo I $(9,1\pm0,3\%)$, enquanto o *E*-cariofileno foi o principal constituinte do grupo II $(7,8\pm1,6\%)$ e o *trans*-Pinocanfona $(13,1\pm1,2\%)$ no grupo III.

Esses resultados indicam uma mudança na sazonalidade da composição química do óleo essencial, possivelmente influenciada por fatores ambientais e pelo desenvolvimento da planta. A Análise de Componentes Principais (PCA, Figura 8) dos constituintes do óleo essencial de *Aloysia oblanceolata* elucidou 87,92% da variabilidade dos dados. Assim como a HCA, a análise de PCA confirmou a formação de três grupos distintos.

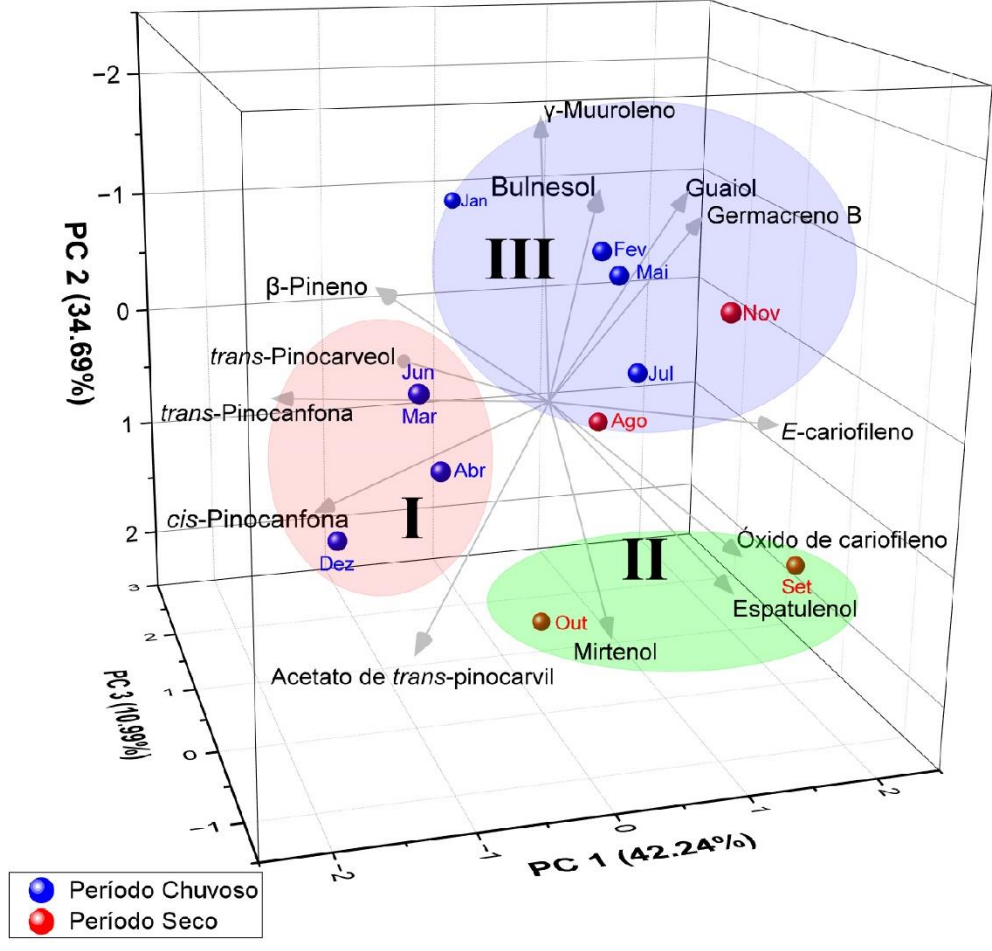


Figura 8. Análise hierárquica de cluster dos principais constituintes do óleo essencial de Aloysia oblanceolata

A análise dos teores médios e desvios-padrão dos constituintes presentes no OEAo (Figura 9) mostrou que. O Grupo II diferiu dos outros grupos em termos de conteúdo de β-pineno ($I = 4,3 \pm 0,5\%$; $II = 5,2 \pm 0,3\%$; $III = 1,6 \pm 0,9\%$), *trans*-Pinocanfone ($I = 13,1 \pm 1,2\%$; $II = 15,9 \pm 0,4\%$; $III = 12,5 \pm 2,1\%$) e conteúdo de *E*-cariofileno ($I = 6,9 \pm 0,7\%$; $II = 4,7 \pm 0,1\%$; $III = 7,9 \pm 1,6\%$). Além disso, o Grupo III diferiu dos outros grupos em termos de conteúdo de β-pineno ($I = 4,3 \pm 0,5\%$; $II = 5,2 \pm 0,3\%$; $III = 1,6 \pm 0,9\%$).

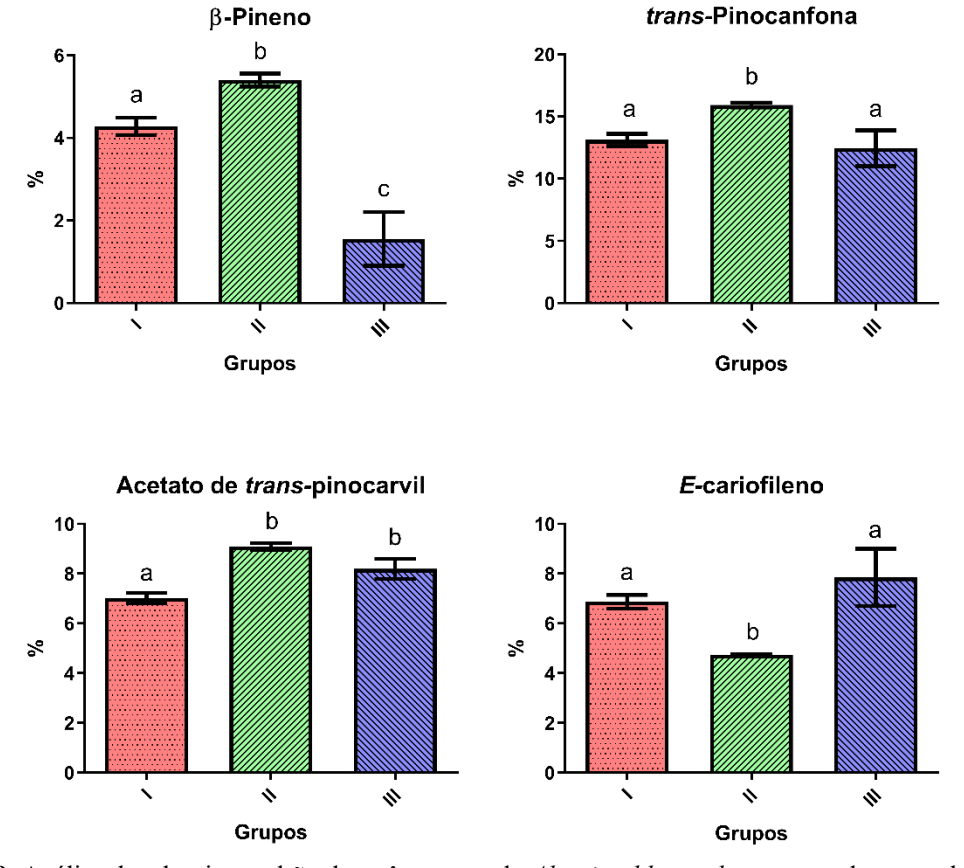


Figura 9. Análise dos desvios-padrão dos três grupos de *Aloysia oblanceolata* no estudo sazonal. Média ± desvio-padrão. Valores com as mesmas letras nas barras não diferem estatisticamente no teste de Tukey (p > 0,05).

Aplicando a análise multivariada com o mapa de calor, combinando a análise de agrupamento hierárquico (Figura 10) com os constituintes químicos, o padrão de cor variou com intensidade gradualmente crescente, indicando do menor ao maior grau. O mapa de calor agrupado (Figura 10) confirmou os resultados de agrupamento obtidos em PCA e HCA (ver Figuras 8 e 9).

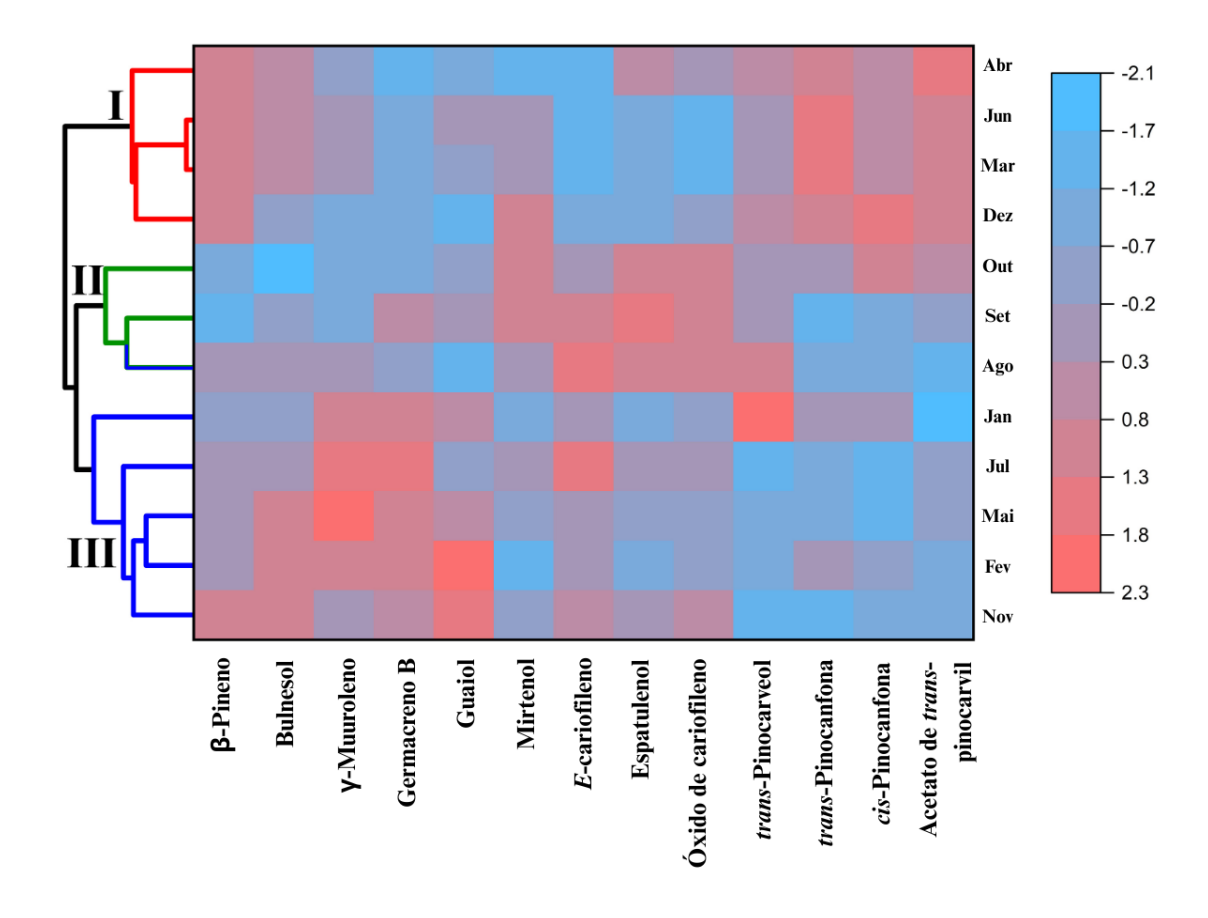


Figura 10. Mapa de calor de agrupamento com os constituintes dos óleos essenciais de amostras de *Aloysia oblanceolata*.

4.4. Efeitos da toxicidade oral aguda

O tratamento com OEAo, nas doses de 300 e 2.000 mg/kg, não exibiu mudanças nos padrões de comportamento ou mortalidade dos animais. O óleo pode ser classificado como categoria 5, apresentando doses letais (LD50) entre 2.000 e 5.000 mg/kg e baixa toxicidade aguda (OECD, 2002). Outro parâmetro de toxicidade avaliado foi o peso relativo dos órgãos. Não foram observadas diferenças nos pesos relativos dos órgãos dos animais que foram tratados com o OE em comparação ao grupo controle (Tabela 3).

Tabela 3. Peso relativo dos principais órgãos de camundongos tratados com óleo e controle grupo

Cmmo	Peso relativo dos órgãos				
Grupo -	Fígado	Coração	Baço	Rim	Pulmão
Controle	14,82±0,34 ^a	$1,31\pm0,04^{b}$	$1,37\pm0,10^{c}$	$2,51\pm0,09^{d}$	$1,37\pm0,10^{e}$
OEAo 300 mg/kg	$13,81\pm0,13^{a}$	$1,31\pm0,03^{b}$	$1,46\pm0,05^{c}$	$2,73\pm0,09^{d}$	$1,46\pm0,05^{e}$
OEAo 2000 mg/kg	$13,89\pm0,31^{a}$	$1,18\pm0,03^{b}$	$1,14\pm0,05^{c}$	$2,36\pm0,03^{d}$	$1,14\pm0,05^{e}$

Cada coluna representa a média ± SEM (erro padrão da média), de 5 animais. Valores com as mesmas letras nas barras não foram considerados estatisticamente significativos quando comparados ao controle.

No estudo da avaliação da toxicidade de substâncias, destaca-se a análise da função do figado e do rim. Esses órgãos, são essenciais para desintoxicar e excretar substâncias do corpo.

Dessa forma, a avaliação de parâmetros bioquímicos por meio da análise de enzimas hepática como ALP (Fosfatase Alcalina), TGO (Transaminase Oxalacética) e TGP (Transaminase Pirúvica), e das renais, ureia e creatinina, são de extrema importância para a triagem de novos drogas e substâncias (AMADI et al., 2019).

Os níveis das enzimas ALP, TGO e TGP são mostrados na tabela 4. Com relação a ALP, não houve um aumento significativo dos níveis dessa enzima, nas doses de 300 e 2000 mg/kg quando comparado ao grupo controle (P<0.05). Não houve diferença nos demais parâmetros analisados. O aumento da atividade dessa enzima na faixa de dois a três vezes pode ser considerado indicativo de doença hepatocelular irreversível, enquanto o aumento de uma a duas vezes, como nos resultados de neste estudo, indicam dano hepatocelular reversível. Além disso mudanças acentuadas nos níveis de ALP durante o tratamento medicamentoso não devem ser automaticamente consideradas como o surgimento de implicações toxicológicas de referência (HALL et al., 2012).

Tabela 4. Parâmetros bioquímicos de camundongos tratados com óleo de *Aloysia oblanceolata* e grupo controle

Grupo	Parân	netros hepáticos	(U/L)	Parâmetros Renais (mg/dL)	
	ALP	TGO	TGP	Ureia	Creatinina
Controle	416,8±67,7 ^a	$361,6\pm110,5^{b}$	89,6±35,8°	$64,8\pm4,3^{d}$	$0,2\pm0,1^{e}$
OEAo 300 mg/kg	$535,4\pm86,8^{a}$	$319,6\pm150,2^{b}$	$114,6\pm86,6^{c}$	$71,8\pm9,6^{d}$	$0,2\pm0,1^{e}$
OEAo 2000 mg/kg	575±67,7*	$369\pm65,6^{b}$	$87,4\pm17,5^{c}$	$66,8\pm8,1^{d}$	$0,2\pm0,0^{e}$

Cada coluna representa a média ± SEM (erro padrão da média) de 5 animais; não apresentou diferença estatisticamente significativo quando comparado ao grupo controle p<0,05;

4.4.1. Efeitos do óleo essencial de Aloysia oblanceolata sobre parâmetros de estresse oxidativo no teste de toxicidade oral aguda

Não houve diferença significativa nas concentrações de peroxidação lipídica e de nitrito no rim e figado de animais tratados com as doses de OEAo quando comparados ao controle (p>0,05). Resultado similar foi observado para a atividade da catalase no figado dos animais. Entretanto, a dose de 300 mg/kg do OEAo aumentou significativamente a atividade da catalase no rim, quando comparada ao grupo controle (p<0,05). A dose de 2000 mg/kg do óleo essencial não alterou a atividade da catalase nesse órgão.

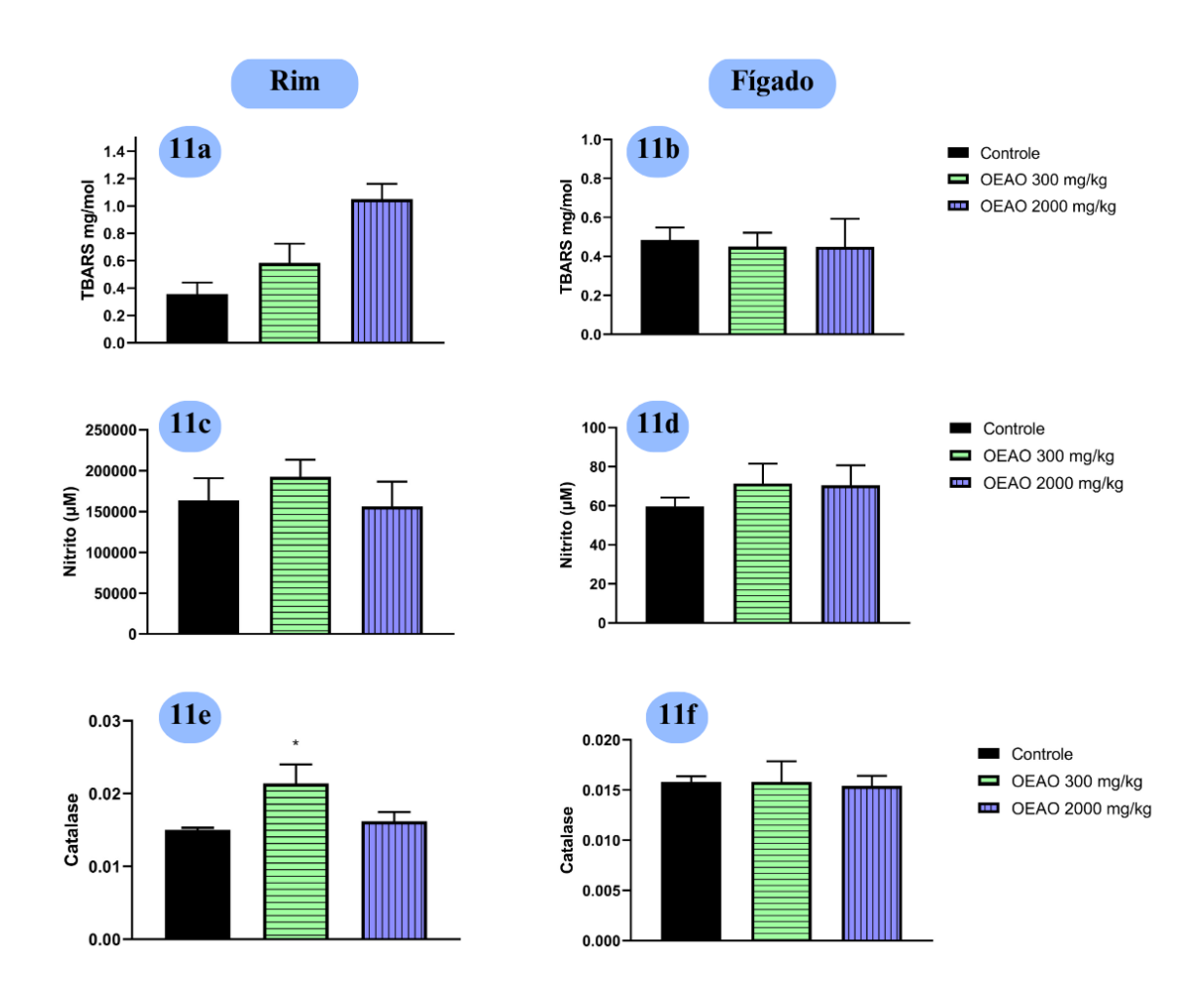


Figura 11. Efeitos do tratamento com o óleo essencial de *Aloysia oblonceolata* (300 e 200 mg/kg) sobre a peroxidação lipídica (11a e 11b), níveis de nitrito (11c e 11d) e a atividade de catalase (11e e 11f) em tecidos de rim e fígado de camundongos machos. Os valores são expressos como média ± erro padrão, n= 5 animais por grupo. * p<0,05 quando comparados ao grupo controle. ANOVA de uma via, seguida de pós-teste de Tukey.

O rim é um órgão essencial para a remoção de resíduos e regulação de eletrólitos e o fígado para o metabolismo, digestão, desintoxicação e excreção de substâncias do organismo (ABDELKADER et al., 2020; BARIWENI; YIBALA; OZOLUA, 2018). Portanto, desempenham um papel vital na manutenção, desempenho e regulação da homeostase do corpo. Nesse sentido, se submetidos a exposição de substâncias tóxicas podem apresentar perda de função, causando desorganização celular ou morte celular. Uma das principais vias de danos ocasionadas por substâncias tóxicas a esses órgãos é o estresse oxidativo (AINYANBHOR et al., 2024; QURESHI; RAZZAQ; NAZ, 2024).

O estresse oxidativo caracteriza-se pelo desbalanço entre o aumento da produção de espécies reativas de oxigênio (EROS) e a diminuição da capacidade antioxidante (ASHRAF et al., 2020; CAO et al., 2021; DAVID et al., 2022). O excesso de EROS ao provocar a oxidação de lipídios, principalmente, a ácidos graxos poliinsaturados, gera um evento denominado de

peroxidação lipídica, produzindo como produto o malondialdeído (MDA) (PEÑA-BAUTISTA et al., 2019). Este pode ser avaliado por meio da técnica de substâncias que reagem ao ácido tiobarbitúrico (TBRAS). Nesse estudo, a administração do OEAo não afetou as concentrações de TBARS no rim e figado dos animais quando comparados ao grupo controle. Isto indicando que o óleo essencial não induz peroxidação lipídica (figura 11a e 11b).

Outra cascata importante de produção de EROs é o metabolismo de arginina pela sintase de óxido nítrico (NOS) gerando óxido nítrico (NO). O NO pode reagir com o anion superóxido e consequentemente, formar o peroxinitrito (ONOO¯). O ONOO¯ e o H₂O₂ podem ser biotransformados em radical hidroxila, compostos altamente reativos (GHASEMI, 2019; HALLIWELL, 2012). O metabolismo oxidativo do NO é o nitrito e o aumento de sua concentração pode ser indicativo de estresse oxidativo (OKAMOTO et al., 2022). Não foram observados diferença nos níveis de nitrito no figado e rim de animais tratados com o OEAo quando comparados aos animais do grupo controle (figura 11c e 11d). Esse resultado pode indicar que o óleo essencial não induz estresse oxidativo pela via do NO.

Fisiologicamente, as EROs são neutralizadas pelo sistema antioxidante endógeno não enzimático (conteúdo de glutationa – GSH) ou enzimática, sendo composto pelas enzimas superóxido dismutase (SOD), glutationa peroxidase (GPx) e principalmente, a catalase (CAT) que em conjunto agem reduzindo a oxidação molecular (HALLIWELL, 1992). A SOD dismuta o aníon superóxido à peróxido de hidrogênio. A catalase é a segunda enzima antioxidante, convertendo o peróxido de hidrogênio em água e oxigênio. A administração do OEAo aumentou a atividade da catalase no rim dos animais tratados com a dose de 300 mg/kg., indicando ação antioxidante (figura 11e e 11f). Tomados em conjuntos, esses resultados podem sugerir que o tratamento com o óleo essência de *Aloysia oblanceolata* apresenta atividade antioxidante protetora e não induz peroxidação lipídica no rim e figado dos animais.

4.5. Efeitos analgésico periférico do OEAo no teste de contorções abdominais induzidas por ácido acético

O ácido acético administrado intraperitoneal ataca as membranas serosas e estimula a liberação de substâncias inflamatórias, como histamina, prostaglandinas e citocinas pró-inflamatórias, causando assim a sensação de dor (contorções) em camundongos submetidos ao teste (DANTAS et al., 2020; DE LIMA et al., 2023). O teste de contorções induzidas por ácido acético avaliou a inibição da estimulação química da dor periférica. Nos animais, a dor é apresentada como contorções abdominais, quanto menor o número de contorções abdominais, maior será a atividade antinociceptiva periférica (DA FONSECA et al., 2021).

Portanto, foram adotados testes de antinocicepção, nas doses de 25, 50 e 100 mg/kg. Foi possível verificar, na Figura 12, uma redução de 23,99% nas contorções no grupo que receberam a dose de 50 mg/kg do óleo essencial de *Aloysia oblanceolata*, os animais que receberam a dose de 100 mg/kg tiveram uma redução de 41,70% em comparação com grupo controle (p<0,01). Não houve diferença estatística entra o grupo controle e os animais tratados com OEAo (25 mg/kg). Em animais tratados com (indometacina 5 mg/kg), observou-se que o percentual de inibição das contorções foi 76,49% (p<0,01).

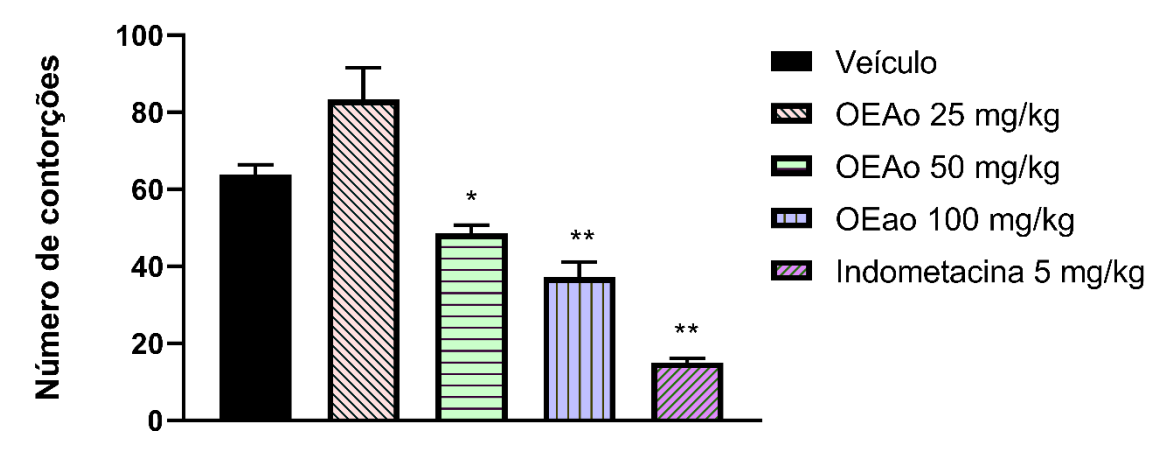


Figura 12. Efeitos antinociceptivos de OEAo (25, 50 e 100 mg/kg), indometacina (5 mg/kg) e veículo (1% tween 80 diluído em solução salina estéril, v/v, 10 mL/kg) no número de contorções na dor visceral causada pelo ácido acético. Os valores representam média ± SEM (erro padrão da média) (n = 6 por grupo). *, **p < 0,01 denota estatística diferença em comparação com ratos tratados com veículo. ANOVA, seguindo o teste de Tukey

4.6. Teste de imersão de cauda

O modelo de nocicepção induzida pelo teste de imersão da cauda foi um dos métodos mais utilizados e muito úteis para definir a atividade antinociceptiva de novos medicamentos e extratos vegetais. O teste de imersão da cauda é um importante avaliador da atividade analgésica central em camundongos ao estudar a potencial atividade antinociceptiva de uma droga podendo distinguir os analgésicos opioides dos analgésicos de ação periféricas (LI et al., 2021; RÁCZ; ZIMMER, 2006).

O OEAo não aumentou de maneira significativa o tempo de latência de retirada de cauda em todos os intervalos estudados quando comprados ao grupo controle (p>0,05). Os animais tratados com OEAo na dose 25 mg/kg nos períodos 30 min (4,40±2,7 s), 60 min (4,13±0,9 s), 90 min (5,51±3,1 s) e 120 minutos (5,43±5,6 s), na dose de 50 mg/kg nos períodos 30 min (3,84±1,6 s), 60 min (3,98±1,5 s), 90 min (3,71±2,0 s) e 120 minutos (5,34±5,5 s) e na dose de 100 mg/kg nos períodos de 30 min (2,59±0,7 s), 60 min (2,14±0,3 s), 90 min (2,43±1,4 s) e 120 minutos (4,22±1,7 s), comparados ao grupo tratado com morfina de 5 mg/kg que apresentou maior tempo de latência nos períodos 30 min (15,0±0,0 s), 60 min (15,0±0,0 s), 90 min

(15,0±0,0 s) e 120 minutos (13,16±4,12 s) e comparados ao grupo controle nos períodos 30 min (2,79±0,96 s), 60 min (3,50±0,76 s), 90 min (2,58±0,76 s) e 120 minutos (2,82±1,77 s). Portanto, é perceptível que as doses de 25, 50 e 100 mg/kg, não apresentou ação relevante do OEAo na atividade analgésica central de camundongos (Figura 13).

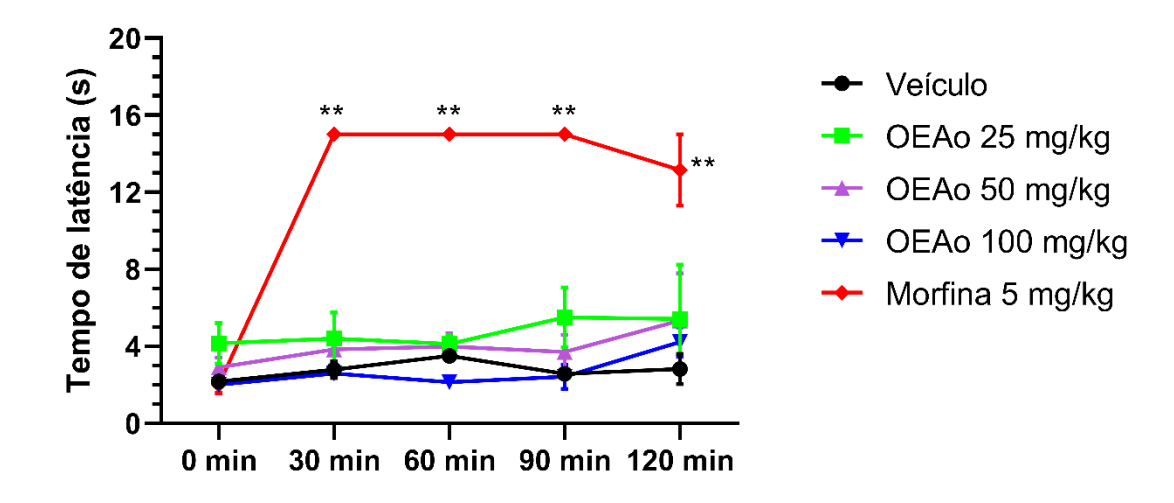


Figura 13. Efeitos antinociceptivos de OEAo (25, 50 e 100 mg/kg), morfina (5 mg/kg) e veículo (1% tween 80 diluído em solução salina estéril, v/v, 10 mL/kg) em tempo de latência dos camundongos à imersão de cauda. Os valores representam média ± SEM (erro padrão da média) (n = 6 por grupo). **p < 0,01 denota diferença estatística em comparação com camundongos tratados com veículo. ANOVA, seguindo teste de Tukey.

4.7. Teste formalina

No teste da formalina, o óleo essencial de *Aloysia oblanceolata* avaliou os efeitos durante as etapas neurogênica e inflamatória, contando o tempo de lambida em segundos durante as fases. A primeira fase que avaliou a dor neurogênica nas doses de 25, 50 e 100 mg/kg de OEAo não diminuiu significativamente o tempo de lambida dos camundongos em relação ao grupo controle (p>0,05), enquanto na segunda fase que avalia dor inflamatória o AoEO diminuiu consideravelmente o tempo de lambida doses de 50 mg/kg (49,52%) e 100 mg/kg (58,47%) (p<0,01) em comparação ao grupo controle. Porém, a morfina (5 mg/kg) diminuiu consideravelmente o tempo de lambida tanto na primeira (78,34%) (p<0,01) quanto na segunda fase (92,37%) (p<0,01) em comparação ao grupo controle, o OEAo apresentou resultados promissores na fase periférica inibindo os mediadores inflamatórios (Figura 14).

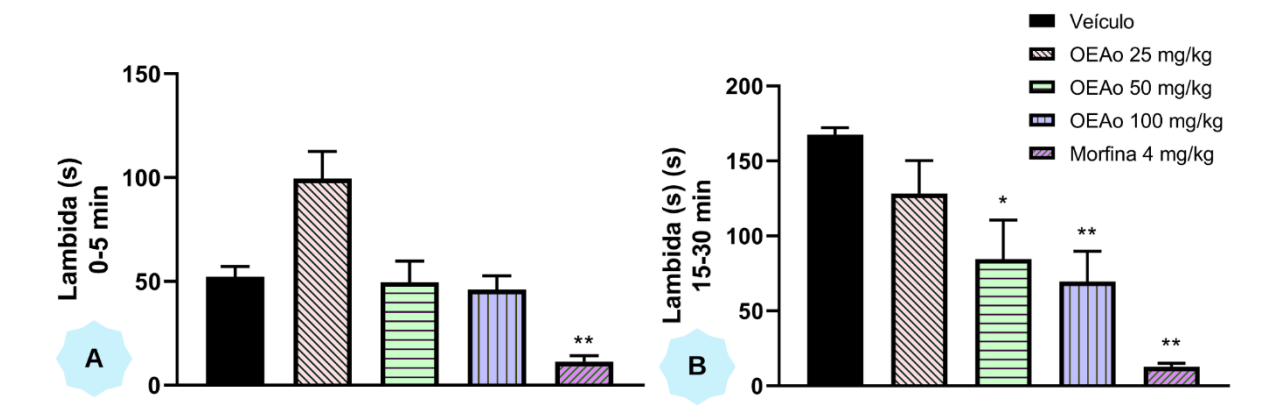


Figura 14. Efeito analgésico central e periférico do OEAo (25, 50 e 100 mg/kg) no teste da formalina em camundongos. A: primeira fase, avalia dor neurogênica; B: segunda fase, avalia dor inflamatória. Cada coluna representa a média ± SEM (erro padrão da média) de 6 animais. **p<0,01 foi considerado estatisticamente significativo quando comparado ao controle (ANOVA, seguida de pós-teste de Tukey).

O teste da formalina é um dos modelos mais utilizados para seleção de compostos antinociceptivos., consiste na injeção de formalina na pata traseira do camundongo, o que produz nocicepção bifásica (GOMES et al., 2007; RAMIREZ et al., 2010). A primeira fase da nocicepção correspondia diretamente à dor neurogênica ocorre no intervalo de 0 a 5 minutos, causada pelos efeitos da formalina nas fibras sensoriais. A segunda fase da nocicepção, também conhecida como fase inflamatória ocorre entre 15 -30 minutos, interligada com o desenvolvimento da reação inflamatória para liberar os mediadores nociceptivos que incluem serotonina, bradicinina e prostaglandinas (DANTAS et al., 2020; REYNOSO et al., 2013).

4.8. Campo Aberto

O teste de campo aberto foi utilizado para a verificar se o tratamento com OEAo (100 mg/kg) poderia alterar a locomoção espontânea dos animais, gerando influência sobre os resultados dos testes antinociceptivos (ALIJAR SOUZA et al., 2022). Os animais tratados com OEAo percorreram uma distância média de 35,7±8,7 m quando comparados ao grupo controle que percorreram 46,7±10,9m. Não houve diferença significativa entre os grupos (p < 0,05) (Figura 15). Esses dados demonstram que o óleo essencial não apresenta interferência na atividade motora dos animais.

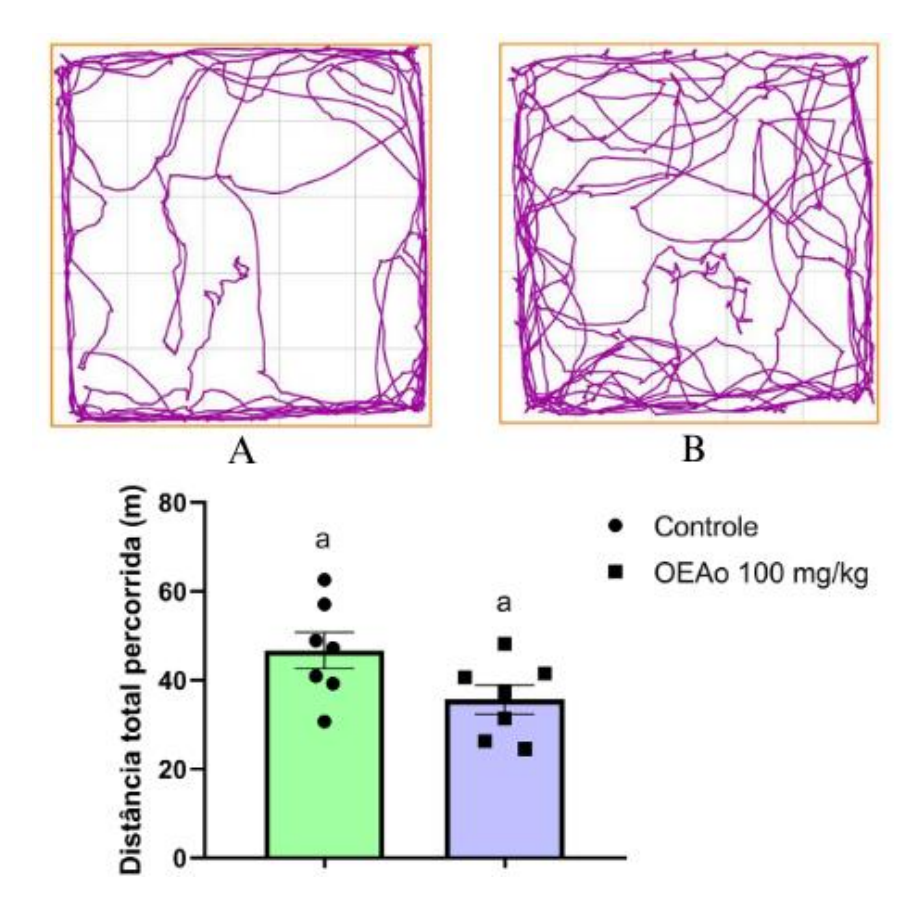


Figura 15. Efeito do OEAo (100 mg/kg) administrado 60 minutos antes, da atividade locomotora de camundongos na distância total percorrida. Cada coluna representa a média \pm SEM ANOVA unidirecional seguida pelo teste de Tukey, a p < 0,05 não apresenta diferença entre os grupos. A: OEAo (100 mg/kg), B: Grupo controle.

4.9. Mecanismos de Ação das Atividade Antinociceptivos

Os opioides são liberados em diversas regiões do SNC como tronco encefálico, medulla espinhal e nas terminações nervosas livres (MALAFOGLIA et al., 2022). Seu principal papel é a inibição da transmissão sináptica em resposta ao estímulo doloroso. Seu mecanismo de ação principal é reduzir a condução pré-sináptica do cálcio, ocasionando a inibição da liberação de neurotransmissores como o glutamate, e consequentemente, aumentando a condutância póssináptica de potássio reduzindo a geração do potencial de ação (FREITAS et al., 2021; SALVEMINI; DOYLE, 2023).

Neste estudo, previsivelmente, a morfina (4 mg/kg) reduziu o número de contorções abdominais (p<0,01) e o pré-tratamento com naloxona (5 mg/kg) bloqueou efetivamente a atividade antinociceptiva da morfina (p<0,01). De forma similar, a naloxona reverteu o efeito antinociceptivo do OEAo (100 mg/kg) (p<0,01). A naloxona adiminstrada isoladamente não alterou o número de contorções quando comparada ao controle (p>0,05). Esses dados indicam que o efeito analgésico do OEAo é mediado pelos receptores opioids (Figura 16a). Diferentemente do que for a encontrado nessa pesquisa, o extrato supercítico de *Aloysia*

oblonceolata, com guaniol como composto em maior teor, não apresentou como mecanismo de ação da atividade antinociceptive, o sistema opióde. Isso pode indicar que o método de extração e a composição geral do extrato são diferentes da encontrada nesse estudo (SOUZA et al., 2021).

Outras vias importantes para os mecanismos de ação da atividade antinociceptive são aquelas envolvidas na inibição descendente da nocicepção, como a via serotoninérgica e a α-2 adrenérgica (GENCER; GUNDUZ; ULUGOL, 2015). Estudos tem demonstrado que a inibição descendente da nocicepção é mediada por neurônios serotoninérgicos que se projetam do tronco encefálico e liberam serotonina na medulla espinhal, tornando essa via extremamente importante para a modulação da dor (BARDONI, 2023; PANCZYK et al., 2015). O OEAo (100 mg/kg) foi eficaz em diminuir o número de contorções abdominais quando comparado ao controle (p<0,05).

Quando o antagonista 5-HT3 Ondansetrona (0,5 mg/kg) foi adiministrado reverteu a ação antinociceptive do OEAo (100 mg/kg) (p<0,01), demonstrando que o receptor serotoninérgico está envolvido nos mecanismos de ação da atividade antinociceptive do OEAo (Figura 16). A ondansetrona adiminstrada isoladamente não alterou o número de contorções abdominais. A ativação dos receptors α2 adrenérgicos também exercem modulação antinociceptiva associada a inibição descendente da dor (MWOBOBIA; KANUI; ABELSON, 2020).

Os receptores α2 adrenérgicos ativam a proteína G que inibi a adenilato ciclase, levando ao efluxo de potássio e supressão das correntes de Ca^{2+.} Esses eventos resultam no impedimento da liberação continuada de susbtância P e do glutamato pelos terminais nervosos, gerando analgesia (BAHARI; MEFTAHI, 2019; PERTOVAARA, 2013). Portanto, quando o antagonista α2 adrenérgico, ioimbina (1 mg/kg) foi administrado nos animais, reverteu a ação antinociceptiva do OEAo (100 mg/kg) (p<0,05), sugerindo que o efeito do óleo essencial tenha ação por via adrenérgica. Já em relação ao sistema dopaminérgico, os receptores D2, D3 e D4 podem ativar os canais de potássio, gerando carcaterísticas antinociceptivas (MANSIKKA et al., 2005).

O controle da excitabilidade neuronal é exercido pelos canais de potássio, ao controlarem o potencial de repouso das células neuronais e a recuperação da voltage após um potencial de ação. Sua ativação ocasiona um efluxo de potássio, gerando uma hiperpolarização e redução da geração de potencial de ação, o que ocasiona diminuição da resposta neuroral e consequente, antinocicepção (OCAÑA et al., 2004; TAKEDA et al., 2011). No entanto, quando o antagonista não-seletivo dos receptores dopaminérgicos haloperidol (0,2 mg/kg) foi administrado nos animais não reverteu a atividade antinociceotiva do OEAo (100 mg/kg). Por outro lado, o

haloperidol potencializou o efeito analgesic do óleo essencial. Da mesma forma, a avaliação dos canais de potássio envolvidos no efeito antinociceptivo do OEAo demonstrou que o prétratamento dos animais com glibenclamida (5 mg/kg), bloqueador dos canais de potássio, não reverteu a atividade antinociceptive do óleo essencial (p>0,05) (Figura 16).

Esses dados indicam que tanto os receptores dopaminérgicos quanto os canais de potássio não são mecnaismos de ação antinociceptivo do OEAo. Muito embora o sistema adenosinérgico esteja envolvido na modulação da dor de diversos compostos naturais (PAGANELLI et al., 2021), o antagonista teofilina (5 mg/kg) não foi capaz de reverter a ação antinociceptive do OEAo (100 mg/kg). Esses dados indicam que a ação antinociceptive do OEAo não é mediada pelos receptores de adenosine. Adiministrado de forma isolada a teofilina não alterou o número de contorções quando comparados ao controle (p>0,05) (VINCENZI et al., 2020).

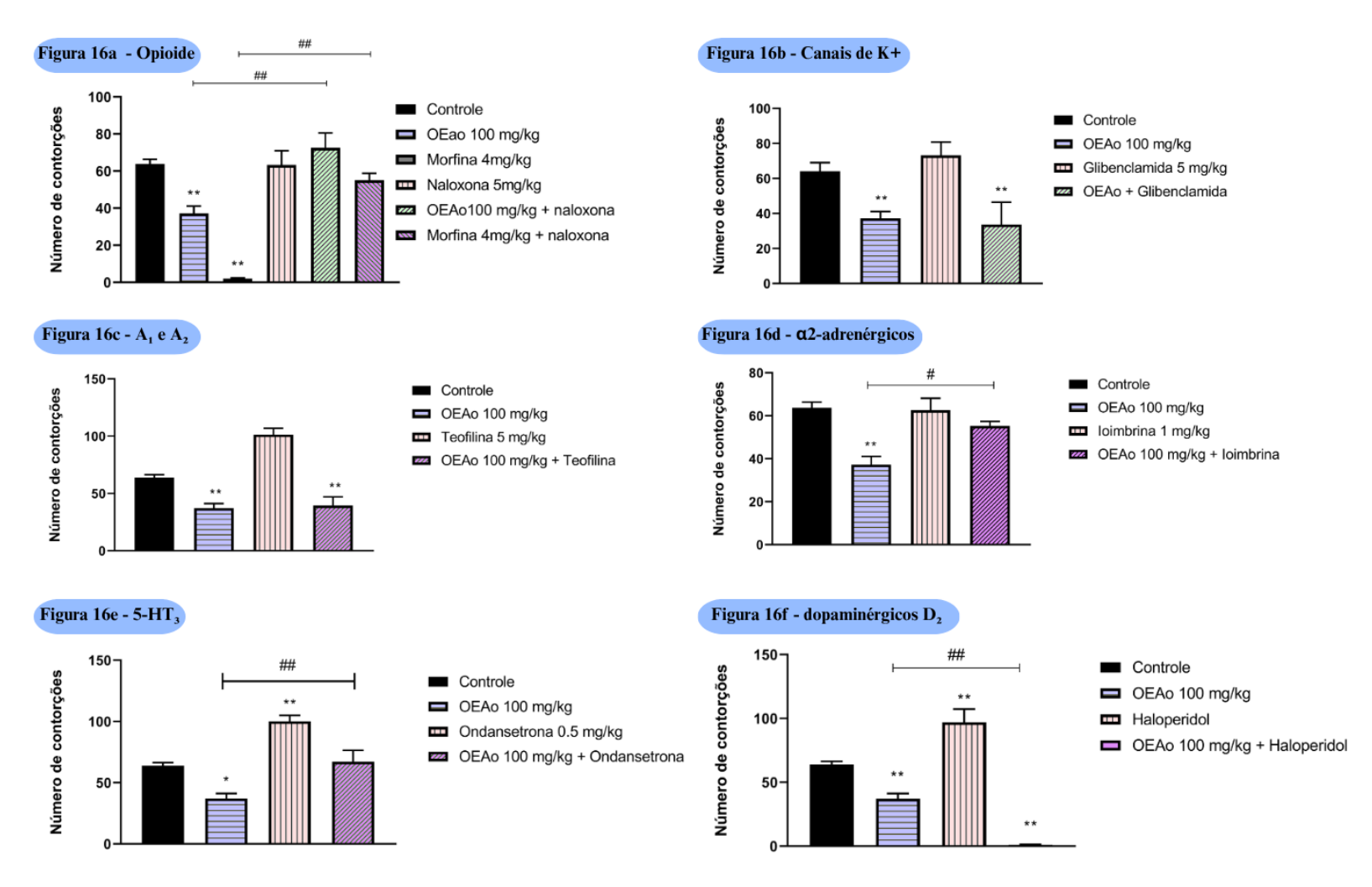


Figura 16. Avaliação dos mecanismos de ação envolvidas no efeito antinociceptivo do óleo essencial de *Aloysia obloceolata* (OEAo) em camundongos submetidos ao teste de contorções induzidas por ácido acético. (a) Participação da via opioide (naloxona). (b) Participação dos canais K⁺ ATP-dependentes (glibenclamida). (c) Participação dos receptores não seletivo de adenosina (A₁ e A₂) (teofilina). (d) Participação dos receptores α2-adrenérgicos (ioimbina). (e) Participação dos receptores serotoninérgicos 5-HT₃ (ondansetrona). (f) Participação dos receptores dopaminérgicos D₂ (haloperidol). Os dados são expressos como média ± EPM (n = 6). *p < 0,05, **p < 0,01 em relação ao grupo controle; #p < 0,05, ##p < 0,01 em relação ao grupo tratado com OEAo ou agonista com o antagonista (ANOVA seguida de teste de Tukey).

4.10. Efeitos do óleo essencial de *Aloysia oblonceolata* no teste de peritonite induzida por carragenina

Os resultados demonstram que o polissacarídeo carragenina apresentou aumento significativo da migração para a cavidade peritoneal em comparação ao grupo controle (p<0,01). Por outro lado, o OEAo nas doses de 50 e 100 mg/kg, apresentou efeito anti-inflamatório, ao diminuir a migração de leucócitos, quando comparado ao grupo salina/carragenina (p<0,01). Uma redução de 50,26% foi observada para a dose de 50 mg/kg e de 42,95% para a dose de 100 mg/kg. Como esperado, a dexametasona (colocar a dose) reduziu a migração celular em 42,26%, quando comparada ao grupo carragenina (p<0,01) (figura 17).

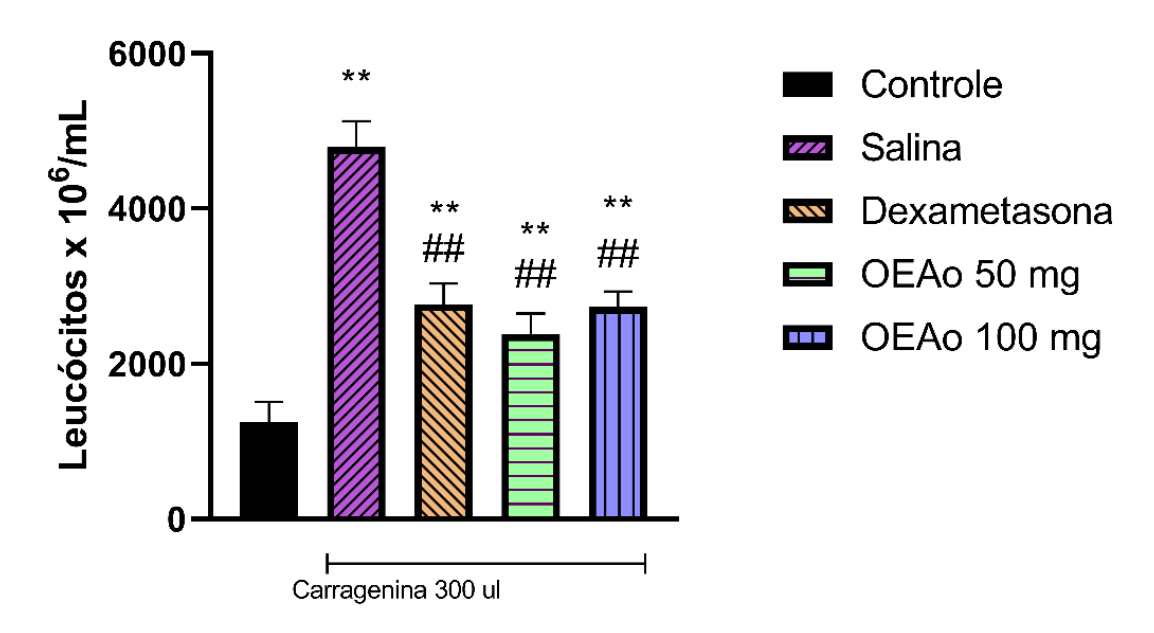


Figura 17. Efeito do OEAo (50 e 100 mg/kg) no teste de peritonite induzida por carragenina. Cada coluna representa a média ± SEM (erro padrão da média) de 6 animais. * *p< 0,01 em comparação com o grupo controle. ## p< 0,01 em comparação com o grupo salina. (ANOVA, seguida de pós teste de Tukey).

O modelo de peritonite induzida por carragenina é amplamente utilizado para investigar a resposta inflamatória aguda, pois promove alterações típicas como aumento da permeabilidade vascular e recrutamento de leucócitos, especialmente neutrófilos, para a cavidade peritoneal. A carragenina atua estimulando a liberação de mediadores inflamatórios, como prostaglandinas, leucotrienos e espécies reativas de oxigênio, que desencadeiam vasodilatação, exsudação e migração celular (HALL et al., 1998; KUMAR; CHHIBBER; HARJAI, 2014).

A literatura aponta que a migração de leucócitos é um evento essencial na inflamação e que pode ser atenuado por agentes anti-inflamatórios eficazes (DE JESUS et al., 2023; DE VERAS et al., 2023). A redução observada na migração de células inflamatórias 4 horas após

a indução com carragenina nos grupos tratados com dexametasona e OEAo indica que os compostos testados podem agir de forma semelhante a agentes clássicos anti-inflamatórios, inibindo a geração de mediadores inflamatórios e a migração celular. Assim, os achados reforçam o potencial terapêutico dos tratamentos utilizados para o controle da inflamação aguda.

4.11. Efeitos do óleo essencial de *Aloysia oblonceolata* sobre parâmetros de estresse oxidativo no teste de peritonite

As concentrações de nitrito no líquido peritoneal foram reduzidas nos animais tratados com o OEAo, em ambas as doses, em comparação ao grupo carragenina (p<0,01). Indicando que o OEAo pode apresentar ação anti-inflamatória. Da mesma forma, o tratamento com dexametasona também levou a uma diminuição significativa na concentração de nitrito (p<0,01). Como esperado, o grupo carragenina apresentou aumento da concentração de nitrito quando comparado ao grupo controle (p<0,01), conforme demonstra a figura 18.

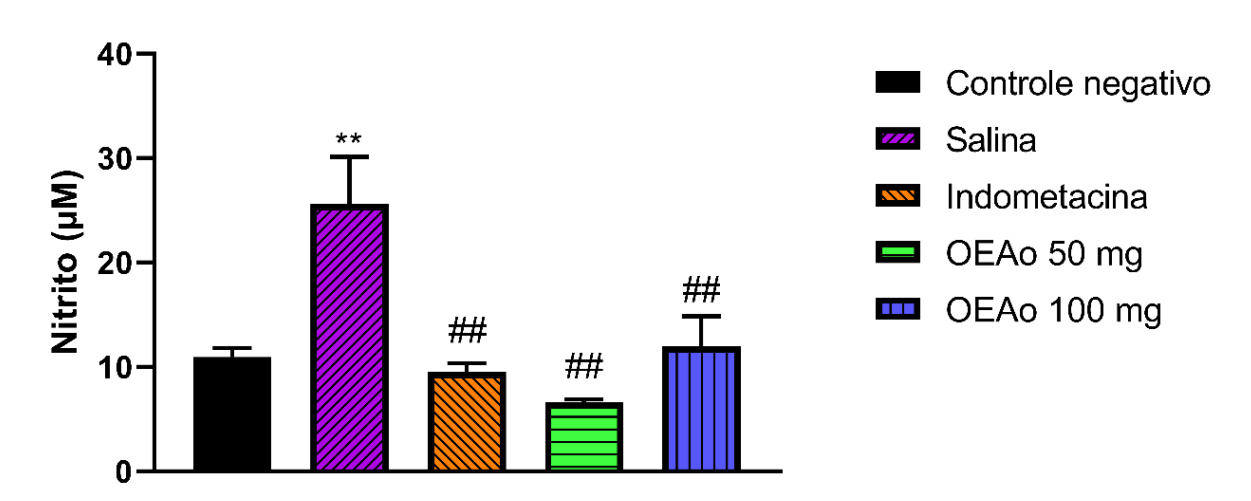


Figura 18. Efeitos do tratamento com o óleo essencial de *Aloysia oblonceolata* (50 e 100 mg/kg) sobre a concentração de nitrito no líquido peritoneal de ratos. Os valores são expressos como média ± erro padrão, n= 6 animais por grupo. ** p<0,05 quando comparado ao grupo controle e ## P<0,01 quando comparado ao grupo carragenina. ANOVA de uma via, seguida de pós-teste de Tukey.

O óxido nítrico (NO) é uma molécula pequena produzida por inúmeras células em mamíferos e desempenha funções importantes nas vias de sinalização de mecanismos de defesa, neurotransmissão, relaxamento do músculo liso, dentre outros (BARTH et al., 2016). Apesar de ter funções fisiológicas, o NO pode também atuar como um agente com propriedades de radicais livres ao interagir, principalmente, com o ânion superóxido, gerando peroxinitrito (ONOO⁻) e consequentemente, radical hidroxila para o qual não há defesa antioxidante (GHASEMI, 2019; HALLIWELL, 2012). Assim, durante o processo inflamatório, há uma liberação e concentrações elevadas de NO, resultando em vasodilatação e aumento da

permeabilidade vascular. Dessa forma, substâncias que possam eliminar ou inibir o NO podem ser terapêuticas alternativas para o tratamento de doenças inflamatórias (PACE et al., 2017).

5 CONCLUSÃO

O óleo essencial de *Aloysia oblanceolata*, proveniente da região amazônica, possui composição química rica em *trans*-pinocanfona, β-pineno, *E*-cariofileno e *trans*-acetato de pinocarveila, demonstrando correlação com fatores climáticos. Isso evidencia que variáveis ambientais e o estágio de desenvolvimento da planta influenciam diretamente a composição química do óleo essencial.

Apesar dessas variações naturais, o óleo essencial de *Aloysia oblanceolata* apresenta facilidade de padronização em escala industrial, permitindo o controle do perfil químico e garantindo um produto consistente e de qualidade para diferentes aplicações.

É essencial considerar as condições climáticas na produção e utilização desse óleo essencial, especialmente na medicina tradicional, uma vez que sua eficácia pode variar conforme a composição química. No entanto, o estudo demonstrou que o óleo essencial é não tóxico e possui excelente atividade anti-inflamatória, reforçando seu potencial de uso seguro e eficaz, principalmente em práticas medicinais tradicionais.

Este trabalho amplia o conhecimento científico sobre o óleo essencial das folhas de *Aloysia oblanceolata* e fornece informações valiosas para o uso mais sustentável dessa espécie, bem como para sua valorização nos processos industriais e farmacêuticos.

6 REFRENCIAS

ABDELKADER, N. F.; ELYAMANY, M.; GAD, A. M.; ASSAF, N.; FAWZY, H. M.; ELESAWY, W. H. Ellagic acid attenuates liver toxicity induced by valproic acid in rats. **Journal of Pharmacological Sciences**, [s. 1.], v. 143, n. 1, p. 23–29, 2020. Disponível em: https://linkinghub.elsevier.com/retrieve/pii/S1347861320300086

ADAMS, R. P. Identification of essential oil components by gás chromatography/massspectrometry. Carol Stream, Ilinois, EUA: Allured Publishing Corporation, 2007.

AEBI, H. [13] Catalase in vitro. In: [s.l: s.n.]. p. 121–126.

AINYANBHOR, I. E.; ONOAGBE, I. O.; EDO, G. I.; YOUSIF, E.; AKPOGHELIE, P. O.; OWHERUO, J. O.; ISOJE, E. F.; IGBUKU, U. A.; ESSAGHAH, A. E. A.; UMAR, H. Acute and sub-acute toxicity study of aqueous and methanol root extract of Tetracera alnifolia in male albino rats. **Toxicology Reports**, [s. 1.], v. 13, p. 101786, 2024. Disponível em: https://linkinghub.elsevier.com/retrieve/pii/S2214750024001690

ALIJAR SOUZA, M.; PETRY, F.; VIDOR MORGAN, L.; DAL MAGRO, J.; MÜLLER, L. G. Biological Properties of *Aloysia gratissima* (Gillies & Hook.) Tronc. (Verbenaceae). **Evidence-Based Complementary and Alternative Medicine**, [s. 1.], v. 2022, p. 1–8, 2022. Disponível em: https://www.hindawi.com/journals/ecam/2022/1119435/

ALMEIDA, R. Plants with central analgesic activity. **Phytomedicine**, [s. 1.], v. 8, n. 4, p. 310–322, Disponível em:

https://linkinghub.elsevier.com/retrieve/pii/S094471130470046X

AMADI, C. N.; OFFOR, S. J.; FRAZZOLI, C.; ORISAKWE, O. E. Natural antidotes and management of metal toxicity. **Environmental Science and Pollution Research**, [s. l.], v. 26, n. 18, p. 18032–18052, 2019. Disponível em: http://link.springer.com/10.1007/s11356-019-05104-2

ARCHER, J. Tests for emotionality in rats and mice: A review. **Animal Behaviour**, [s. 1.], v. 21, n. 2, p. 205–235, 1973.

ASHRAF, A.; JEANDRIENS, J.; PARKES, H. G.; SO, P.-W. Iron dyshomeostasis, lipid peroxidation and perturbed expression of cystine/glutamate antiporter in Alzheimer's disease: Evidence of ferroptosis. **Redox Biology**, [s. 1.], v. 32, p. 101494, 2020. Disponível em: https://linkinghub.elsevier.com/retrieve/pii/S2213231720301683>

BAHARI, Z.; MEFTAHI, G. H. Spinal α 2 -adrenoceptors and neuropathic pain modulation; therapeutic target. **British Journal of Pharmacology**, [s. l.], v. 176, n. 14, p. 2366–2381, 2019.

Disponível em: https://bpspubs.onlinelibrary.wiley.com/doi/10.1111/bph.14580

BARDONI, R. Serotonergic 5-HT 7 Receptors as Modulators of the Nociceptive System. **Current Neuropharmacology**, [s. 1.], v. 21, n. 7, p. 1548–1557, 2023. Disponível em: https://www.eurekaselect.com/211338/article

BARIWENI, M. W.; YIBALA, O. I.; OZOLUA, R. I. Toxicological studies on the aqueous leaf extract of pavetta crassipes (K. Schum) in rodents. **Journal of Pharmacy and Pharmacognosy Research**, [s. l.], v. 6, n. 1, p. 1–16, 2018.

BARROS, L. de S. P.; SANTOS DA CRUZ, E. de N.; DE ARAÚJO GUIMARÃES, B.; SETZER, W. N.; VERAS MOURÃO, R. H.; DO ROSÁRIO DA SILVA, J. K.; SILVA DA COSTA, J.; BAIA FIGUEIREDO, P. L. Chemometric analysis of the seasonal variation in the essential oil composition and antioxidant activity of a new geraniol chemotype of *Lippia alba* (Mill.) N.E.Br. ex Britton & P. Wilson from the Brazilian Amazon. **Biochemical Systematics and Ecology**, [s. l.], v. 105, n. July, 2022. a.

BARROS, L. de S. P.; SANTOS DA CRUZ, E. de N.; DE ARAÚJO GUIMARÃES, B.; SETZER, W. N.; VERAS MOURÃO, R. H.; DO ROSÁRIO DA SILVA, J. K.; SILVA DA COSTA, J.; BAIA FIGUEIREDO, P. L. Chemometric analysis of the seasonal variation in the essential oil composition and antioxidant activity of a new geraniol chemotype of *Lippia alba* (Mill.) N.E.Br. ex Britton & P. Wilson from the Brazilian Amazon. **Biochemical Systematics and Ecology**, [s. 1.], v. 105, p. 104503, 2022. b. Disponível em: https://linkinghub.elsevier.com/retrieve/pii/S0305197822001235

BARTH, C. R.; FUNCHAL, G. A.; LUFT, C.; DE OLIVEIRA, J. R.; PORTO, B. N.; DONADIO, M. V. F. Carrageenan-induced inflammation promotes ROS generation and neutrophil extracellular trap formation in a mouse model of peritonitis. **European Journal of Immunology**, [s. l.], v. 46, n. 4, p. 964–970, 2016. Disponível em: https://onlinelibrary.wiley.com/doi/10.1002/eji.201545520

BENOVIT, S. C.; SILVA, L. L.; SALBEGO, J.; LORO, V. L.; MALLMANN, C. A.; BALDISSEROTTO, B.; FLORES, E. M. M.; HEINZMANN, B. M. Anesthetic activity and bio-guided fractionation of the essential oil of *Aloysia gratissima* (Gillies & Samp; Hook.) Tronc. in silver catfish Rhamdia quelen. **Anais da Academia Brasileira de Ciências**, [s. l.], v. 87, n. 3, p. 1675–1689, 2015. Disponível em:

<a href="mailto:scielo.br/scielo.php?script=sci_arttext&pid=S0001-scielo.br/scielo.php?script=sci_arttext&pid=S0001-scielo.br/scielo.php?script=sci_arttext&pid=S0001-scielo.php?script=sci_arttext&pid=S0001-scielo.php?script=sci_arttext&pid=S0001-scielo.php?script=sci_arttext&pid=S0001-scielo.php?script=sci_arttext&pid=S0001-scielo.php?script=sci_arttext&pid=S0001-scielo.php?script=sci_arttext&pid=S0001-scielo.php?script=sci_arttext&pid=S0001-scielo.php?script=sci_arttext&pid=S0001-scielo.php?script=sci_arttext&pid=S0001-scielo.php?script=sci_arttext&pid=S0001-scielo.php?script=sci_arttext&pid=S0001-scielo.php?script=sci_arttext&pid=S0001-scielo.php?script=sci_arttext&pid=S0001-scielo.php?script=sci_arttext&pid=S0001-scielo.php?script=sci_arttext&pid=S0001-scielo.php?script=sci_arttext&pid=S0001-scielo.php?script=sci_arttext&pid=S0001-scielo.php?script=sci_arttext&pid=S0001-sci_arttext&pid=

37652015000401675&lng=en&tlng=en>

CAO, H.; ZUO, C.; HUANG, Y.; ZHU, L.; ZHAO, J.; YANG, Y.; JIANG, Y.; WANG, F. Hippocampal proteomic analysis reveals activation of necroptosis and ferroptosis in a mouse

model of chronic unpredictable mild stress-induced depression. **Behavioural Brain Research**, [s. 1.], v. 407, p. 113261, 2021. Disponível em: https://linkinghub.elsevier.com/retrieve/pii/S0166432821001492

CARDOSO, E. K. S.; KUBOTA, K.; LUZ, D. A.; MENDES, P. F. S.; FIGUEIREDO, P. L. B.; LIMA, R. R.; MAIA, C. S. F.; FONTES-JÚNIOR, E. A. Aniba canelilla (Kunth) Mez (Lauraceae) Essential Oil: Effects on Oxidative Stress and Vascular Permeability. **Antioxidants**, [s. 1.], v. 11, n. 10, p. 1–13, 2022.

CONEGUNDES, J. L. M.; SILVA, J. M. Da; MENDES, R. de F.; FERNANDES, M. F.; PINTO, N. de C. C.; ALMEIDA, M. A. De; DIB, P. R. B.; ANDRADE, R. de O.; RODRIGUES, M. N.; CASTAÑON, M. C. M. N.; MACEDO, G. C.; SCIO, E. Anti-inflammatory and antinociceptive activity of Siparuna guianensis Aublet, an amazonian plant traditionally used by indigenous communities. **Journal of Ethnopharmacology**, [s. l.], v. 265, p. 113344, 2021.

COSTA-SILVA, J. H.; LIMA, C. R.; SILVA, E. J. R.; ARAÚJO, A. V.; FRAGA, M. C. C. A.; RIBEIRO E RIBEIRO, A.; ARRUDA, A. C.; LAFAYETTE, S. S. L.; WANDERLEY, A. G. Acute and subacute toxicity of the Carapa guianensis Aublet (Meliaceae) seed oil. **Journal of Ethnopharmacology**, [s. l.], v. 116, n. 3, p. 495–500, 2008. Disponível em: https://linkinghub.elsevier.com/retrieve/pii/S0378874108000068

COSTA, W. K.; DO NASCIMENTO, M. F.; DOS SANTOS, C. R. B.; DEDE OLIVEIRA FARIASAGUIAR, J. C. R.; DO AMARAL FERRAZ NAVARRO, D. M.; NAPOLEÃO, T. H.; DOS SANTOS CORREIA, M. T.; BRAYNER, F. A.; DE OLIVEIRA, A. M.; DA SILVA, M. V. Oral administration of essential oil from Psidium glaziovianum Kiaersk leaves alleviates pain and inflammation in mice. **Inflammopharmacology**, [s. 1.], v. 30, n. 2, p. 599–607, 2022. Disponível em: https://link.springer.com/10.1007/s10787-022-00940-0

DA COSTA, J. S.; BARROSO, A. S.; MOURÃO, R. H. V.; DA SILVA, J. K. R.; MAIA, J. G. S.; FIGUEIREDO, P. L. B. Seasonal and Antioxidant Evaluation of Essential Oil from Eugenia uniflora L., Curzerene-Rich, Thermally Produced in Situ. **Biomolecules**, [s. 1.], v. 10, n. 2, p. 328, 2020.

DA FONSECA, A.; FERNANDES RIBEIRO DANTAS, L.; RODRIGUES, J.; ALENCAR FILHO, M. P.; DE MELO RÊGO, M.; DA ROCHA PITTA, M.; DE MORAES GOMES, P.; DE MELO SILVA, V.; LIMA LEITE, A.; FURTADO, A.; FERNANDES PEDROSA, M.; GAVIOLI, E.; MOURA LEMOS, T. PA-Int5: An isatin-thiosemicarbazone derivative that exhibits anti-nociceptive and anti-inflammatory effects in Swiss mice. **Biomedical Reports**, [s. 1.], v. 15, n. 1, p. 61, 2021.

DA SILVA, P. E.; SANTOS E SILVA, C. M.; SPYRIDES, M. H. C.; ANDRADE, L. de M. B. Precipitation and air temperature extremes in the Amazon and northeast Brazil. **International Journal of Climatology**, [s. 1.], v. 39, n. 2, p. 579–595, 2019. Disponível em: https://rmets.onlinelibrary.wiley.com/doi/10.1002/joc.5829

DANTAS, L. L. S. F. R.; FONSECA, A. G.; PEREIRA, J. R.; FURTADO, A. A.; GOMES, P. A. T. M.; FERNANDES-PEDROSA, M. F.; LEITE, A. C. L.; RÊGO, M. J. B. M.; PITTA, M. G. R.; LEMOS, T. M. A. M. Anti-inflammatory and antinociceptive effects of the isatin derivative (Z)-2-(5-chloro-2-oxoindolin-3-ylidene)-N-phenyl-hydrazinecarbothioamide in mice. **Brazilian Journal of Medical and Biological Research**, [s. l.], v. 53, n. 10, 2020. a. DANTAS, L. L. S. F. R.; FONSECA, A. G.; PEREIRA, J. R.; FURTADO, A. A.; GOMES, P. A. T. M.; FERNANDES-PEDROSA, M. F.; LEITE, A. C. L.; RÊGO, M. J. B. M.; PITTA, M. G. R.; LEMOS, T. M. A. M. Anti-inflammatory and antinociceptive effects of the isatin derivative (Z)-2-(5-chloro-2-oxoindolin-3-ylidene)-N-phenyl-hydrazinecarbothioamide in mice. **Brazilian Journal of Medical and Biological Research**, [s. l.], v. 53, n. 10, 2020. b. Disponível em: http://www.scielo.br/scielo.php?script=sci_arttext&pid=S0100-879X2020001000607&tlng=en

DAVID, S.; JHELUM, P.; RYAN, F.; JEONG, S. Y.; KRONER, A. Dysregulation of Iron Homeostasis in the Central Nervous System and the Role of Ferroptosis in Neurodegenerative Disorders. **Antioxidants & Redox Signaling**, [s. 1.], v. 37, n. 1–3, p. 150–170, 2022. Disponível em: https://www.liebertpub.com/doi/10.1089/ars.2021.0218

DE CÁSSIA DA SILVEIRA E SÁ, R.; ANDRADE, L.; DOS REIS BARRETO DE OLIVEIRA, R.; DE SOUSA, D. A Review on Anti-Inflammatory Activity of Phenylpropanoids Found in Essential Oils. **Molecules**, [s. 1.], v. 19, n. 2, p. 1459–1480, 2014. Disponível em: http://www.mdpi.com/1420-3049/19/2/1459>

DE JESUS, E. N. S.; TAVARES, M. S.; BARROS, P. A. C.; MILLER, D. C.; DA SILVA, P. I. C.; FREITAS, J. J. S.; DE LIMA, A. B.; SETZER, W. N.; DA SILVA, J. K. R.; FIGUEIREDO, P. L. B. Chemical composition, antinociceptive and anti-inflammatory activities of the curzerene type essential oil of Eugenia uniflora from Brazil. **Journal of Ethnopharmacology**, [s. 1.], v. 317, p. 116859, 2023. Disponível em: https://linkinghub.elsevier.com/retrieve/pii/S0378874123007274

DE LIMA, M. N. N.; GUIMARÃES, B. A.; DE CASTRO, A. L. S.; RIBEIRO, K. B.; MILLER, D. C.; DA SILVA, P. I. C.; FREITAS, J. J. S.; DE LIMA, A. B.; SETZER, W. N.; DA SILVA, J. K. R.; MAIA, J. G. S.; FIGUEIREDO, P. L. B. Chemical composition and antinociceptive and anti-inflammatory activity of the essential oil of Hyptis crenata Pohl ex Benth. from the

Brazilian Amazon. **Journal of Ethnopharmacology**, [s. l.], v. 300, p. 115720, 2023. a. DE LIMA, M. N. N.; GUIMARÃES, B. A.; DE CASTRO, A. L. S.; RIBEIRO, K. B.; MILLER, D. C.; DA SILVA, P. I. C.; FREITAS, J. J. S.; DE LIMA, A. B.; SETZER, W. N.; DA SILVA, J. K. R.; MAIA, J. G. S.; FIGUEIREDO, P. L. B. Chemical composition and antinociceptive and anti-inflammatory activity of the essential oil of Hyptis crenata Pohl ex Benth. from the Brazilian Amazon. **Journal of Ethnopharmacology**, [s. l.], v. 300, p. 115720, 2023. b. Disponível em: https://linkinghub.elsevier.com/retrieve/pii/S0378874122007590 DE VERAS, B. O.; MOURA, G. M. de M.; BARROS, A. V. De; VANUSA DA SILVA, M.;

ASSIS, P. A. C. De; AGUIAR, J. C. R. de O. F. De; NAVARRO, D. M. do A. F.; XIMENES, R. M.; WANDERLEY, A. G.; OLIVEIRA, M. B. M. De; LOPES, A. C. de S. Antinociceptive and anti-inflammatory activities of essential oil of the leaves of Amburana cearensis (Allemão) semi-arid region of Northeastern Brazil. A.C. Smith. the Journal Ethnopharmacology, s. 1.], v. 317, 116858, 2023. Disponível p. em: https://linkinghub.elsevier.com/retrieve/pii/S0378874123007262

DOS SANTOS SOUZA, T. G.; DA SILVA, M. M.; FEITOZA, G. S.; DE MELO ALCÂNTARA, L. F.; DA SILVA, M. A.; DE OLIVEIRA, A. M.; DE OLIVEIRA FARIAS DE AGUIAR, J. C. R.; DO AMARAL FERRAZ NAVARRO, D. M.; DE AGUIAR JÚNIOR, F. C. A.; DA SILVA, M. V.; CHAGAS, C. A. Biological safety of Syagrus coronata (Mart.) Becc. Fixed oil: Cytotoxicity, acute oral toxicity, and genotoxicity studies. **Journal of Ethnopharmacology**, [s. l.], v. 272, p. 113941, 2021. Disponível em: https://linkinghub.elsevier.com/retrieve/pii/S0378874121001677

FERNANDES, L. M. P.; CARTÁGENES, S. C.; BARROS, M. A.; CARVALHEIRO, T. C. V. S.; CASTRO, N. C. F.; SCHAMNE, M. G.; LIMA, R. R.; PREDIGER, R. D.; MONTEIRO, M. C.; FONTES-JÚNIOR, E. A.; CUNHA, R. A.; MAIA, C. S. F. Repeated cycles of binge-like ethanol exposure induce immediate and delayed neurobehavioral changes and hippocampal dysfunction in adolescent female rats. **Behavioural Brain Research**, [s. 1.], v. 350, p. 99–108, 2018. Disponível em: https://linkinghub.elsevier.com/retrieve/pii/S0166432818302225

FREITAS, M. A.; VASCONCELOS, A.; GONÇALVES, E. C. D.; FERRARINI, E. G.; VIEIRA, G. B.; CICIA, D.; COLA, M.; CAPASSO, R.; DUTRA, R. C. Involvement of Opioid System and TRPM8/TRPA1 Channels in the Antinociceptive Effect of Spirulina platensis. **Biomolecules**, [s. l.], v. 11, n. 4, p. 592, 2021. Disponível em: https://www.mdpi.com/2218-273X/11/4/592

GALVÃO, F. S.; DA ROCHA, C. Q.; MONTEIRO, O. S.; FIGUEIREDO, P. L. B.; SANTOS, P. V. L.; MAIA, J. G. S. Seasonal and Circadian Evaluation of the Essential Oil of

Dizygostemon riparius (Plantaginaceae), a Wild Flavoring Herb from East Maranhão, Brazil.

Chemistry & Biodiversity, [s. 1.], v. 20, n. 8, 2023. Disponível em: https://onlinelibrary.wiley.com/doi/10.1002/cbdv.202300864

GAMMOH, O. S.; QNAIS, E.; BSEISO, Y.; ALROSAN, K.; ALQUDAH, A. Evaluation of the antinociceptive effect of valerian and hops combination in experimental animal models: Involvement of the opioid system. **Heliyon**, [s. l.], v. 9, n. 3, p. e14185, 2023. Disponível em: https://linkinghub.elsevier.com/retrieve/pii/S2405844023013920

GENCER, A.; GUNDUZ, O.; ULUGOL, A. Involvement of Descending Serotonergic and Noradrenergic Systems and their Spinal Receptor Subtypes in the Antinociceptive Effect of Dipyrone. **Drug Research**, [s. 1.], v. 65, n. 12, p. 645–649, 2015. Disponível em: http://www.thieme-connect.de/DOI/DOI?10.1055/s-0034-1398550>

GHASEMI, M. Nitric oxide: Antidepressant mechanisms and inflammation. In: [s.l: s.n.]. p. 121–152.

GOBBO-NETO, L.; LOPES, N. P. Plantas medicinais: fatores de influência no conteúdo de metabólitos secundários. **Química Nova**, [s. l.], v. 30, n. 2, p. 374–381, 2007.

GOMES, N. M.; REZENDE, C. M.; FONTES, S. P.; MATHEUS, M. E.; FERNANDES, P. D. Antinociceptive activity of Amazonian Copaiba oils. **Journal of Ethnopharmacology**, [s. l.], v. 109, n. 3, p. 486–492, 2007. Disponível em: https://linkinghub.elsevier.com/retrieve/pii/S0378874106004168

GREEN, L. C.; WAGNER, D. A.; GLOGOWSKI, J.; SKIPPER, P. L.; WISHNOK, J. S.; TANNENBAUM, S. R. Analysis of nitrate, nitrite, and [15N]nitrate in biological fluids. **Analytical Biochemistry**, [s. 1.], v. 126, n. 1, p. 131–138, 1982. Disponível em: https://linkinghub.elsevier.com/retrieve/pii/000326978290118X

GRESSLER, L. T.; RIFFEL, A. P. K.; PARODI, T. V.; SACCOL, E. M. H.; KOAKOSKI, G.; DA COSTA, S. T.; PAVANATO, M. A.; HEINZMANN, B. M.; CARON, B.; SCHMIDT, D.; LLESUY, S. F.; BARCELLOS, L. J. G.; BALDISSEROTTO, B. Silver catfish Rhamdia quelen immersion anaesthesia with essential oil of Aloysia triphylla (L'Hérit) Britton or tricaine methanesulfonate: effect on stress response and antioxidant status. Aquaculture Research, [s. 1.], 45, 6, 1061-1072, 2014. Disponível v. n. p. em: https://onlinelibrary.wiley.com/doi/10.1111/are.12043

HALL, A. P.; ELCOMBE, C. R.; FOSTER, J. R.; HARADA, T.; KAUFMANN, W.; KNIPPEL, A.; KÜTTLER, K.; MALARKEY, D. E.; MARONPOT, R. R.; NISHIKAWA, A.; NOLTE, T.; SCHULTE, A.; STRAUSS, V.; YORK, M. J. Liver Hypertrophy: a review of adaptive (adverse and non-adverse) changes--conclusions from the 3rd International ESTP

Expert Workshop. **Toxicologic Pathology**, [s. 1.], v. 40, n. 7, p. 971–994, 2012.

HALL, J. C.; HEEL, K. A.; PAPADIMITRIOU, J. M.; PLATELL, C. The pathobiology of peritonitis. **Gastroenterology**, [s. l.], v. 114, n. 1, p. 185–196, 1998. Disponível em: https://linkinghub.elsevier.com/retrieve/pii/S0016508598706468>

HALLIWELL, B. Reactive Oxygen Species and the Central Nervous System. **Journal of Neurochemistry**, [s. 1.], v. 59, n. 5, p. 1609–1623, 1992. Disponível em: https://onlinelibrary.wiley.com/doi/10.1111/j.1471-4159.1992.tb10990.x

HALLIWELL, B. Free radicals and antioxidants: updating a personal view. **Nutrition Reviews**, [s. l.], v. 70, n. 5, p. 257–265, 2012. Disponível em: https://academic.oup.com/nutritionreviews/article-lookup/doi/10.1111/j.1753-

4887.2012.00476.x>

HAMURA, H.; YOSHIDA, M.; SHIMIZU, K.; MATSUKURA, T.; SUZUKI, H.; NARITA, M.; SUZUKI, T. Antinociceptive Effect of the Combination of Pentazocine With Morphine in the Tail-Immersion and Scald-Pain Tests in Rats. **The Japanese Journal of Pharmacology**, [s. 1.], v. 83, n. 4, p. 286–292, 2000. Disponível em: http://joi.jlc.jst.go.jp/JST.JSTAGE/jjp/83.286?from=CrossRef

HESS, S.; PADOANI, C.; SCORTEGANHA, L. C.; HOLZMANN, I.; MALHEIROS, A.; YUNES, R. A.; DELLE MONACHE, F.; DE SOUZA, M. M. Assessment of Mechanisms Involved in Antinociception Caused by Myrsinoic Acid B. **Biological and Pharmaceutical Bulletin**, [s. 1.], v. 33, n. 2, p. 209–215, 2010. Disponível em: http://www.jstage.jst.go.jp/article/bpb/33/2/33 2 209/ article>

JERÔNIMO, L. B.; DE ARAÚJO, J. A. C.; DA SILVA, J. K. R.; MOURÃO, R. H. V.; SETZER, W. N.; FIGUEIREDO, P. L. B. Seasonality's Effects on the Chemical Composition and Antiradical Capacity of the Floral Essential Oil of Acmella oleracea (L.) R.K. Jansen Cultivated in the Brazilian Amazon. **Horticulturae**, [s. l.], v. 10, n. 9, p. 925, 2024. a. Disponível em: https://www.mdpi.com/2311-7524/10/9/925>

JERÔNIMO, L. B.; LIMA SANTOS, P. V.; PINTO, L. C.; DA COSTA, J. S.; ANDRADE, E. H. de A.; SETZER, W. N.; DA SILVA, J. K. do R.; DE ARAÚJO, J. A. C.; FIGUEIREDO, P. L. B. Acmella oleracea (L.) R.K. Jansen essential oils: Chemical composition, antioxidant, and cytotoxic activities. **Biochemical Systematics and Ecology**, [s. l.], v. 112, p. 104775, 2024. b. Disponível em: https://linkinghub.elsevier.com/retrieve/pii/S0305197823001928

KARL, T.; PABST, R.; VON HÖRSTEN, S. Behavioral phenotyping of mice in pharmacological and toxicological research. **Experimental and Toxicologic Pathology**, [s. l.], v. 55, n. 1, p. 69–83, 2003. Disponível em:

https://linkinghub.elsevier.com/retrieve/pii/S0940299304701451

KASTER, M. P.; MACHADO, N. J.; SILVA, H. B.; NUNES, A.; ARDAIS, A. P.; SANTANA, M.; BAQI, Y.; MÜLLER, C. E.; RODRIGUES, A. L. S.; PORCIÚNCULA, L. O.; CHEN, J. F.; TOMÉ, Â. R.; AGOSTINHO, P.; CANAS, P. M.; CUNHA, R. A. Caffeine acts through neuronal adenosine A 2A receptors to prevent mood and memory dysfunction triggered by chronic stress. **Proceedings of the National Academy of Sciences**, [s. 1.], v. 112, n. 25, p. 7833–7838, 2015. Disponível em: https://pnas.org/doi/full/10.1073/pnas.1423088112

KOSTER, R., ANDERSON, M. DE BEER, E. Acetic Acid for Analgesic Screening. **Federation Proceedings**, [s. 1.], v. 18, p. 412–417, 1959.

KUMAR, L.; CHHIBBER, S.; HARJAI, K. Zingerone Suppresses Liver Inflammation Induced by Antibiotic Mediated Endotoxemia through Down Regulating Hepatic mRNA Expression of Inflammatory Markers in Pseudomonas aeruginosa Peritonitis Mouse Model. **PLoS ONE**, [s. 1.], v. 9, n. 9, p. e106536, 2014.

LEAN, J.; WARRILOW, D. A. Simulation of the regional climatic impact of Amazon deforestation. **Nature**, [s. 1.], v. 342, n. 6248, p. 411–413, 1989. Disponível em: https://www.nature.com/articles/342411a0

LI, Z.; WANG, Y.; ZHAO, J.; ZHANG, H. Dieckol attenuates the nociception and inflammatory responses in different nociceptive and inflammatory induced mice model. **Saudi Journal of Biological Sciences**, [s. 1.], v. 28, n. 9, p. 4891–4899, 2021. Disponível em: https://linkinghub.elsevier.com/retrieve/pii/S1319562X21004812

LOUREIRO, R. S. De; SARAIVA, J. M.; SARAIVA, I.; SENNA, R. C.; FREDÓ, A. S. Estudo dos eventos extremos de precipitação ocorridos em 2009 no estado do Pará. **Revista Brasileira de Meteorologia**, [s. 1.], v. 29, n. spe, p. 83–94, 2014. Disponível em: http://www.scielo.br/scielo.php?script=sci arttext&pid=S0102-

77862014000500009&lng=pt&tlng=pt>

MAIA, J. G. S.; ANDRADE, E. H. A. Database of the Amazon aromatic plants and their essential oils. **Química Nova**, [s. l.], v. 32, n. 3, p. 595–622, 2009. Disponível em: http://www.scielo.br/scielo.php?script=sci_arttext&pid=S0100-

40422009000300006&lng=en&nrm=iso&tlng=en>

MALAFOGLIA, V.; ILARI, S.; VITIELLO, L.; TENTI, M.; BALZANI, E.; MUSCOLI, C.; RAFFAELI, W.; BONCI, A. The Interplay between Chronic Pain, Opioids, and the Immune System. **The Neuroscientist**, [s. 1.], v. 28, n. 6, p. 613–627, 2022. Disponível em: http://journals.sagepub.com/doi/10.1177/10738584211030493>

MALIK, T. G.; SAHU, L. K.; GUPTA, M.; MIR, B. A.; GAJBHIYE, T.; DUBEY, R.;

CLAVIJO MCCORMICK, A.; PANDEY, S. K. Environmental Factors Affecting Monoterpene Emissions from Terrestrial Vegetation. **Plants**, [s. 1.], v. 12, n. 17, p. 3146, 2023.

MANSIKKA, H.; ERBS, E.; BORRELLI, E.; PERTOVAARA, A. Influence of the dopamine D2 receptor knockout on pain-related behavior in the mouse. **Brain Research**, [s. l.], v. 1052, n. 1, p. 82–87, 2005. Disponível em: https://linkinghub.elsevier.com/retrieve/pii/S0006899305008875

MARX, H. E.; O'LEARY, N.; YUAN, Y.; LU-IRVING, P.; TANK, D. C.; MÚLGURA, M. E.; OLMSTEAD, R. G. A molecular phylogeny and classification of Verbenaceae. **American Journal of Botany**, [s. l.], v. 97, n. 10, p. 1647–1663, 2010. Disponível em: https://onlinelibrary.wiley.com/doi/10.3732/ajb.1000144

MOHAMMADHOSSEINI, M.; FREZZA, C.; VENDITTI, A. An overview of the genus *Aloysia Paláu* (Verbenaceae): Essential oil composition, ethnobotany and biological activities. **Natural Product Research**, [s. l.], v. 0, n. 0, p. 1–17, 2022.

MORONI, P.; O'LEARY, N.; FILLOY, J. Species delimitation in the *Aloysia gratissima* complex (Verbenaceae) following the phylogenetic species concept. **Botanical Journal of the Linnean Society**, [s. 1.], v. 180, n. 2, p. 193–212, 2016. Disponível em: https://academic.oup.com/botlinnean/article-lookup/doi/10.1111/boj.12369

MWOBOBIA, R. M.; KANUI, T. I.; ABELSON, K. S. P. Investigation of noradrenergic receptor system in anti-nociception using formalin test in the naked mole rat (Heterocephalus glaber). **Heliyon**, [s. 1.], v. 6, n. 10, p. e05216, 2020. Disponível em: https://linkinghub.elsevier.com/retrieve/pii/S2405844020320594

O'LEARY, N.; LU-IRVING, P.; MORONI, P.; SIEDO, S. Taxonomic Revision of *Aloysia* (Verbenaceae, Lantaneae) In South America 1. **Annals of the Missouri Botanical Garden**, [s. 1.], v. 101, n. 3, p. 568–609, 2016. Disponível em: http://www.bioone.org/doi/10.3417/2013015

OBESE, E.; BINEY, R. P.; HENNEH, I. T.; ANOKWAH, D.; ADAKUDUGU, E. A.; WOODE, E.; AMEYAW, E. O. Antinociceptive effect of the hydroethanolic leaf extract of Calotropis procera (Ait) R. Br. (Apocynaceae): Possible involvement of glutamatergic, cytokines, opioidergic and adenosinergic pathways. **Journal of Ethnopharmacology**, [s. l.], v. 278, p. 114261, 2021. Disponível em: https://linkinghub.elsevier.com/retrieve/pii/S0378874121004888>

OCAÑA, M.; CENDÁN, C. M.; COBOS, E. J.; ENTRENA, J. M.; BAEYENS, J. M. Potassium channels and pain: present realities and future opportunities. **European Journal of Pharmacology**, [s. 1.], v. 500, n. 1–3, p. 203–219, 2004. Disponível em:

https://linkinghub.elsevier.com/retrieve/pii/S0014299904007356

OECD. **Test No. 423: Acute Oral toxicity - Acute Toxic Class Method**. [s.l.]: OECD, 2002. Disponível em: https://www.oecd-ilibrary.org/environment/test-no-423-acute-oral-toxicity-

acute-toxic-class-method 9789264071001-en>

OKAMOTO, N.; WATANABE, K.; IKENOUCHI, A.; KOROGI, Y.; YOSHIMURA, R. L-Arginine-Nitric Oxide Pathway and Neural Networks in Major Depression. **Psychiatria Danubina**, [s. 1.], v. 34, n. 1, p. 102–103, 2022.

PACE, S.; ROSSI, A.; KRAUTH, V.; DEHM, F.; TROISI, F.; BILANCIA, R.; WEINIGEL, C.; RUMMLER, S.; WERZ, O.; SAUTEBIN, L. Sex differences in prostaglandin biosynthesis in neutrophils during acute inflammation. **Scientific Reports**, [s. l.], v. 7, n. 1, p. 3759, 2017. Disponível em: https://www.nature.com/articles/s41598-017-03696-8

PAGANELLI, F.; MOTTOLA, G.; FROMONOT, J.; MARLINGE, M.; DEHARO, P.; GUIEU, R.; RUF, J. Hyperhomocysteinemia and Cardiovascular Disease: Is the Adenosinergic System the Missing Link? **International Journal of Molecular Sciences**, [s. 1.], v. 22, n. 4, p. 1690, 2021. Disponível em: https://www.mdpi.com/1422-0067/22/4/1690

PANCZYK, K.; GO.LDA, S.; WASZKIELEWICZ, A.; ZELASZCZYK, D.; GUNIA-KRZYZ.AK, A.; MARONA, H. Serotonergic System and Its Role in Epilepsy and Neuropathic Pain Treatment: A Review Based on Receptor Ligands. **Current Pharmaceutical Design**, [s. l.], v. 21, n. 13, p. 1723–1740, 2015. Disponível em: http://www.eurekaselect.com/openurl/content.php?genre=article&issn=1381-

6128&volume=21&issue=13&spage=1723>

PARODI, T. V.; GRESSLER, L. T.; SILVA, L. de L.; BECKER, A. G.; SCHMIDT, D.; CARON, B. O.; HEINZMANN, B. M.; BALDISSEROTTO, B. Chemical composition of the essential oil of *Aloysia triphylla* under seasonal influence and its anaesthetic activity in fish. **Aquaculture Research**, [s. 1.], v. 51, n. 6, p. 2515–2524, 2020. Disponível em: https://onlinelibrary.wiley.com/doi/10.1111/are.14594>

PEÑA-BAUTISTA, C.; TIRLE, T.; LÓPEZ-NOGUEROLES, M.; VENTO, M.; BAQUERO, M.; CHÁFER-PERICÁS, C. Oxidative Damage of DNA as Early Marker of Alzheimer's Disease. **International Journal of Molecular Sciences**, [s. 1.], v. 20, n. 24, p. 6136, 2019. Disponível em: https://www.mdpi.com/1422-0067/20/24/6136>

PERTOVAARA, A. The noradrenergic pain regulation system: A potential target for pain therapy. **European Journal of Pharmacology**, [s. 1.], v. 716, n. 1–3, p. 2–7, 2013. Disponível em: https://linkinghub.elsevier.com/retrieve/pii/S0014299913001659>

QURESHI, I. Z.; RAZZAQ, A.; NAZ, S. S. Testing of acute and sub-acute toxicity profile of

novel naproxen sodium nanoformulation in male and female mice. **Regulatory Toxicology and Pharmacology**, [s. 1.], v. 150, p. 105650, 2024. Disponível em: https://linkinghub.elsevier.com/retrieve/pii/S0273230024000916>

RÁCZ, I.; ZIMMER, A. Animal Models of Nociception. In: **Standards of Mouse Model Phenotyping**. [s.l.]: Wiley, 2006. v. 53p. 221–235.

RAMIREZ, M. R.; GUTERRES, L.; DICKEL, O. E.; DE CASTRO, M. R.; HENRIQUES, A. T.; DE SOUZA, M. M.; BARROS, D. M. Preliminary Studies on the Antinociceptive Activity of Vaccinium ashei Berry in Experimental Animal Models. **Journal of Medicinal Food**, [s. l.], v. 13, n. 2, p. 336–342, 2010. Disponível em: http://www.liebertpub.com/doi/10.1089/jmf.2009.0079

REYNOSO, M. A.; VERA, N.; ARISTIMUÑO, M. E.; DAUD, A.; SÁNCHEZ RIERA, A. Antinociceptive activity of fruits extracts and "arrope" of Geoffroea decorticans (chañar). **Journal of Ethnopharmacology**, [s. 1.], v. 145, n. 1, p. 355–362, 2013. Disponível em: https://linkinghub.elsevier.com/retrieve/pii/S0378874112007994

SALVEMINI, D.; DOYLE, T. M. Targeting neuroinflammation in neuropathic pain and opioid use. **Journal of Experimental Medicine**, [s. l.], v. 220, n. 2, 2023. Disponível em: https://rupress.org/jem/article/220/2/e20221244/213777/Targeting-neuroinflammation-in-neuropathic-pain

SANTOS, F. M.; PINTO, J. E. B. P.; BERTOLUCCI, S. K. V.; ALVARENGA, A. A.; ALVES, M. N.; DUARTE, M. C. T.; SARTORATTO, A. Chemical composition and antimicrobial activity of the essential oil from the leaves and flowers of *Aloysia gratissima*. **Revista Brasileira de Plantas Medicinais**, [s. l.], v. 15, n. 4, p. 583–588, 2013. Disponível em: http://www.scielo.br/scielo.php?script=sci_arttext&pid=S1516-

05722013000400015&lng=en&tlng=en>

SANTOS, P. V. L.; DA CRUZ, E. de N. S.; NUNES, J. de A.; MOURÃO, R. H. V.; DO NASCIMENTO, W. M. O.; MAIA, J. G. S.; FIGUEIREDO, P. L. B. Seasonal Influence on Volatile Composition of *Psidium friedrichsthalianum* Leaves, Sampled in the Brazilian Amazon. **Horticulturae**, [s. 1.], v. 9, n. 7, p. 768, 2023. Disponível em: https://www.mdpi.com/2311-7524/9/7/768

SANTOS, P. V. L.; JERÔNIMO, L. B.; RIBEIRO, W. S. C.; LOPES, G. M.; LEÃO NETO, J. H. de C.; DA SILVA, H. B. O.; DA SILVA, P. I. C.; SILVA, R. C.; DA SILVA, J. K.; FREITAS, J. J. S.; MOURÃO, R. H. V.; SETZER, W. N.; MAIA, J. G. S.; FIGUEIREDO, P. L. B. Exploring the impact of seasonal variations on the chemical composition, antinociceptive, and anti-inflammatory properties of *Pogostemon heyneanus* Benth. essential oil. **Frontiers in**

Pharmacology, [s. 1.], v. 15, 2024. Disponível em: https://www.frontiersin.org/articles/10.3389/fphar.2024.1336878/full

SCAPINELLO, J.; MÜLLER, L. G.; SCHINDLER, M. S. Z.; ANZOLLIN, G. S.; SIEBEL, A. M.; BOLIGON, A. A.; NIERO, R.; SARAIVA, T. E. S.; MAUS, N. P.; BETTI, A. H.; OLIVEIRA, J. V.; MAGRO, J. D.; DE OLIVEIRA, D. Antinociceptive and anti-inflammatory activities of *Philodendron bipinnatifidum* Schott ex Endl (Araceae). **Journal of Ethnopharmacology**, [s. 1.], v. 236, p. 21–30, 2019. Disponível em: https://linkinghub.elsevier.com/retrieve/pii/S0378874118318117

SHARIFI-RAD, J.; SUREDA, A.; TENORE, G.; DAGLIA, M.; SHARIFI-RAD, M.; VALUSSI, M.; TUNDIS, R.; SHARIFI-RAD, M.; LOIZZO, M.; ADEMILUYI, A.; SHARIFI-RAD, R.; AYATOLLAHI, S.; IRITI, M. Biological Activities of Essential Oils: From Plant Chemoecology to Traditional Healing Systems. **Molecules**, [s. 1.], v. 22, n. 1, p. 70, 2017. Disponível em: http://www.mdpi.com/1420-3049/22/1/70

SOUZA, A. A.; WIEST, J. M. Atividade anti-bacteriana de *Aloysia gratissima* (Gill et Hook) Tronc. (garupá, ervasanta), usada na medicina tradicional no Rio Grande do Sul - Brasil. **Revista Brasileira de Plantas Medicinais**, [s. 1.], v. 9, n. 3, p. 23–29, 2007.

SOUZA, G. E. P.; FERREIRA, S. H. Blockade by antimacrophage serum of the migration of PMN neutrophils into the inflamed peritoneal cavity. **Agents and Actions**, [s. l.], v. 17, n. 1, p. 97–103, 1985.

SOUZA, M. A.; SCAPINELLO, J.; GUZATTI, J. G. G.; SCATOLIN, M.; MARTELLO, R.; SCHINDLER, M. S. Z.; CALISTO, J. F. F.; ALVES, B.; MORGAN, L. V.; OLIVEIRA, J. V.; MAGRO, J. D.; MÜLLER, L. G. Antinociceptive effect and mechanism of supercritical carbon dioxide extract of *Aloysia gratissima* leaves in mice. **Biomedical Journal**, [s. l.], v. 44, n. 6, p. S63–S72,

2021.

Disponível em:

https://linkinghub.elsevier.com/retrieve/pii/S2319417020300962

TAKEDA, M.; TSUBOI, Y.; KITAGAWA, J.; NAKAGAWA, K.; IWATA, K.; MATSUMOTO, S. Potassium Channels as a Potential Therapeutic Target for Trigeminal Neuropathic and Inflammatory Pain. **Molecular Pain**, [s. 1.], v. 7, p. 1744-8069-7–5, 2011. Disponível em: http://journals.sagepub.com/doi/10.1186/1744-8069-7-5

UD-DAULA, A. F. M. S.; DEMIRCI, F.; ABU SALIM, K.; DEMIRCI, B.; LIM, L. B. L.; BASER, K. H. C.; AHMAD, N. Chemical composition, antioxidant and antimicrobial activities of essential oils from leaves, aerial stems, basal stems, and rhizomes of Etlingera fimbriobracteata (K.Schum.) R.M.Sm. **Industrial Crops and Products**, [s. l.], v. 84, p. 189–198, 2016. Disponível em: https://linkinghub.elsevier.com/retrieve/pii/S0926669015306208

VIANA BARBOSA, L. G.; SILVA DE JESUS, E. N.; BOTELHO JERÔNIMO, L.; SILVA DA COSTA, J.; CUNHA SILVA, R.; SETZER, W. N.; R. DA SILVA, J. K.; DA SILVA FREITAS, J. J.; B. FIGUEIREDO, P. L. *Siparuna guianensis* Essential Oil Antitumoral Activity on Ehrlich Model and Its Effect on Oxidative Stress. **Chemistry & Biodiversity**, [s. 1.], v. 20, n. 10, 2023. Disponível em: https://onlinelibrary.wiley.com/doi/10.1002/cbdv.202301120

VINCENZI, F.; PASQUINI, S.; BOREA, P. A.; VARANI, K. Targeting Adenosine Receptors: A Potential Pharmacological Avenue for Acute and Chronic Pain. **International Journal of Molecular Sciences**, [s. 1.], v. 21, n. 22, p. 8710, 2020. Disponível em: https://www.mdpi.com/1422-0067/21/22/8710>

WINTERBOURN, C. C.; GUTTERIDGE, J. M. C.; HALLIWELL, B. Doxorubicin-dependent lipid peroxidation at low partial pressures of O2. **Journal of Free Radicals in Biology & Medicine**, [s. 1.], v. 1, n. 1, p. 43–49, 1985. Disponível em: https://linkinghub.elsevier.com/retrieve/pii/0748551485900285>

WOODE, E.; AMEYAW, E.; BOAKYE-GYASI, E.; ABOTSI, W. M. Analgesic effects of an ethanol extract of the fruits of Xylopia aethiopica (Dunal) A. Rich (Annonaceae) and the major constituent, xylopic acid in murine models. **Journal of Pharmacy And Bioallied Sciences**, [s. l.], v. 4, n. 4, p. 291, 2012. Disponível em: https://journals.lww.com/10.4103/0975-7406.103251

ZAPATA-MORALES, J. R.; ALONSO-CASTRO, A. J.; DOMÍNGUEZ, F.; CARRANZA-ÁLVAREZ, C.; ISIORDIA-ESPINOZA, M.; HERNÁNDEZ-MORALES, A.; SOLORIO-ALVARADO, C. The antinociceptive effects of a standardized ethanol extract of the Bidens odorata Cav (Asteraceae) leaves are mediated by ATP-sensitive K + channels. **Journal of Ethnopharmacology**, [s. l.], v. 207, p. 30–33, 2017. Disponível em: https://linkinghub.elsevier.com/retrieve/pii/S0378874117313387

ZENI, A. L. B.; ZOMKOWSKI, A. D. E.; DAL-CIM, T.; MARASCHIN, M.; RODRIGUES, A. L. S.; TASCA, C. I. Antidepressant-like and neuroprotective effects of *Aloysia gratissima*: Investigation of involvement of l-arginine-nitric oxide-cyclic guanosine monophosphate pathway. **Journal of Ethnopharmacology**, [s. l.], v. 137, n. 1, p. 864–874, 2011. Disponível em: https://linkinghub.elsevier.com/retrieve/pii/S0378874111004843

ANEXOS I



UNIVERSIDADE DO ESTADO DO PARÁ CENTRO DE CIÊNCIAS BIOLÓGICAS E DA SAÚDE COMISSÃO DE ÉTICA EM USO DE ANIMAIS

ANEXO III

CERTIFICADO

Certificamos que a proposta intitulada "AVALIAÇÃO DA TOXICIDADE E DA ATIVIDADE ANTINOCICEPTIVA DO ÓLEO ESSENCIAL DE Aloysia oblanceolata", registrada com o nº 03/2023, sob a responsabilidade de PEDRO IURI CASTRO DA SILVA - que envolve a produção, manutenção ou utilização de animais pertencentes ao filo Chordata, subfilo Vertebrata (exceto humanos), para fins de pesquisa científica (ou ensino) - encontra-se de acordo com os preceitos da Lei nº 11.794, de 08 de outubro de 2008, do Decreto nº 6.899, de 15 de julho de 2009, e com as normas editadas pelo Conselho Nacional de Controle de Experimentação Animal - CONCEA, e foi aprovada pela COMISSÃO DE ÉTICA NO USO DE ANIMAIS (CEUA) da UNIVERSIDADE DO ESTADO DO PARÁ, em reunião de 01 / 03 / 2023.

Finalidade	() Ensino (X) Pesquisa Científica
Vigência da autorização	06/2023 à 06/2024
Espécie/linhagem/raça	Camundongo heterogênico / Mus musculus / Swiss
Nº de animais	285
Peso/Idade	30-40g / 30 dias
Sexo / /	Machos
Origem UNIVERSIDADE DO EST	Biotério do Instituto Evandro Chagas

Belém, 06 de dezembro de 2023.

Prof. Dr. Rodrigo Santiago Barbosa Roch Coord. do CEUA/CCBS/UEPA



ANEXO III

COMISSÃO DE ÉTICA EM USO DE ANIMAIS

CERTIFICADO

Certificamos que a proposta intitulada "PROPRIEDADES FARMACOLÓGICAS DO ÓLEO ESSENCIAL DE Aloysia oblanceolata Moldenke", registrada com o nº 07/2023, sob a responsabilidade de PABLO LUÍS BAÍA FIGUEIREDO - que envolve a produção, manutenção ou utilização de animais pertencentes ao filo Chordata, subfilo Vertebrata (exceto humanos), para fins de pesquisa científica (ou ensino) - encontra-se de acordo com os preceitos da Lei nº 11.794, de 08 de outubro de 2008, do Decreto nº 6.899, de 15 de julho de 2009, e com as normas editadas pelo Conselho Nacional de Controle de Experimentação Animal - CONCEA, e foi aprovada pela COMISSÃO DE ÉTICA NO USO DE ANIMAIS (CEUA) da UNIVERSIDADE DO ESTADO DO PARÁ, em reunião de 01 / 03 / 2023.

1	
Finalidade	() Ensino (X) Pesquisa Científica
Vigência da autorização	05/2023 à 05/2024
Espécie/linhagem/raça	Rato heterogênico / Rattus norvegicus / Wistar
N° de animais	60
Peso/Idade	150-220g / 5 a 7 semanas
Sexo	Machos
Origem	Biotério do Instituto Evandro Chagas

Belém, 07 de junho de 2023.

Prof. Dr./Rodrigo Santiago Barbosa Roch Coord. do CEUA/CCBS/UEPA



ANEXO III

CERTIFICADO

Certificamos que a proposta intitulada "PROPRIEDADES FARMACOLÓGICAS DO ÓLEO ESSENCIAL DE Aloysia oblanceolata Moldenke", registrada com o nº 07/2023, sob a responsabilidade de PABLO LUÍS BAÍA FIGUEIREDO - que envolve a produção, manutenção ou utilização de animais pertencentes ao filo Chordata, subfilo Vertebrata (exceto humanos), para fins de pesquisa científica (ou ensino) - encontra-se de acordo com os preceitos da Lei nº 11.794, de 08 de outubro de 2008, do Decreto nº 6.899, de 15 de julho de 2009, e com as normas editadas pelo Conselho Nacional de Controle de Experimentação Animal - CONCEA, e foi aprovada pela COMISSÃO DE ÉTICA NO USO DE ANIMAIS (CEUA) da UNIVERSIDADE DO ESTADO DO PARÁ, em reunião de 01 / 03 / 2023. Assim como a solicitação adicional foi aprovada Ad referendum em 22/01/2024.

Finalidade	() Ensino (X) Pesquisa Científica
Vigência da autorização	05/2023 à 10/2024
Espécie/linhagem/raça	Rato heterogênico / Rattus norvegicus / Wistar
Nº de animais	40
Peso/Idade	150-220g / 5 a 7 semanas
Sexo	Machos
Origem	Biotério do Instituto Evandro Chagas

Belém, 23 de janeiro de 2024.

Prof. Dr./Rodrigo Santiago Barbosa Ro Coord. do CEUA/CCBS/UEPA

ANEXOS IV

MEMORIAL

> Trabalhos Publicados em Periódicos

SANTOS, Paulo Vinicius L. et al. Seasonal Changes in *Aloysia oblanceolata* Moldenke Essential Oil. *Frontiers in Chemistry*, v. 12, 2025.

SANTOS, Paulo Vinicius L. et al. Seasonal Influence on Volatile Composition of Psidium friedrichsthalianum Leaves, Sampled in the Brazilian Amazon. **Horticulturae**, v. 9, n. 7, p. 768, 2023.

GALVÃO, F. S., da ROCHA, C. Q., MONTEIRO, O. S., FIGUEIREDO, P. L. B., **SANTOS**, **P. V. L.**, & Maia, J. G. S. Seasonal and Circadian Evaluation of the Essential Oil of *Dizygostemon Riparius* (Plantaginaceae), a Wild Flavoring Herb from East Maranhão, Brazil. **Chemistry & Biodiversity**, 20(8), e202300864, 2023.

SANTOS, Paulo Vinicius Lima et al. Exploring the impact of seasonal variations on the chemical composition, antinociceptive, and anti-inflammatory properties of *Pogostemon heyneanus* Benth. essential oil. **Frontiers in Pharmacology**, v. 15, p. 1336878, 2024.

JERÔNIMO, Lucas Botelho et al. *Acmella oleracea* (L.) RK Jansen essential oils: chemical composition, antioxidant, and cytotoxic activities. **Biochemical Systematics and Ecology**, v. 112, p. 104775, 2024.

DE LIMA, Maria Nancy Norat et al. Seasonal influence on the essential oil chemical composition of *Hyptis crenata* Pohl ex Benth.: a valuable plant from Marajó, Brazil. **Frontiers in Chemistry**, v. 12, p. 1397634, 2024.

NUNES, JENNIFER DE A. et al. Seasonal variation on chemical composition and in vitro cytotoxic and anti-inflammatory activities of **Myrciaria dubia** (Kunth) McVaugh essential oil from Amazon. **Biochemical Systematics and Ecology**, v. 121, p. 105001, 2025.

> Trabalhos Publicados em Anais de Eventos

SANTOS, Paulo Vinicius L., LIMA, M.M., CHAVES, E.T., da SILVA, P.I.C., ANDRADE, E.H.d.A., MAIA, J.G.S., FIGUEIREDO, P.L.B., Composição química e atividade antinociceptiva do óleo essencial de *Aloysia oblanceolata* Moldenke com ocorrência na Amazônia Paraense. 11º Simpósio Brasileiro de Óleos Essenciais, Campinas-SP, 2023.

Jeronimo, L.B., **SANTOS**, **Paulo V.L.**, PINTO, L. C., FIGUEIREDO, P.L.B., Composição química, capacidade antioxidante e efeito citotóxico do óleo essencial das inflorescências de *Acmella oleracea* (Asteraceae). **73^a Congresso Nacional de Botânica**, Belém-PA, 2023.

FERREIRA, M.C.d.S., SANTOS, Paulo V.L., MONTEIRO, J.S., Ascomicetos assexuais associados a substratos vegetais em cinco municípios do estado do Pará, Brasil. 73ª Congresso Nacional de Botânica, Belém-PA, 2023.

LIMA, M.M., **SANTOS**, **Paulo V.L.**, NUNES, J.A., GOMES, G.T., FERREIRA, M.C.d.S., Jeronimo, L.B., COSTA, J.S., FIGUEIREDO, P.L.B., Influência sazonal na composição química do óleo essencial de *Aloysia oblanceolata* Moldenke. com ocorrência na amazônia paraense. **62º Congresso Brasileiro de Química**, Natal-RN, 2023.

LIMA, M.M., **SANTOS, Paulo V.L.,** da CRUZ, E.d.N.S., FIGUEIREDO, P.L.B., Óleos essenciais das folhas e galhos de *Aloysia oblanceolata* Moldenke com ocorrência na Amazônia paraense. In: **Anais da Semana do Químico ABQ/PA**. Belém-PA, Hotel Beira Rio, 2023.

SANTOS, P.V.L et al. variação sazonal do óleo essencial de *Psidium acutangulum* e *Psidium friedrichsthalianum*: uma abordagem quimiométrica. **Anais da Semana do Químico ABQ/PA.** Belém-PA, Hotel Beira Rio, 2023.